



Universidad de Pamplona
Programa de Ingeniería Eléctrica
Facultad de Arquitectura e Ingenierías
Departamento de Eléctrica, Electrónica, Sistemas y
Telecomunicaciones

SIMULADOR DE EVENTOS DE LA CALIDAD DE LA ENERGÍA

Autora:

MELISSA CAROLINA PATERNINA JIMÉNEZ

PAMPLONA, NORTE DE SANTANDER

19 DE JUNIO DE 2020



Universidad de Pamplona
Programa de Ingeniería Eléctrica
Facultad de Arquitectura e Ingenierías
Departamento de Eléctrica, Electrónica, Sistemas y
Telecomunicaciones

SIMULADOR DE EVENTOS DE LA CALIDAD DE LA ENERGÍA

Autora:

MELISSA CAROLINA PATERNINA JIMÉNEZ

Director: Msc. Edison Andrés Caicedo Peñaranda

Co-director: MSc. Luis David Pabón Fernández

**TRABAJO DE GRADO PARA OPTAR POR EL TÍTULO DE
INGENIERO ELÉCTRICO**

PAMPLONA, NORTE DE SANTANDER

19 DE JUNIO DE 2020

“A mis padres, a mi novio y a los incontables tazas de café que me han apoyado a lo largo de este camino y continuarán haciéndolo al día de hoy”

— Melissa Paternina Jiménez

Agradecimientos

A cada uno de mis docentes que hicieron parte de mi formación a nivel profesional, en especial a mi director y co-director de tesis, el profesor Edison Caicedo y Luis David Pabón, por su paciencia ante mi inconsistencia, por su dedicación, apoyo y ayuda a lo largo del desarrollo de ese proyecto.

A mi familia por darme su confianza, apoyo y motivación a lo largo de esta etapa de mi vida.

A todos mis amigos y compañeros con los que compartí este camino, en especial a mi novio por que siempre creyó en mí y estuvo presente a lo largo de este proyecto.

Índice

Agradecimientos	IV
Índice	V
Índice de tablas	VIII
Índice de figuras	IX
Resumen	XII
Abstract	XIII
Indroducción	10
1 Problema y justificación	12
2 Delimitación	14
2.1. Objetivos	14
2.1.1. Objetivo General	14
2.1.2. Objetivos Específicos	14
2.2. Acotaciones	14
3 Marco referencial	15
3.1. Estado del arte	15
4 Marco teórico	22
4.1. Calidad de la energía eléctrica	22
4.2. Pérdida de la calidad de la energía	23
4.3. Importancia del estudio de la calidad de la energía	23
4.4. Problemas que influyen en una buena calidad de la energía	24

4.5. Tipos de cargas	25
4.5.1. Cargas lineales	25
4.5.2. Cargas no lineales	25
4.5.3. Cargas sensibles	26
4.5.4. Cargas críticas	26
4.6. Eventos que afectan la calidad de la energía	26
4.6.1. Variaciones de larga duración	27
4.6.2. Variaciones de corta duración	27
4.6.3. Transitorios	27
4.6.3.1. Transitorio impulsivo	27
4.6.3.2. Transitorio oscilatorio	28
4.6.4. Muesca	28
4.6.5. Reducciones y aumentos temporales en el voltaje	29
4.6.5.1. Depresión (<i>Sag o dip</i>)	29
4.6.5.2. Elevación (<i>Swell</i>)	30
4.6.5.3. Bajo voltaje (<i>undervoltage</i>)	31
4.6.5.4. Sobrevoltaje (<i>overvoltage</i>)	31
4.6.6. Interrupción	31
4.6.7. Fluctuaciones de voltaje, parpadeo o " <i>Flicker</i> "	31
4.6.8. Desbalance de tensión	32
4.6.9. Distorsión de la forma de onda	33
4.6.10. Distorsión armónica	35
4.6.11. Variación de la frecuencia	35
4.7. Convertidor multinivel en cascada	36
5 Determinación de los eventos	38
6 Métodos para la generación de los eventos de calidad de la energía	42
6.1. Algoritmo metaheurístico PSO (<i>Particle Swarm Optimization</i>)	42
6.2. Método para la generación de <i>sag</i> , <i>swell</i> , bajovoltaje y sobrevoltaje	46
6.3. Método para la generación de interrupciones	51
6.4. Método para la generación de variaciones de frecuencia	53
6.5. Método para la generación de armónicos	54

7	Interfaz gráfica (HMI)	57
7.1.	Descripción general	58
7.2.	Depresión de voltaje (<i>sag</i>)	59
7.3.	Elevación de voltaje (<i>swell</i>)	60
7.4.	Bajo voltaje (<i>undervoltage</i>)	61
7.5.	Sobrevoltaje (<i>overvoltage</i>)	62
7.6.	Interrupciones	63
7.7.	Variación de frecuencia	64
7.8.	Armónicos	65
8	Validación de los eventos simulados	66
8.1.	Depresión de voltaje (sag)	66
8.2.	Elevación de voltaje (<i>swell</i>)	68
8.3.	Bajo voltaje (<i>undervoltage</i>)	69
8.4.	Sobrevoltaje (<i>overvoltage</i>)	71
8.5.	Interrupciones	72
8.6.	Variación de frecuencia	74
8.7.	Armónicos	75
9	Conclusiones	79
	Bibliografía	80
A	Función para el cálculo del voltaje RMS para la modulación	85
B	Función objetivo para los eventos de la sección 6.2	86
C	Función para la generación de las gráficas de los eventos	87
D	Función objetivo para el evento de contenido armónico	90
E	Programación de la interfaz gráfica	92

Índice de tablas

- 5.1. Categorías y características de fenómenos electromagnéticos (IEEE 1159-1995). *Fuente: Adaptado de [26].* 38
- 5.2. Eventos electromagnéticos a simular. *Fuente: Elaboración propia.* 40

Índice de figuras

4.1. Corrientes y voltajes en cargas lineales. <i>Fuente: Juan Carlos Herrera Heredia, “Determinación de la potencia de transformadores para alimentar cargas no lineales” (1997). Escuela Politécnica Nacional.</i>	25
4.2. Forma de corriente en una carga no lineal. <i>Fuente: Juan Carlos Herrera Heredia, “Determinación de la potencia de transformadores para alimentar cargas no lineales” (1997). Escuela Politécnica Nacional.</i>	26
4.3. Impulso transitorio de voltaje. <i>Fuente: [26]</i>	28
4.4. Corriente transitoria oscilatoria causada por la maniobra de un banco de capacitores. <i>Fuente: Ali KÖSE, “Corrección del coeficiente de energía con reactor controlado por tiristor de condensador fijo” (2014). Gazi Üniversitesi.</i>	29
4.5. Muecas (notches) en el voltaje. <i>Fuente: [26].</i>	29
4.6. Depresión temporal del voltaje. <i>Fuente: [26].</i>	30
4.7. Elevación temporal del voltaje. <i>Fuente: [26]</i>	30
4.8. Interrupción del suministro eléctrico. <i>Fuente: Ali KÖSE, “Corrección del coeficiente de energía con reactor controlado por tiristor de condensador fijo” (2014). Gazi Üniversitesi.</i>	32
4.9. Voltaje de alimentación típico en un horno de arco indicando la fluctuación de voltaje a una frecuencia <i>flicker</i> de 3 Hz. <i>Fuente: [26].</i>	33
4.10. Onda sinusoidal con offset de CD. <i>Fuente: [26].</i>	34
4.11. Ondas de voltaje con ruido. <i>Fuente: [26].</i>	34
4.12. Forma de onda con distorsión armónica. <i>Fuente: [26].</i>	35
4.13. Variación de frecuencia. <i>Fuente: [26].</i>	36
4.14. Convertidor multinivel puente-H, formas de onda y salida del convertidor. <i>Fuente: [30].</i>	37

4.15. Sub-topologías asimétricas de un convertidor multinivel en cascada tipo puente-H. (a) Fuente de DC separada, (b) Una sola fuente de DC, (c) Voltaje de salida. <i>Fuente: [30].</i>	37
6.1. Diagrama de flujo del algoritmo PSO. <i>Fuente: Adaptado de [33].</i>	45
6.2. Diagrama de flujo del algoritmo de generación de los eventos. <i>Fuente: Elaboración propia.</i>	48
6.3. Programa en SIMULINK para la creación de la gráfica del evento. <i>Fuente: Elaboración propia.</i>	49
6.4. Diagrama de flujo del proceso de simulación de la gráfica del evento. <i>Fuente: Elaboración propia.</i>	50
6.5. Diagrama de flujo del algoritmo de generación de las interrupciones. <i>Fuente: Elaboración propia.</i>	52
6.6. Método para la generación de variaciones de frecuencia. <i>Fuente: Elaboración propia.</i>	54
6.7. Diagrama de flujo para la generación de armónicos. <i>Fuente: Elaboración propia.</i>	56
7.1. Interfaz gráfica del simulador de eventos de la calidad de la energía. <i>Fuente: Elaboración propia.</i>	57
7.2. Diagrama de caso de uso de la interfaz gráfica. <i>Fuente: Elaboración propia.</i>	58
7.3. Interfaz gráfica del simulador de eventos para <i>sag</i> . <i>Fuente: Elaboración propia.</i>	59
7.4. Interfaz gráfica del simulador de eventos para <i>swell</i> . <i>Fuente: Elaboración propia.</i>	60
7.5. Interfaz gráfica del simulador de eventos para un bajo voltaje. <i>Fuente: Elaboración propia.</i>	61
7.6. Interfaz gráfica del simulador de eventos para un sobrevoltaje. <i>Fuente: Elaboración propia.</i>	62
7.7. Interfaz gráfica del simulador de eventos para una interrupción instantánea. <i>Fuente: Elaboración propia.</i>	63
7.8. Interfaz gráfica del simulador de eventos para una variación de frecuencia. <i>Fuente: Elaboración propia.</i>	64

7.9. Interfaz gráfica del simulador de eventos para contenidos armónicos. <i>Fuente: Elaboración propia.</i>	65
8.1. Gráfica resultante para la generación de una depresión de voltaje (<i>sag</i>). <i>Fuente: Elaboración propia.</i>	66
8.2. Subsistema creado para la validación de los eventos relacionados al VRMS. <i>Fuente: Elaboración propia.</i>	67
8.3. Validación del <i>sag</i> simulado con el bloque RMS de la librería Power System. <i>Fuente: Elaboración propia.</i>	68
8.4. Gráfica resultante para la generación de una elevación de voltaje (<i>swell</i>). <i>Fuente: Elaboración propia.</i>	68
8.5. Validación del <i>swell</i> simulado con el bloque RMS de la librería Power System. <i>Fuente: Elaboración propia.</i>	69
8.6. Gráfica resultante para la generación de un bajo voltaje (<i>undervolta-</i> <i>ge</i>). <i>Fuente: Elaboración propia.</i>	70
8.7. Validación del bajo voltaje simulado con el bloque RMS de la librería Power System. <i>Fuente: Elaboración propia.</i>	70
8.8. Gráfica resultante para la generación de un sobrevoltaje (<i>overvoltage</i>). <i>Fuente: Elaboración propia.</i>	71
8.9. Validación del sobrevoltaje simulado con el bloque RMS de la librería Power System. <i>Fuente: Elaboración propia.</i>	72
8.10. Gráfica resultante para la generación de una Interrupciones (tipo instantánea). <i>Fuente: Elaboración propia.</i>	73
8.11. Validación de una interrupción de tipo instantánea simulada con el bloque RMS de la librería Power System. <i>Fuente: Elaboración propia.</i>	73
8.12. Gráfica resultante del evento para una variación de frecuencia de 0.12 veces la frecuencia fundamental (60 Hz) con duración de 4 segundos. <i>Fuente: Elaboración propia.</i>	74
8.13. Validación de una variación de frecuencia simulada. <i>Fuente: Elabora-</i> <i>ción propia.</i>	75
8.14. Gráfica resultante del contenido armónico para los datos ingresados por el usuario. <i>Fuente: Elaboración propia.</i>	76
8.15. Validación del contenido armónico. <i>Fuente: Elaboración propia.</i>	77

8.16. Espectro armónico obtenido de la validación del contenido armónico.

Fuente: Elaboración propia.

78

Resumen

En este proyecto de investigación se ha planteado una herramienta de simulación que proporciona información para simular los eventos de la calidad de la energía estipulados por el estándar IEEE 1159 del 1995, la construcción de este simulador está hecha en base al software MATLAB y su blockset SIMULINK. Se simulan diferentes eventos de la calidad de la energía, los cuales poseen la facilidad de modificar los parámetros generales de cada uno y las características constructivas del convertidor.

Para dar facilidad al usuario se ha elaborado una interfaz gráfica amigable de uso fácil e intuitivo, la cual recoge los parámetros y características de cada evento de la calidad de la energía y visualiza la forma de onda del evento con los parámetros dados, para tal motivo se utilizó el algoritmo PSO (Particle Swarm Optimization) para obtener los ángulos de disparo necesarios para construir las ondas resultantes de los eventos que involucran la magnitud del voltaje RMS y los armónicos. Para finalizar se validaron cada uno de los eventos simulados con ayuda de blocksets de la librería de Power System y/o bloques que se crearon para el presente proyecto.

Palabras clave: Simulador, Eventos, Calidad de la energía, IEEE 1159, PSO.

Abstract

In this research project, a simulation tool has been proposed that provides information to simulate the power quality events stipulated by the IEEE 1159 standard of 1995, the construction of this simulator is based on the MATLAB software and its SIMULINK blockset. . Different power quality events are simulated, which have the facility to modify the general parameters of each one and the constructive characteristics of the converter.

To make the user easier, a user-friendly and intuitive graphical interface has been developed, which collects the parameters and characteristics of each event of the power quality and displays the waveform of the event with the given parameters, for this reason The PSO (Particle Swarm Optimization) algorithm was used to obtain the firing angles necessary to construct the waves resulting from the events involving the magnitude of the RMS voltage and harmonics. Finally, each of the simulated events was validated with the help of Power System library blocksets and blocks that were created for the present project.

Keywords: Simulator, Events, Power Quality, IEEE 1159, PSO

Introducción

Uno de los elementos que hacen parte de la complejidad del estudio de la calidad de la energía es la amplia gama de factores que contribuyen al deterioro de ésta, partiendo desde los componentes no lineales que se encuentran en aparatos de uso doméstico y los de uso industrial, además de los dispositivos usados por las fuentes de energía no convencionales. Otro elemento que aumenta la dificultad en el campo de investigación de la calidad de la energía es la imposibilidad de validar las soluciones propuestas por los investigadores debido a que se hace imposible obtener estos eventos directamente de la red eléctrica [1].

Para adquirir una solución a la mejora de la calidad de la energía se requiere un análisis puntual y específico de cada evento, por tanto, desde la academia se hace necesaria la posibilidad de apreciar y determinar estos eventos que perturban la calidad de la energía, para que de esta manera se proporcionen soluciones puntuales a cada uno. Sin embargo, los equipos especializados capaces de simular estos eventos raramente se encuentran disponibles comercialmente y poseen un precio elevado [2, 3].

Debido a lo anteriormente mencionado, con el presente proyecto se realizó el diseño de un simulador el cual cuenta con la capacidad de generar diversos eventos de la calidad de la energía de manera precisa en términos de tiempo y magnitud.

Problema y justificación

La discusión sobre la regulación de la calidad en el suministro del fluido eléctrico es un área de importancia, debido a que los eventos asociados a la operación de sistemas eléctricos puede ocasionar un mal funcionamiento en diferentes equipos o cargas altamente sensibles a perturbaciones electromagnéticas, una operación inadecuada en las redes eléctricas, y pueden llegar a conducir a fallas e incrementos en los costos de operación, lo cual acarrearía en pérdidas para las compañías encargadas del suministro de energía [4]. A causa de esto, se han empezado a realizar investigaciones que buscan elaborar equipos acondicionadores que sean capaces de mitigar los eventos de la calidad de la energía que se encuentran presentes en las redes eléctricas, y de esta forma mejorar las condiciones de alimentación de los equipos y dispositivos con el objetivo de salvaguardar su vida útil [5].

Para la validación del funcionamiento óptimo de los equipos mencionados anteriormente, se requiere el uso de aparatos especializados [2] que generen diversos eventos de la calidad de la energía para tener la certeza que el equipo propuesto mitiga correctamente el o los eventos asociados. Hoy en día, la disponibilidad de estos simuladores de eventos de calidad de la energía es reducida debido a los altos costos [3], lo que los hacen poco accesibles para la investigación en ambientes académicos.

En virtud a lo señalado anteriormente, la realización de este proyecto tiene como finalidad el diseño de un simulador de eventos de la calidad de la energía con tecnología asequible para su futura implementación con el que se pueda realizar pruebas a los equipos acondicionadores de potencia, electrodomésticos e incluso equipos industriales. También permitirá realizar estudios de correlación

entre calidad de la energía y eficiencia energética, un tema que posee una gran trascendencia en el ámbito científico actualmente [6]. Por otra parte, se podrán realizar estudios detallados de investigación referentes a la calidad de la energía de forma experimental en aparatos reales.

Delimitación

2.1. Objetivos

2.1.1. Objetivo General

Diseñar un simulador de eventos de la calidad de la energía presentes en el estándar IEEE 1159 de 1995.

2.1.2. Objetivos Específicos

- Determinar los eventos de calidad de la energía a generar en el simulador según el estándar IEEE 1159 de 1995.
- Programar los algoritmos que permitan la generación de los eventos de la calidad de la energía mediante el simulador diseñado.
- Diseñar la interfaz gráfica del simulador.
- Validar el funcionamiento del simulador de eventos de calidad de la energía.

2.2. Acotaciones

- La totalidad de los eventos a generar por el simulador realizado se determinará durante el desarrollo de la investigación y de acuerdo a la viabilidad en la consecución de cada uno de ellos.
- Se excluirán los eventos transitorios tanto impulsivos como oscilatorios.
- Se utilizarán en primera instancia los softwares disponibles en el programa de ingeniería eléctrica y el grupo de investigación *Sistemas Energéticos*.

Marco referencial

3.1. Estado del arte

En los últimos años el tema sobre la calidad de la energía ha adquirido una gran importancia en el sector eléctrico, por tanto el número de investigaciones con información sobre su base teórica, normativa, análisis en los sistemas de potencia, equipos para mitigar los problemas de calidad de la energía, entre otros ha ido en aumento; sin embargo, son escasos los estudios asociados al diseño o creación de sistemas que generen diferentes eventos de calidad de la energía para poder probar los equipos encargados de mitigar dichos eventos.

A continuación, se contemplan algunas de las investigaciones más relevantes de la bibliografía disponible sobre el tema de estudio, que permite recopilar diversos puntos de vista conceptuales y metodológicos con el propósito de garantizar un proceso analítico, comparativo y constructivo en este proyecto.

Kezunovic Mladen y Liao Yuan. “*A novel method for equipment sensitivity study during power quality events*” (2000). En esta investigación se propone un método de simulación para distintos eventos de calidad de la energía con el fin de estudiar cómo afectan dichos eventos en las características operacionales de un equipo, en este caso un variador de velocidad VSD, de esta manera el software creado puede explicar por qué falló la carga cuando se presentó un evento, o predecir qué tan bien funcionaría durante un evento en particular. Para esto se diseñó una librería en la blockset Simulink de MATLAB utilizando técnicas de procesamiento digital de señales como la transformada de Fourier y el análisis de Wavelet para generar varios tipos de eventos de calidad de la energía: sags, swells, interrupciones, impulsos, muescas y flickers. Una característica peculiar

del método propuesto es que los eventos pueden ser generados por medio de ecuaciones algebraicas o a través de la reproducción de formas de onda previamente grabadas. De cualquier modo, los parámetros de cada evento pueden ser ajustados por el usuario a los valores deseados. El estudio evidencia que el VSD posee mayor sensibilidad a los eventos de sag, swell e interrupción; y que el método propuesto es flexible y factible para aplicaciones prácticas [7]

León Carlos, Montaña Juan Carlos, Ropero Jorge y Elena José Manuel. “*A system for the generation and detection of electrical disturbances*” (2004). En este trabajo se describe un sistema desarrollado por el Instituto de Recursos Naturales y Agrobiología del Consejo de Investigación Científica (CSIC) junto al Departamento de Tecnología Electrónica de la Universidad de Sevilla, el cual tiene como objetivo generar y detectar distintas perturbaciones o eventos de la calidad de la energía (sag, swell, sobrevoltaje, bajovoltaje y desviación de la frecuencia). Para esto se hizo uso de una red neuronal encargada de detectar y clasificar las perturbaciones, y herramientas matemáticas como la Transformada de Fourier y Wavelet para la generación de las características de la señal que servirán como entradas a la red, usan también una técnica llamada análisis de resolución múltiple con la que cada característica única que representa cada evento de la calidad de la energía proporcionada por la transformada, se representa a diferentes resoluciones. Con este estudio se logró el desarrollo de un generador de patrones eléctricos capaz de generar eventos comunes que se pueden encontrar en una línea eléctrica y la primera versión de un sistema clasificador basado en redes neuronales obteniendo un 93.83% de detección correcta [8].

Eloy-García Joaquin, Vasquez Juan Carlos, Guerrero Josep M. “*Grid simulator for power quality assessment of micro-grids*” (2013). En este estudio, se presenta un simulador de red basado en una topología de inversor back-to-back con controladores resonantes. El simulador puede producir voltajes trifásicos para cierto rango de amplitudes y frecuencias con diferentes tipos de perturbaciones, tales como sag, swell, voltajes desbalanceados en estado estacionario, armónicos de orden bajo y flicker. Este equipo tiene como finalidad probar el desempeño de un sistema durante tales eventos. El prototipo del simulador implementado

consta de dos inversores back-to-back conectados a 380 V y que alimenta una micro red formada por generadores distribuidos conectados a dos inversores y una carga crítica. El simulador de red obtuvo un desempeño realmente bueno siendo capaz de rastrear su referencia incluso en presencia de corrientes muy distorsionadas [9].

Nahoum Pamela, Yammine Emile, Karam Elie, Najjar Maged B. y El Hassan Moustapha. “*Real generation of power quality disturbances*” (2015). En este artículo se presenta un generador de eventos de la calidad de la energía probado en el electrocardiograma BIOPAC, quien tendrá el papel de la carga. Los eventos que se generaron fueron: sags, swells, armónicos, y una combinación de sags y swells con armónicos, estos disturbios fueron generados en el software LabView. El propósito de este estudio es investigar si la señal ECG se verá afectada por la introducción de los disturbios mencionados anteriormente. Aunque el experimento no mostró ningún cambio perceptible en la señal grabada del corazón, los autores se abstienen de concluir que estos eventos no afectan directamente a este tipo de equipo biomédico por lo que usaron equipos de bajo costo [10].

Cheng-I Chen, Chieh-Yin Cheng y Yeong-Chin Chen. “*Design of programmable power-quality signal generator for power disturbance testing of consumer electronics*” (2015). En el artículo presentado por Cheng-I Chen et al. se describe todo el proceso de diseño y los métodos utilizados para la puesta en marcha de un generador de señal de calidad de la energía programable el cual será usado como apoyo a la realización de pruebas referentes a los eventos (perturbaciones) de la energía en la electrónica de consumo. La parte programable se da de la forma en que la onda arbitraria puede ser generada y proporcionar una salida de potencia de corriente alterna (CA). Esta salida de potencia con forma de onda arbitraria puede ser usada para emular una fuente de alimentación de contaminación de armónicos de potencia, flicker o parpadeo, muescas, sags (depresiones), swells (elevaciones), y otro tipo de eventos de calidad de la energía conocidos. El sistema creado puede utilizarse para realizar la capacitación para el diseño de un filtro que sirva para filtrar una fuente de energía contaminada (perturbada) en la onda sinusoidal pura o limpia, o puede ser usado también, para probar un

equipo en busca de interferencia de mala calidad de energía. La potencia nominal de la fuente de alimentación se estableció en 300 vatios, se usó un amplificador de potencia de clase D como núcleo del diseño, y un circuito de refuerzo para proporcionar una fuente de alimentación para que el amplificador eleve el voltaje de salida. A partir de los experimentos realizados por los autores se logró evidenciar que las perturbaciones de calidad de la energía comúnmente vistas pueden ser generadas con precisión y realizar el respectivo suministro de energía [11].

Inci Mustafa, Demirdelen Tugce, Tan Adnan, Köroglu Tahsin, Cuma M. Ugras, Bayindir K. Cagatay y Tümay Mehmet. “*A novel low cost sag/swell generator*” (2015). En este estudio se plantea una nueva topología de generador de sag/swell capaz de generar diversos problemas de la calidad de la energía como la elevación de voltaje (swell), depresión de voltaje (sag) e interrupciones. El generador está basado en un conmutador bidireccional de tipo puente para generar diferentes condiciones de falla. La principal ventaja de esta topología es su estructura más simple, de menor costo y un control más fácil en comparación de otros tipos de topologías basadas en transformadores convencionales. Con el desarrollo de esta topología se pudo realizar pruebas a dispositivos de alimentación personalizados como DVR, UPS y STS. El rendimiento del generador planteado se probó para una caída de tensión del 50% y un aumento de tensión del 20% [12].

Shen Zhuoxuan, Duan Tong y Dinavahi Venkata. “*Design and Implementation of Real-Time MPSoC-FPGA-Based Electromagnetic Transient Emulator of CIGRÉ DC Grid for HIL Application*” (2018). Este proyecto de investigación realizado por el grupo de trabajo CIGRÉ en cabeza de Shen Zhuoxuan, propone un sistema de prueba de red de CC, que cubre diferentes configuraciones de HVDC y despliega múltiples niveles modulares convertidores (MMC) en la malla (grid). De manera específica, este trabajo se centra en la solución eficiente del emulador en tiempo real de la red de CC que proporciona resultados precisos y detallados. Para el diseño e implementación de la red CIGRÉ CC se utilizó una plataforma híbrida MPSoC-FPGA quien es la encargada de realizar la sinergia entre el dispositivo Xilinx Vitrex UltraScale+ FPGA, que contiene una gran cantidad de

recursos lógicos, y el dispositivo Xilinx Zynq UltraScale+ MPSoC, que contiene el sistema de procesamiento multinúcleo ARM y recursos FPGA en un solo chip. Para presentar los resultados detallados a nivel de dispositivo del equipo local y los resultados precisos a nivel de sistema de las interacciones globales de la red de CC se hizo uso de una metodología de modelado híbrido que utiliza el modelo electro térmico a nivel de dispositivo, el modelo de circuito equivalente y el modelo de valor promedio para los convertidores. Los resultados en tiempo real fueron validados con herramientas de simulación comercial PSCAD/EMTDC y SaberRD. En este artículo se llegó a la conclusión que la mejora de los esquemas de modelado y las técnicas de implementación pueden ampliar la funcionalidad y el alcance del estudio EMT y proporcionar análisis integrales de la red AC-DC y que, además, el emulador propuesto puede ser beneficioso para el estudio de control y protección de la red de CC [13].

Ashourianjozdani Mohammadhossein, Lopes Luiz A.C. y Pillay Pragasen. “*Power electronic converter based PMSG emulator: a testbed for renewable energy experiments*” (2018). En este trabajo se esboza un emulador de generador síncrono de imán permanente (PMSG) basado en convertidor como banco de pruebas para diseñar, analizar y probar la interfaz electrónica de potencia del generador y su sistema de control. El modelo PMSG está formulado en un simulador digital en tiempo real. Se presenta como un algoritmo de interfaz un modelo de transformador ideal de tipo de voltaje combinado con una impedancia virtual. También, se utiliza un convertidor de fuente de voltaje de seis interruptores como amplificador de potencia para imitar el comportamiento del PMSG que suministra cargas lineales y no lineales, y se propone un controlador proporcional-integral más resonante como controlador de bucle de voltaje para el seguimiento de una señal de referencia de voltaje de salida distorsionada. La precisión del emulador propuesto se postula para los armónicos de voltaje fundamental y de bajo orden. Como resultados se obtuvo que el controlador proporcionó un seguimiento de voltaje adecuado no solo para el componente fundamental de frecuencia variable, sino también para los componentes armónicos quinto y séptimo que aparecen cuando el PMSG suministra cargas no lineales. Asimismo, los resultados demostraron que el emulador PMSG propuesto funciona bien con alta precisión para

condiciones de cargas tanto lineales como no lineales. Por lo tanto, el emulador PMSG propuesto por los autores se puede utilizar como banco de pruebas para probar y desarrollar sistemas de conversión de energía eólica/hidrocinética. [14].

Parizad Ali, Mohamadian Sobhan, Iranian Mohamad Esmaeil, Guerrero Josep M. “*Power system real-time emulation: a practical virtual instrumentation to complete electric power system modeling*” (2019). En este artículo, se propone una emulación en tiempo real de un sistema completo de energía eléctrica, este sistema incluye generador, regulador de turbina, sistema de excitación, líneas de transmisión, transformador, red externa y cargas relacionadas y se implementó en un entorno MATLAB/Simulink; mientras que las diferentes páginas de instrumentos virtuales están modeladas en el lenguaje de programación gráfico de LabVIEW. Además, un sistema de excitación real de 1518 kW se considera como un caso de prueba para el sistema HIL introducido, este equipo se conecta al software LabVIEW por medio de una tecnología National Instrument PXI. Se simulan diferentes escenarios (frecuencia eléctrica/cambio de potencia activa, respuesta de paso de voltaje, entre otros) en el emulador de sistema de potencia (PSE) diseñado, y se verifica la validez del modelo implementado encontrando una buena correspondencia entre los resultados de simulación MATLAB y HIL [15].

Kenichiro Saito y Hirofumi Akagi. “*A real-time real-power emulator of a medium-voltage high-speed induction motor loaded with a centrifugal compressor*” (2019). En este documento se muestra el diseño e implementación de un emulador de energía real a tiempo real basado en un rectificador DSCC trifásico de un motor de inducción de alta velocidad, media tensión y alta potencia cargado con un compresor centrífugo. El emulador en cuestión posee un inductor auxiliar por fase instalado en el lado de CA y un inductor de modo común (realizado manualmente) en el lado de CC del rectificador DSCC. El valor de inductancia del inductor auxiliar por fase es igual a la inductancia de fuga por fase referida al primario del motor de inducción emulado. Las formas de ondas obtenidas por el experimento confirman que el emulador es capaz de reproducir el rendimiento operativo eléctrico y mecánico del motor de inducción trifásico cargado con un compresor centrífugo, lo cual lo hace un emulador de alta fidelidad, además su

uso trae ahorros de tiempo y costos [16].

Marco teórico

Dado que la mira central de este proyecto de investigación estará puesta en los diferentes eventos de la calidad de la energía y en el diseño de un sistema capaz de simular los eventos de la calidad de la energía, se hace indispensable aclarar algunos conceptos o fundamentos teóricos esenciales para comprender a cabalidad las consecuencias de este trabajo y vislumbrar el impacto de las propuestas aquí planteadas.

4.1. Calidad de la energía eléctrica

A continuación se muestran algunas definiciones para el término calidad de la energía eléctrica:

Para la norma IEEE 1159 de 1995: *“El término se refiere a una amplia variedad de eventos electromagnéticos que caracterizan la tensión y la corriente eléctrica, en un tiempo dado y en una ubicación dada en el sistema de potencia”* [5].

La CREG en Colombia en la Resolución 070 de 1998 lo definió como: *“El término calidad de la potencia suministrada se refiere a las perturbaciones y variaciones de estado estacionario de la tensión y corriente suministrada por el operador de red. El término calidad del servicio prestado se refiere a los criterios de confiabilidad del servicio”* [17].

Según la norma IEEE 1100 de 2005, se entiende por calidad de la potencia eléctrica: *“El concepto de alimentar y poner a tierra equipo electrónico de manera que sea adecuado para la operación de dicho equipo y compatible con el sistema de alambrado del local y con otro equipo conectado”* [18].

De acuerdo a la norma IEC 61000-2-2/4 la calidad de la energía eléctrica es: *“Una característica física del suministro de electricidad, la cual debe llegar al cliente en condiciones normales, sin producir perturbaciones ni interrupciones en los procesos del mismo”* [19].

Hasta el momento no existe una definición completamente aceptada o universal para el término “calidad de la energía eléctrica” o “calidad del suministro eléctrico”, pero generalmente se utiliza para referirse al estándar de calidad que debe poseer el suministro de corriente alterna en las instalaciones eléctricas, la cual debería tener tensiones equilibradas, sinusoidales y de amplitudes y frecuencias constantes [20].

4.2. Pérdida de la calidad de la energía

La pérdida de la calidad de la energía implica el deterioro de las señales de voltaje y corriente en lo concerniente a la forma de onda, frecuencia e interrupciones que llevan a la disminución o parada de procesos ocasionando averías o daños de equipos del consumidor [20].

4.3. Importancia del estudio de la calidad de la energía

El estudio de la calidad de la energía eléctrica es el paso más importante para identificar y solucionar problemas en el sistema de potencia. Los problemas eléctricos pueden influir negativamente en el comportamiento del equipo y disminuir su confiabilidad, productividad y rentabilidad e inclusive puede poner en riesgo la seguridad del personal si no son corregidos. Este tipo de estudios para plantas industriales, empresas de energía y empresas privadas, incluyendo auditorías energéticas y revisiones mecánicas, térmicas y eléctricas conducen a reducir los desperdicios de energía y administrar eficientemente los recursos

energéticos [21].

La principal razón por la que hay un gran interés en los estudios de calidad de la energía es de tipo monetario. El número de cargas sensibles a los problemas de suministro de energía eléctrica se ha incrementado en estos últimos años. Esto no solo afecta a consumidores domésticos o comerciales, sino también a los consumidores industriales y a las mismas empresas que suministran y distribuyen la energía eléctrica que utilizan, en la mayoría de los casos, los avances de la electrónica de potencia [22].

4.4. Problemas que influyen en una buena calidad de la energía

Cualquier alteración en el voltaje de una fuente de energía se puede considerar como materia referente a la calidad de la energía eléctrica. Los problemas de la calidad de la energía pueden ser sucesos de mucha velocidad como impulsos de voltaje/transitorios, sonido de alta frecuencia, fallas en la onda eléctrica, incrementos y caídas de voltaje y pérdida total de la energía. Los equipos se verán afectados de forma particular debido a los diversos eventos de la calidad de la energía [21].

La gran parte de los problemas referentes a la calidad de la energía se encuentran relacionados con problemas internos de las edificaciones y no con el suministro eléctrico como tal, así como que el 90% de los problemas en la calidad de la energía suceden dentro de las edificaciones; problemas de puesta a tierra, violación de normas y generación de disturbios en la energía eléctrica interna son algunos casos típicos. Por lo que se considera que existen dos tipos básicos de problemas en la calidad de la energía [21]:

- Los que crean la interrupción de cargas eléctricas o de circuitos enteros.
- Los que causan la interacción del equipo eléctrico y el sistema de suministro eléctrico.

4.5. Tipos de cargas

4.5.1. Cargas lineales

Cuando un voltaje sinusoidal es aplicado directamente a cargas tales como resistencias, inductancias, capacitores o una combinación de ellos, se produce una corriente proporcional a la magnitud del voltaje que también es sinusoidal, por lo que se les denominan cargas lineales (Figura 4.1) [23].

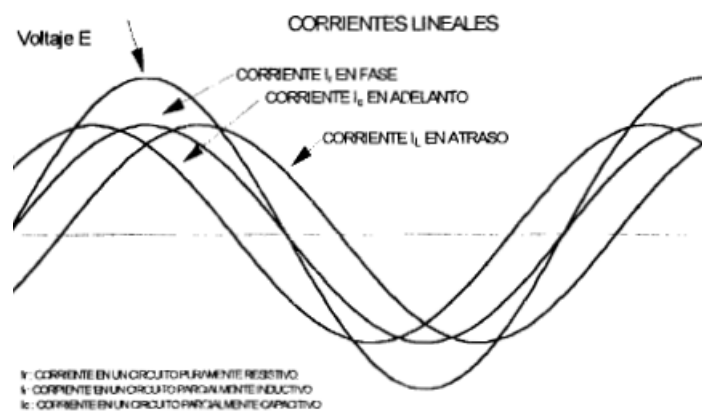


Figura 4.1: Corrientes y voltajes en cargas lineales. Fuente: Juan Carlos Herrera Heredia, “Determinación de la potencia de transformadores para alimentar cargas no lineales” (1997). Escuela Politécnica Nacional.

4.5.2. Cargas no lineales

Una carga no lineal es una en la cual la corriente de carga no es proporcional al voltaje instantáneo (Figura 4.2). Muchas veces, la corriente de carga no es continua. Puede ser conmutada en solo una parte del ciclo, tal como en un circuito de tiristores; o la corriente puede ser pulsada, como en un circuito rectificador controlado, un computador, o derivada hacia un UPS. El más grande efecto de las cargas no lineales es el crear una considerable distorsión armónica en el sistema y, además, muchas poseen un bajo factor de potencia, incrementando el costo de utilización de la energía cuando se llega a un factor de potencia penalizado [24].

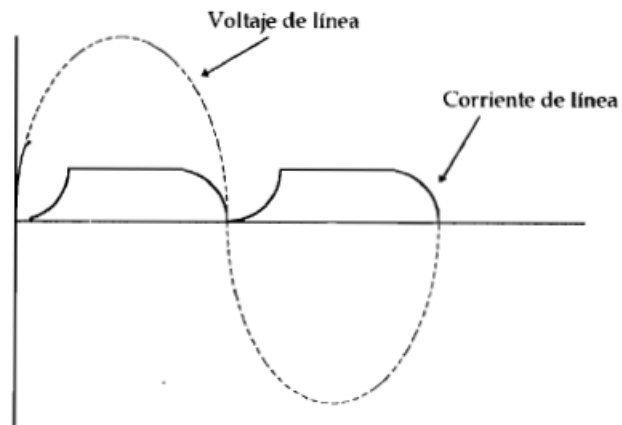


Figura 4.2: Forma de corriente en una carga no lineal. *Fuente: Juan Carlos Herrera Heredia, “Determinación de la potencia de transformadores para alimentar cargas no lineales” (1997). Escuela Politécnica Nacional.*

Las corrientes de carga no lineales son no sinusoidales, y aún cuando la fuente de voltaje sea una onda sinusoidal perfecta, las cargas no lineales distorsionarán esta onda de voltaje haciéndola no sinusoidal [24].

4.5.3. Cargas sensibles

Una carga sensible es aquella que necesita de un suministro de alta calidad, es decir, libre de disturbios [18]. Un ejemplo son los equipos electrónicos.

4.5.4. Cargas críticas

Las cargas críticas son aquellas de cuyo funcionamiento incorrecto o inapropiado se pueden derivar grandes perjuicios económicos o poner en peligro la seguridad del personal [25].

4.6. Eventos que afectan la calidad de la energía

A continuación se expondrán las definiciones de cada uno de los eventos de la calidad de la energía que se establecen en la norma IEEE de 1159 de 1995 [26]:

4.6.1. Variaciones de larga duración

Estas comprenden desviaciones del valor RMS a frecuencia de potencia (60 Hz) por un tiempo superior a 1 minuto. Las variaciones de larga duración pueden ser sobrevoltajes (overvoltages) o bajos voltajes (undervoltages), y usualmente son producidas por variaciones en la carga o por acciones de cierre/apertura de interruptores, es decir, acciones de switcheo.

4.6.2. Variaciones de corta duración

Estas variaciones son originadas por condiciones de fallas, comúnmente cortocircuitos en el sistema. Dependiendo de la duración de la variación según lo visto en la Tabla 5.1, esta se puede clasificar como instantánea, momentánea o temporal.

4.6.3. Transitorios

En ingeniería eléctrica los transitorios hacen referencia a esos eventos subcíclicos indeseables que perturban la forma de onda sinusoidal pura. Estos pueden ser de grandes magnitudes en pocos milisegundos (impulsivos) o variaciones rápidas a frecuencias mayores a las del sistema de potencia (oscilatorios). Ambos tipos de transitorios pueden ser medidos con o sin la componente a frecuencia fundamental incluida.

4.6.3.1. Transitorio impulsivo

Es un disturbio en el voltaje de alimentación que no dura más de medio ciclo y que al comienzo posee la misma polaridad que el voltaje normal, de tal forma que el disturbio se suma a la forma de onda nominal (Figura 4.3). Estos transitorios son provocados por maniobras con interruptores y por descargas atmosféricas, por lo cual también son llamados impulsos atmosféricos.

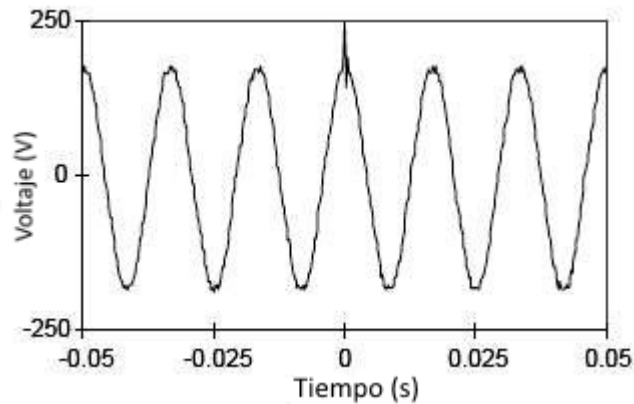


Figura 4.3: Impulso transitorio de voltaje. *Fuente: [26]*

4.6.3.2. Transitorio oscilatorio

Es una variación repentina a frecuencia diferente de la de potencia (60 Hz) en la condición de estado estacionario de voltaje, la corriente o de ambos, que implica tanto valores de polaridad positiva como negativa (Figura 4.4). Un transitorio oscilatorio consiste de un voltaje o corriente cuyo valor instantáneo varía de polaridad rápidamente y se describe por su contenido espectral (frecuencia predominante), magnitud y duración. Las subclases de contenido espectral son alta, baja y media frecuencia (ver Tabla 5.1).

4.6.4. Muesca

Una muesca es un disturbio transitorio en el voltaje de alimentación con duración menor a medio ciclo y que, inicialmente, posee una polaridad opuesta al voltaje normal, de tal modo que el disturbio se resta a la forma de onda (Figura 4.5).

Estas son originadas por cortocircuitos entre fases por la conmutación de diodos y de tiristores (SCR) en rectificadores trifásicos.

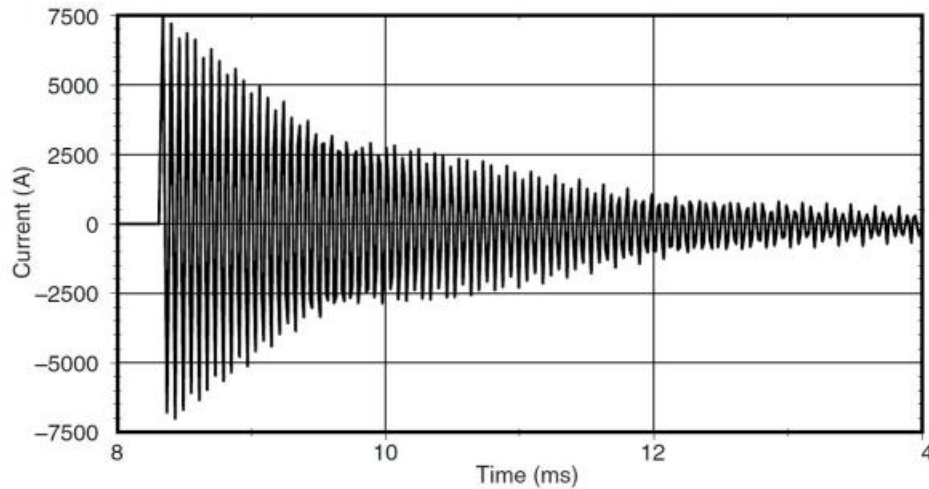


Figura 4.4: Corriente transitoria oscilatoria causada por la maniobra de un banco de capacitores. *Fuente: Ali KÖSE, “Corrección del coeficiente de energía con reactor controlado por tiristor de condensador fijo” (2014). Gazi Üniversitesi.*

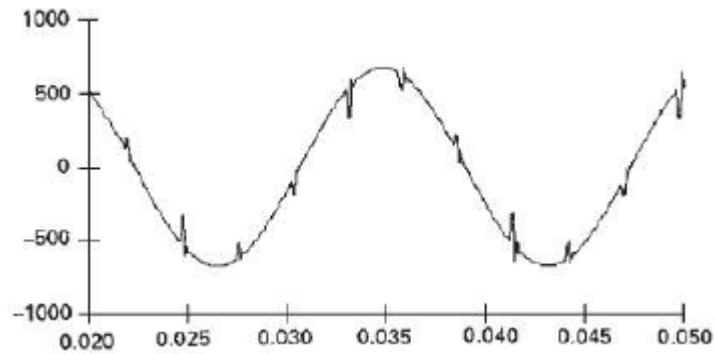


Figura 4.5: Muecas (notches) en el voltaje. *Fuente: [26].*

4.6.5. Reducciones y aumentos temporales en el voltaje

4.6.5.1. Depresión (*Sag o dip*)

Se define como la reducción momentánea del valor RMS del voltaje o corriente de CA (a valores entre 0.1 pu y 0.9 pu) a la frecuencia de potencia (60 Hz) con duración entre medio ciclo (8.33 ms) y un minuto (Figura 4.6).

Este evento puede ocasionar que el voltaje caiga por debajo del nivel estándar por varios ciclos y hacer que las cargas críticas salgan de operación. Además,

para equipos controlados electrónicamente, un voltaje por debajo del 20% del valor normal resultará en salida de operación.

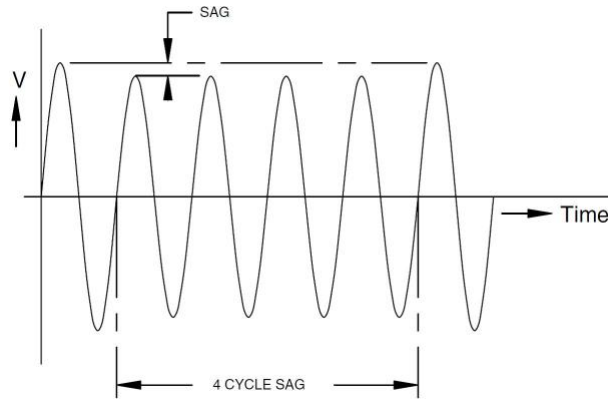


Figura 4.6: Depresión temporal del voltaje. *Fuente: [26].*

4.6.5.2. Elevación (Swell)

Se refiere al incremento momentáneo del valor RMS del voltaje o de la corriente de CA (entre 1.1 pu y 1.8 pu) a la frecuencia de potencia con duración entre medio ciclo (8.33 ms) y 1 minuto (Figura 4.7).

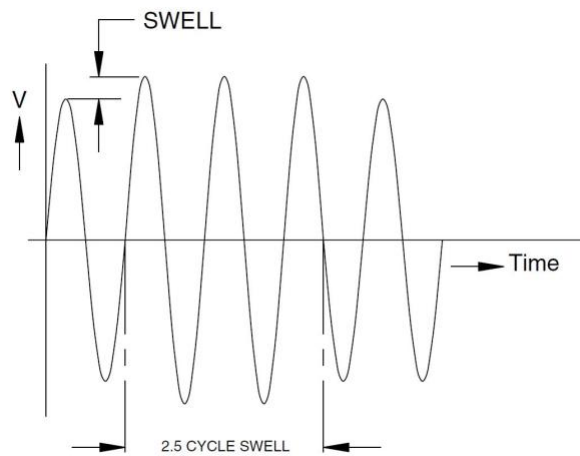


Figura 4.7: Elevación temporal del voltaje. *Fuente: [26].*

4.6.5.3. Bajo voltaje (*undervoltage*)

Es la disminución del valor RMS del voltaje de alimentación a menos del 90% del voltaje nominal de CA a frecuencia de potencia (60 Hz) que dura más de un minuto. La diferencia entre *undervoltage* y *sag* solo radica en el tiempo de duración.

4.6.5.4. Sobrevoltaje (*overvoltaje*)

Es el aumento en el valor RMS del voltaje de alimentación (superior al 110% del voltaje nominal) de CA a frecuencia de potencia con duración de más de un minuto. La diferencia entre *overvoltage* y *swell* solo radica en el tiempo de duración.

Los sobrevoltajes y bajos voltajes son variaciones de larga duración y usualmente no resultan de fallas en el sistema, sino más bien por variaciones en la carga y por operaciones de conmutación (switching) en el sistema.

4.6.6. Interrupción

La interrupción tiene lugar cuando el voltaje de alimentación o la corriente de carga se reducen a menos de 0.1 pu (10% del voltaje nominal) (Figura 4.8). Estas son medidas por su duración y se clasifican en: instantáneas (entre 0.5 ciclos y 30 ciclos), momentáneas (entre 30 ciclos y 3 segundos) o sostenidas (superiores a 1 minuto).

Las interrupciones pueden ser causados por fallas en el sistema de potencia, mal funcionamiento de los controles o fallas en el equipo.

4.6.7. Fluctuaciones de voltaje, parpadeo o “*Flicker*”

Según la IEC, “*las fluctuaciones de voltaje son impresiones de inestabilidad de la sensación visual inducida por una fuente luminosa, cuya distribución del contenido espectral fluctúa con el tiempo dentro de unos límites preestablecidos*” [27].

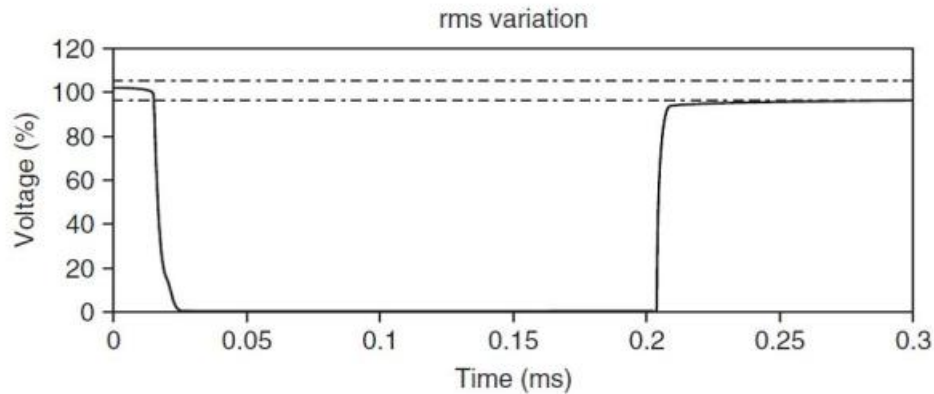


Figura 4.8: Interrupción del suministro eléctrico. *Fuente: Ali KÖSE, “Corrección del coeficiente de energía con reactor controlado por tiristor de condensador fijo” (2014). Gazi Üniversitesi.*

El parpadeo o *flicker* es el efecto más notorio de las variaciones de voltaje. Es un evento de baja frecuencia en el que la magnitud del voltaje presenta variaciones que llegan a ser observables al ojo humano. De manera general, las fluctuaciones oscilan entre el 0.1% y el 7% de la tensión nominal con un contenido espectral típico inferior a 25 Hz intermitente. El parpadeo se debe, por lo general, a la energización de cargas que requieren de corrientes en el arranque. Ejemplos de estas cargas lo son elevadores, soldadoras y hornos de arco.

Las fluctuaciones del voltaje son cambios sistemáticos de la envolvente del voltaje o una serie de variaciones aleatorias en el voltaje cuya magnitud no excede unos límites preestablecidos (Figura 4.9).

4.6.8. Desbalance de tensión

Corresponde al desequilibrio entre fases en un sistema polifásico. El desequilibrio se puede dar en magnitud o en desfase.

La fuente principal de desbalances menores al 2% en el voltaje, es tener cargas monofásicas en un circuito trifásico, o también, puede ser el resultado de que se fundan los fusibles en una fase de bancos de capacitores trifásicos.

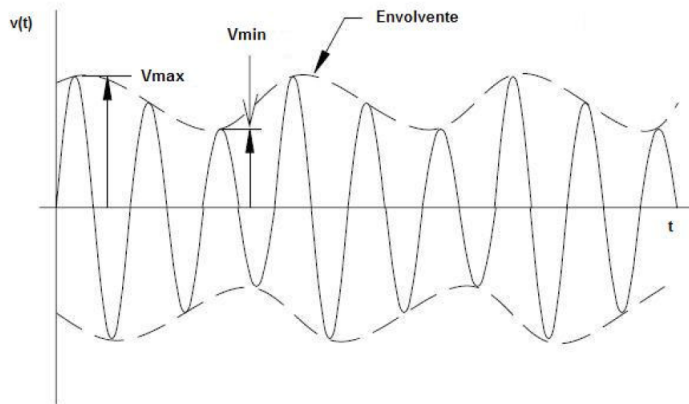


Figura 4.9: Voltaje de alimentación típico en un horno de arco indicando la fluctuación de voltaje a una frecuencia *flicker* de 3 Hz. Fuente: [26].

4.6.9. Distorsión de la forma de onda

Es definida como una distorsión en estado estacionario de una senoide ideal de frecuencia de potencia que se caracteriza principalmente por el contenido espectral de la desviación. Existen cinco tipos:

- Offset de CD (Figura 4.10)
- Armónicas (Figura 4.12)
- Interarmónicas
- Muecas (Figura 4.5)
- Ruido (Figura 4.11)

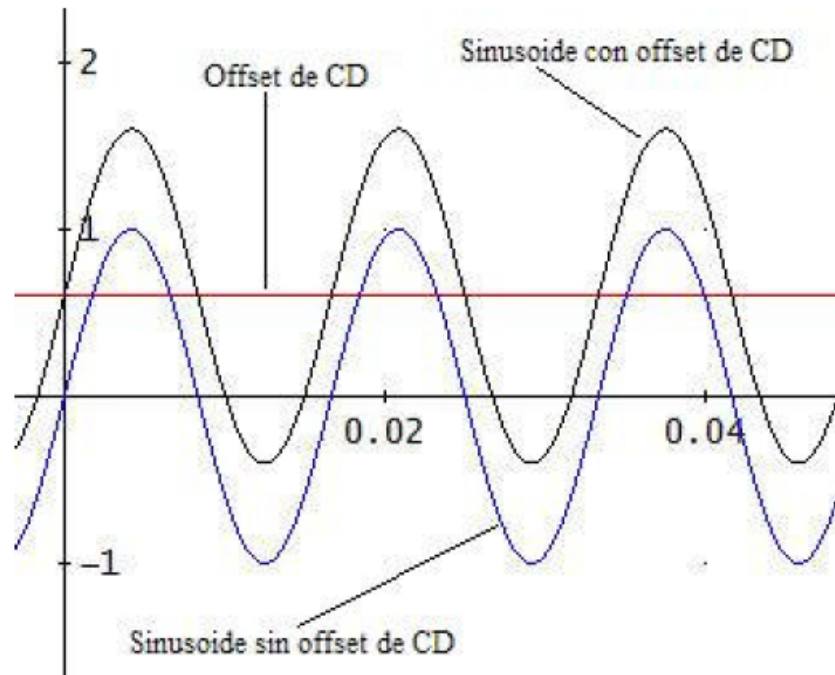
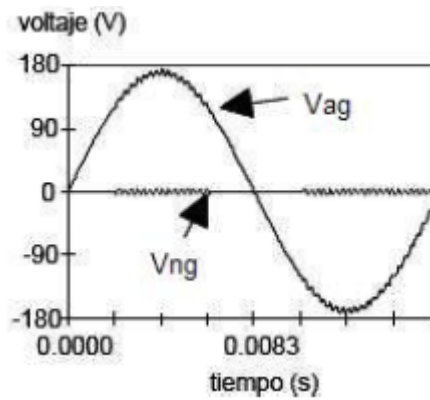
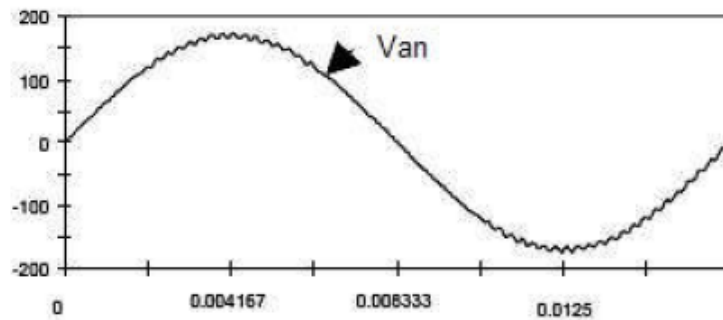


Figura 4.10: Onda sinusoidal con offset de CD. Fuente: [26].



(a) Ruido de modo común.



(b) Ruido de modo normal.

34
Figura 4.11: Ondas de voltaje con ruido. Fuente: [26].

4.6.10. Distorsión armónica

Se define como la representación cuantitativa de la distorsión a partir de una forma de onda sinusoidal pura. La distorsión armónica es debida a cargas no lineales, o a cargas en las que la forma de onda de la corriente no conforma a la forma de onda del voltaje de alimentación (Figura 4.12).

Los voltajes o corrientes que tienen componentes de frecuencia que no son múltiplos enteros de la frecuencia fundamental son llamados **interarmónicos**. Estos se pueden encontrar en redes de cualquier nivel de tensión, siendo las fuentes principales de distorsión de forma de onda interarmónica los convertidores de frecuencia estáticos, los cicloconvertidores, los hornos de inducción y los dispositivos de arco.

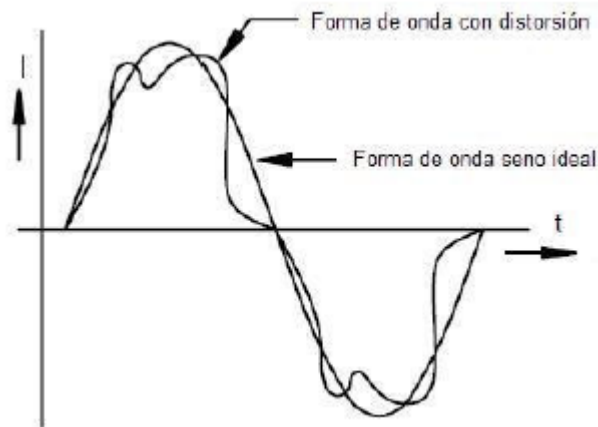


Figura 4.12: Forma de onda con distorsión armónica. *Fuente: [26].*

4.6.11. Variación de la frecuencia

Hace referencia a la desviación de la frecuencia fundamental del sistema de potencia de su valor nominal especificado (idealmente de 50 Hz o 60 Hz) (Figura 4.13).

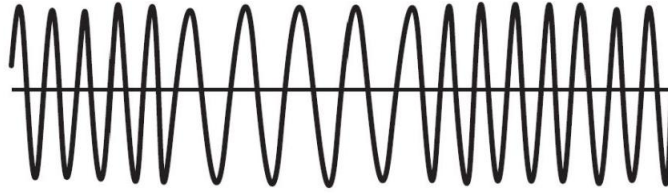


Figura 4.13: Variación de frecuencia. *Fuente: [26].*

4.7. Convertidor multinivel en cascada

En la Figura 4.14 se muestra el diagrama general de un inversor multinivel en cascada con puente-H (*H-bridge Cascaded Multilevel Inverter, CMLI*). La forma de onda de salida vendría a ser la suma de las salidas de cada puente-H [28].

La topología de este convertidor puede dividirse en dos categorías que dependen de la relación de los voltajes en cada puente. Estas categorías son: simétricas y asimétricas [29].

La topología es simétrica cuando los voltajes en todos los puentes son iguales, mientras que la topología es asimétrica cuando los voltajes son diferentes, en este tipo son utilizados comúnmente relaciones de transformación de 1:2 o 1:3 [29].

Dependiendo de la manera de obtener el voltaje de cada puente, se pueden describir dos sub-topologías: una *fuentes de CD separada*, en la que todos los puentes reciben alimentación de diferentes fuentes de voltaje (Figura 4.14) y *una sola fuente de CD*, en la que todos los puentes se encuentran alimentados desde la misma fuente de voltaje. La diferencia en los voltajes y el aislamiento eléctrico se logra por medio del uso de transformadores (Figura 4.15) [29].

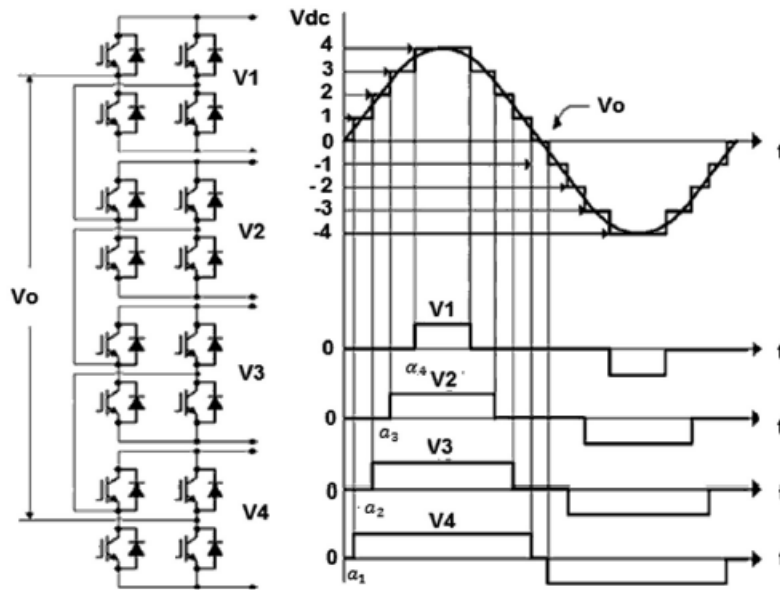


Figura 4.14: Convertidor multinivel puente-H, formas de onda y salida del convertidor. Fuente: [30].

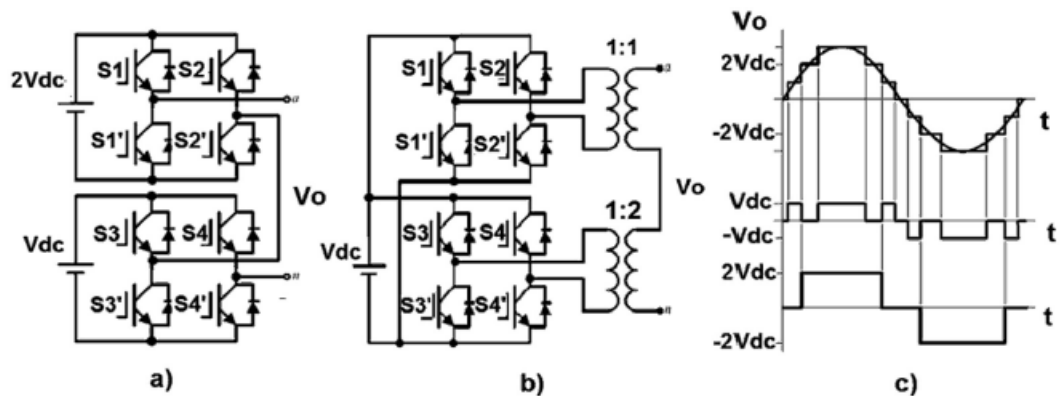


Figura 4.15: Sub-topologías asimétricas de un convertidor multinivel en cascada tipo puente-H. (a) Fuente de DC separada, (b) Una sola fuente de DC, (c) Voltaje de salida. Fuente: [30].

Determinación de los eventos

Para la elección de los eventos de calidad de la energía que se pueden escoger en el simulador, se tuvo en cuenta la clasificación dada por el estándar IEEE 1159 - 1995 (ver Tabla 5.1).

Tabla 5.1: Categorías y características de fenómenos electromagnéticos (IEEE 1159-1995). *Fuente: Adaptado de [26].*

Categoría	Contenido Típico Espectral	Duración Típica	Magnitud Típica del Voltaje
1. Transitorios			
1.1. Impulsivos			
1.1.1. Nanosegundos	5 ns de elevación	<50 ns	
1.1.2. Microsegundos	1 μs de elevación	50 ns - 1 μs	
1.1.3. Milisegundos	0.1 ms de elevación	>1 ms	
1.2. Oscilatorios			
1.2.1. Baja frecuencia	<5 kHz	0.3 - 50 ms	0 - 4 pu
1.2.2. Media frecuencia	5 - 500 kHz	20 μs	0 - 8 pu
1.2.3. Alta frecuencia	0.5 - 5 MHz	5 μs	0 - 4 pu
2. Variaciones de corta duración			
2.1. Instantáneas			
2.1.1. Sag		0.5 - 30 ciclos	0.1 - 0.9 pu

Continúa en la siguiente página.

Categoría	Contenido Típico Espectral	Duración Típica	Magnitud Típica del Voltaje
2.1.2. Swell		0.5 - 30 ciclos	1.1 - 1.8 pu
2.2. Momentáneas			
2.2.1. Interrupción		0.5 - 3s	<0.1
2.2.2. Sag		30 ciclos-3s	0.1 - 0.9 pu
2.2.3. Swell		30 ciclos-3s	1.1 - 1.4 pu
2.3. Temporal			
2.3.1. Interrupción		3s - 1 min	<0.1 pu
2.3.2. Sag		3s - 1 min	0.1 - 0.9 pu
2.3.3. Swell		3s - 1 min	1.1 - 1.2 pu
3. Variaciones de larga duración			
3.1. Interrup. sostenida		>1 min	0.0 pu
3.2. Bajo voltaje		>1 min	0.8 - 0.9 pu
3.3. Sobrevoltaje		>1 min	1.1 - 1.2 pu
4. Desbalance de voltaje			
		Est. Estable	0.5 - 2%
5. Distorsión de forma de onda			
5.1. Componente de CD		Est. Estable	0 - 0.1%
5.2. Contenido armónico	De la armónica 0 a la 100	Est. Estable	0 - 20%
5.3. Interarmónicas	0 - 6 kHz	Est. Estable	0 - 2%
5.4. Muecas en el voltaje		Est. Estable	
5.5. Ruido banda amplia		Est. Estable	0 - 1%
6. Fluctuaciones de voltaje			
	<25 Hz	Intermitente	0.1 - 7%

Continúa en la siguiente página.

Categoría	Contenido Típico Espectral	Duración Típica	Magnitud Típica del Voltaje
7. Variaciones de frecuencia		<10s	

En la Tabla 5.2 se pueden observar los eventos de calidad de la energía que se incluyen en el simulador desarrollado en el presente trabajo.

Tabla 5.2: Eventos electromagnéticos a simular. *Fuente: Elaboración propia.*

Eventos	Contenido Típico Espectral	Duración Típica	Magnitud Típica del Voltaje
Elevación (<i>Swell</i>)		0.5 - 1 min	0.1 - 0.9 pu
Depresión (<i>Sag,dip</i>)		0.5 - 1 min	1.1 - 1.8 pu
Bajo voltaje		>1 min	0.8 - 0.9 pu
Sobrevoltaje		>1 min	1.1 - 1.2 pu
Interrupción instantánea		0.5 ciclos - 30 ciclos	<0.1 pu
Interrupción momentánea		30 ciclos - 3 s	<0.1 pu
Interrupción temporal		3 s - 1 min	<0.1 pu
Interrupción sostenida		>1 min	<0.1 pu
Variación de frecuencia		<10s	
Armónicos	h = 0-50	Est. Estable	0 - 20 %

Los anteriores eventos son en su mayoría los que se encuentran relacionados con magnitudes media cuadráticas (*Root-Mean Square - RMS*) y de duración de tiempo como lo son la depresión de voltaje (*sag*), la elevación de voltaje (*swell*), entre otros; y también los eventos de variaciones de frecuencia y contenido armónicos.

Para el simulador de eventos de calidad de la energía, se excluyen los eventos o fenómenos transitorios, tanto impulsivos como oscilatorios, lo anterior debido

a la dificultad por la parte del muestreo para la determinación de fenómenos oscilatorios de media y alta frecuencia [30]. Al igual que se dejan por fuera los eventos como el ruido, muescas en el voltaje y *offset* de CD, entre otros. Todo lo anterior dada la dificultad de encontrar una expresión o formulación de una ecuación que dé inicio a la realización de un algoritmo.

Cabe resaltar que los métodos propuestos para simular cada uno de los eventos presentes en la Tabla 5.2 no llegan a abarcar el problema para su validación en línea.

Métodos para la generación de los eventos de calidad de la energía

6.1. Algoritmo metaheurístico PSO (*Particle Swarm Optimization*)

El método utilizado como estrategia para determinar los ángulos de disparos necesarios para la creación de los eventos que involucran magnitudes media cuadráticas (*Root-Mean Square - RMS*) y duración de tiempo, para unos parámetros y condiciones específicas dadas por el usuario, fue con la implementación de un algoritmo de optimización por enjambre de partículas PSO (*Particle Swarm Optimization*).

El algoritmo PSO pertenece a las técnicas denominadas *optimización inteligente* y se clasifica como un algoritmo estocástico de optimización basado en población. A esta clasificación igualmente pertenecen los Algoritmos Genéticos (AG). Los anteriores algoritmos se consideran adecuados comparados con los métodos clásicos de optimización cuando el problema de optimización es complejo, estocástico o no lineal con múltiples mínimos locales [31].

Una de las ventajas atribuidas a estas técnicas inteligentes de optimización son: su paralelismo intrínseco, su capacidad para resolver problemas complejos, de gran tamaño, y con un mínimo conocimiento del sistema que se está identificando [31].

Este algoritmo de búsqueda basado en población fue propuesto por *Kennedy*

y *Eberhart* en 1995 [32] como un modelo de las actividades sociales de insectos, pájaros y peces.

Lo que pretende el algoritmo PSO es representar el proceso natural de comunicación grupal para compartir conocimiento individual cuando grupos de animales se desplazan, migran o cazan. Si un miembro detecta un camino deseable para desplazarse, el resto de la colonia lo sigue inmediatamente. En PSO, este comportamiento animal es imitado por partículas con ciertas posiciones y velocidades en un espacio de búsqueda, donde la población es llamada *swarm*, y cada miembro del *swarm* es llamado partícula. La población inicial se determina aleatoriamente y cada partícula se desplaza a través del espacio de búsqueda y recuerda la mejor posición que ha encontrado. Cada partícula comunica las buenas posiciones a las demás y dinámicamente ajustan su propia posición y su velocidad con base en las buenas posiciones. La velocidad se ajusta con el comportamiento histórico de las partículas. De esta forma, las partículas tienden a dirigirse hacia un mejor espacio de búsqueda en el proceso de minimización de la función objetivo, también llamada función de costo [33].

El procedimiento de implementación del algoritmo PSO se ilustra en el diagrama de flujo mostrado en la Figura 6.1. El proceso de optimización puede ser dividido en seis pasos generales como se describe a continuación [31]:

1. *Inicialización*: Durante este paso se determinan los límites de la posición y velocidad de las partículas; la población inicial (la cual se calcula aleatoriamente) y el valor $pbest_i$ correspondiente; los parámetros de necesarios para el procedimiento de búsqueda y la condición de parada del algoritmo.

2. *Evaluación de la población inicial*: En este paso, el costo para todas las partículas en la población inicial es evaluado de acuerdo con la función objetivo; y se selecciona la mejor partícula global, $gbest$.

3. *Actualización de posición y velocidad*: La posición y velocidad se actualizan de acuerdo con una ecuación de razón de cambio de la posición de cada partícula;

si la posición y la velocidad de las partículas están por fuera de los correspondientes límites, éstos se ajustan a los valores establecidos.

4. *Evaluación de la población actualizada:* Similar al paso 2, la posición actualizada de las partículas es evaluada de acuerdo al valor de la función objetivo; las partículas *gbest* y la *pbest* serán actualizadas si es necesario.

5. *Verificación del cumplimiento de la condición de parada:* Esta condición puede corresponder con el número de iteraciones o con el mínimo valor de la función objetivo. Si la condición de parada no ha sido cumplida, el proceso de actualización del paso 3 será repetido; de lo contrario, el proceso de optimización finalizará.

6. *Resultados de salida:* La mejor solución obtenida durante el proceso de optimización, *gbest*, es la salida en este paso, que corresponderían a los ángulos de disparo α .

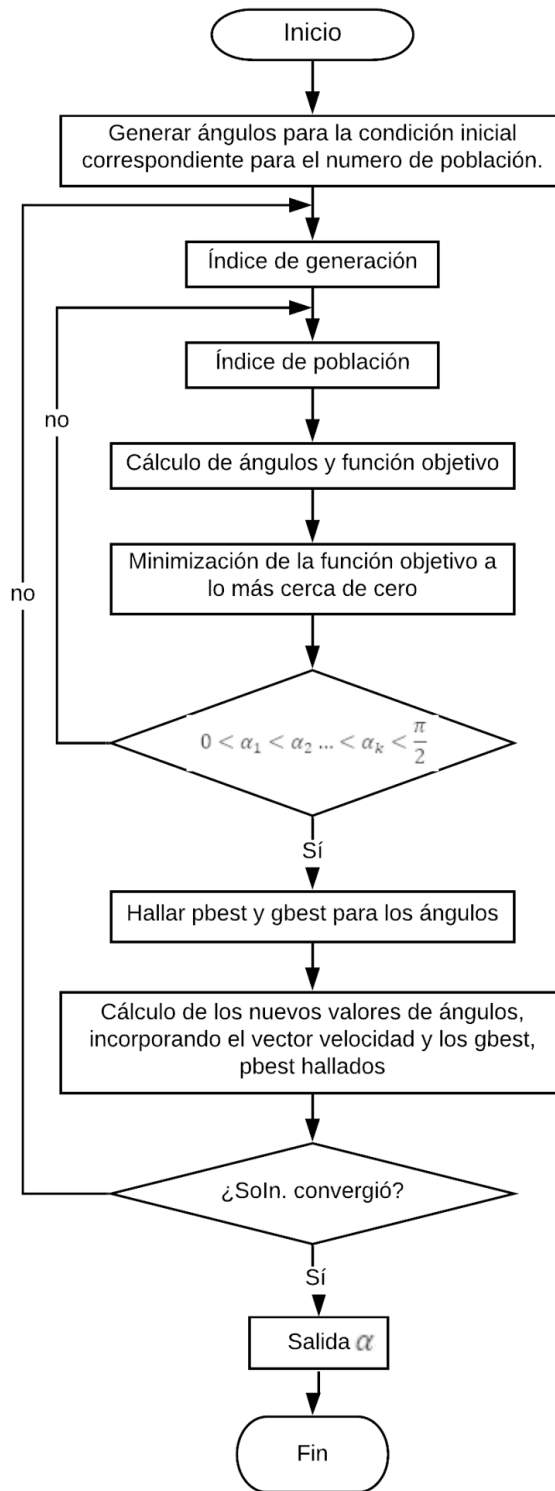


Figura 6.1: Diagrama de flujo del algoritmo PSO. Fuente: Adaptado de [33].

6.2. Método para la generación de *sag*, *swell*, bajovoltaje y sobrevoltaje

En primera instancia, para estos eventos que involucran magnitudes media cuadráticas (*Root-Mean Square - RMS*) y de duración de tiempo, se hace uso de la ecuación 6.1 del voltaje RMS para modulación PWM, la cual se extrajo de [34]:

$$V_{RMS} = \sqrt{\sum_{n=1}^{hmax} \frac{1}{2} \frac{4Vdc}{\pi n} \left(\sum_{i=1}^{k-1/2} \sum_{j=1}^{Li} (-1)^{j-1} \cos n\alpha_{ij} \right)^2} \quad (6.1)$$

Donde:

V_{RMS} : Valor del voltaje RMS.

Vdc : Valor de voltaje del escalón.

n : Número del armónico.

i : Indicador del escalón.

j : Indicador del número de ángulo de disparo en el escalón i .

α_{ij} : Ángulo de encendido o apagado en cada escalón i y ángulo j .

L : Vector que contiene la información de cuantos ángulos hay en cada escalón.

Li : Número de ángulos de disparo para el escalón i en el primer cuarto de onda.

$hmax$: Armónico máximo.

k : Indicador del número de escalones.

La ecuación 6.1 es la clave para obtener los eventos mencionados anteriormente, por tanto, se hizo necesaria la creación de una función en MATLAB que cumplirá el papel de función objetivo para el algoritmo metaheurístico PSO (*Particle Swarm Optimization*). En este caso, la función necesitará unos valores α que corresponden a los ángulos de disparo de cada escalón del convertidor para calcular el valor de voltaje RMS que desee el usuario y así generar la gráfica del evento que se desea.

El código de la función mencionada se puede encontrar en el Anexo A.

Luego de realizada la anterior función, se procedió a programar y parametrizar el algoritmo PSO, así como la función de costo o función objetivo que se empleará para la determinación de los ángulos α para cada uno de los eventos presentados en esta sección.

En el algoritmo PSO realizado, se toma como salida los ángulos de disparo α , es decir, el resultado que se espera que arroje el algoritmo serán cada uno de estos ángulos. Para ello se deben cumplir las condiciones presentadas a continuación:

$$0 < \alpha_1 < \alpha_2 < \dots < \alpha_m < \frac{\pi}{2} \quad (6.2)$$

Con la expresión 6.2 se quiere dar a entender que los ángulos resultantes del algoritmo PSO deben estar en un rango de entre 0 y 90°, y deben a su vez ir de forma ascendente continua.

Dado que el propósito de este algoritmo es minimizar o reducir el error de la ecuación presentada como función objetivo, se tomó como ésta la ecuación del error absoluto del V_{RMS} dado por el usuario (valor deseado) menos el V_{RMS} calculado por el algoritmo (valor estimado). Esta ecuación es presentada en 6.3.

$$VRMS_{error} = VRMS_{Usuario} - VRMS_{PSO} \quad (6.3)$$

Donde:

$VRMS_{error}$: Valor del error absoluto, el cual se espera que sea cero.

$VRMS_{Usuario}$: Valor deseado (ingresado por el usuario).

$VRMS_{PSO}$: Valor estimado (el calculado por el algoritmo PSO).

El código de la función objetivo creada se puede encontrar en el Anexo B.

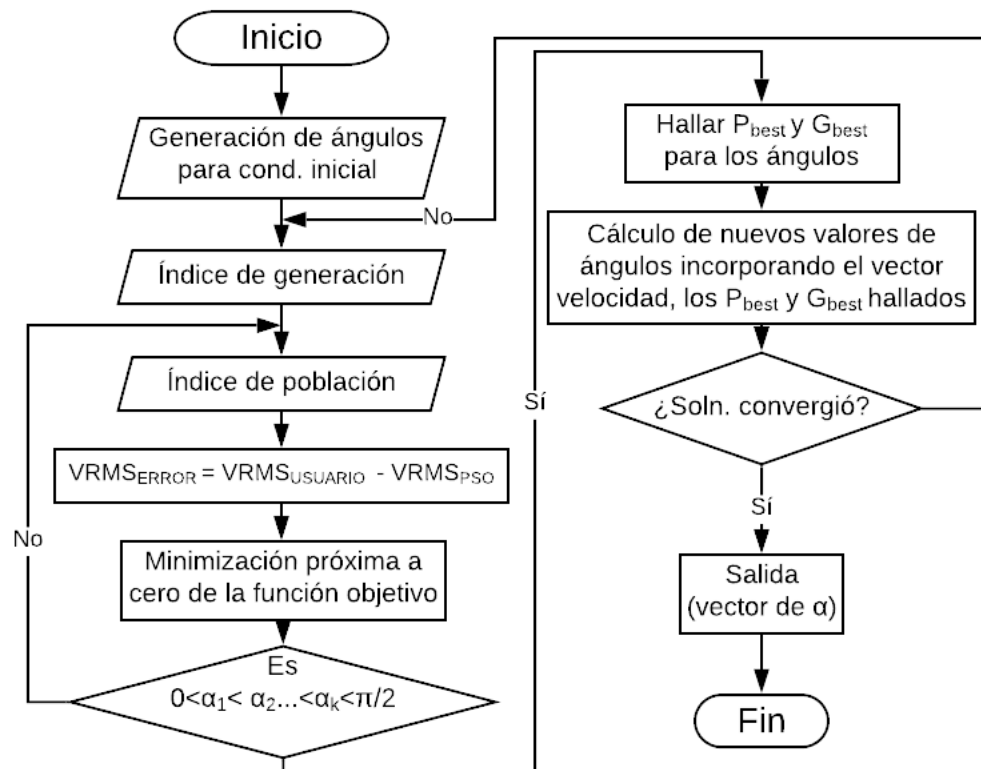


Figura 6.2: Diagrama de flujo del algoritmo de generación de los eventos. *Fuente: Elaboración propia.*

En la Figura 6.2 se muestra el diagrama de flujo del algoritmo para los eventos de depresión de voltaje, elevación, bajo voltaje y sobrevoltaje.

Posteriormente hallados los ángulos de disparo que dan el error más pequeño para el V_{RMS} pedido, se procede a la obtención de los datos en X (tiempo) y en Y (Magnitud) del primer ciclo de la gráfica escalonada del evento y de la onda sin presencia de éste. Lo anterior se realiza a través de una función a la que se le entregan los ángulos α resultantes del algoritmo PSO y se puede encontrar a más detalle en el Anexo C.

Por último se procede a realizar la simulación del evento en la blockset SIMULINK de MATLAB (ver Figura 6.3), en donde se crean en los primeros cinco ciclos una onda sin el evento, luego se introduce la gráfica escalonada del evento reconstruida con la duración digitada por el usuario en la interfaz, y por último veinte ciclos adicionales de la gráfica sin el evento.

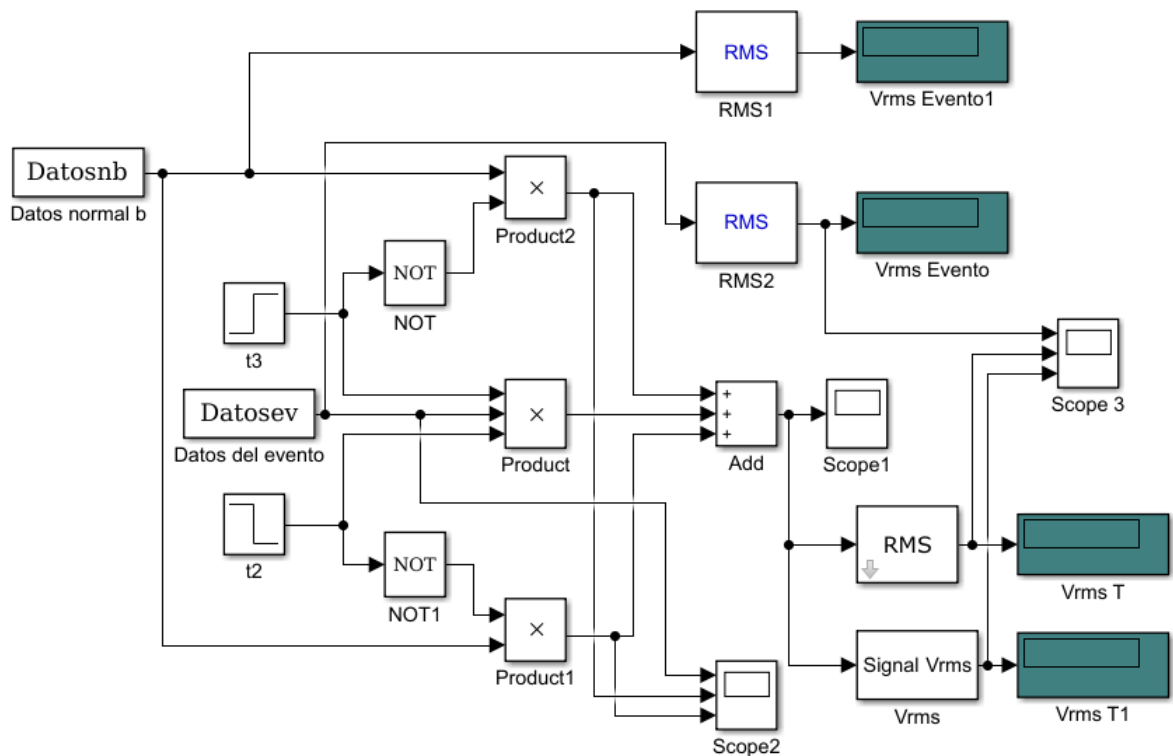


Figura 6.3: Programa en SIMULINK para la creación de la gráfica del evento. Fuente: *Elaboración propia.*

La creación de las gráficas para los eventos simulados sigue el proceso descrito en el diagrama de flujo mostrado en la Figura 6.4. Por un lado se tienen los datos

de la onda sin el evento, y por el otro, los datos del evento; t_2 y t_3 se describen con las ecuaciones 6.4 y 6.5 respectivamente.

$$t_2 = \frac{5}{f} + \text{duración}_{\text{evento}} \quad (6.4)$$

$$t_3 = \frac{5}{f} \quad (6.5)$$

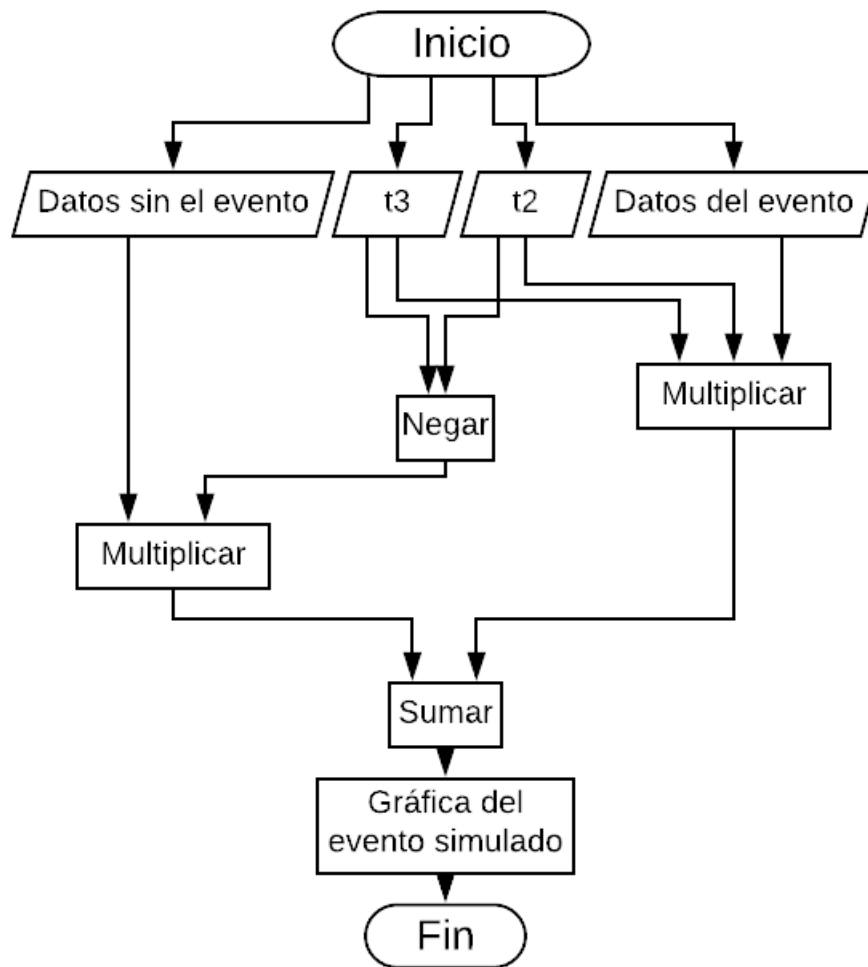


Figura 6.4: Diagrama de flujo del proceso de simulación de la gráfica del evento.
 Fuente: *Elaboración propia.*

Entonces, se multiplican los datos del evento por t_3 que se encuentra en alto y por t_2 que está en bajo, al hacer esto se logra que el evento se genere a partir de t_3 hasta t_2 . Los datos sin el evento se multiplican al inicio por t_3 negado, es decir, que antes de t_3 la onda sin el evento se generará. Además, datos sin el evento se multiplica también por el t_2 negado, es decir que después de t_2 aparecerá de nuevo la onda sin el evento. Y al final, el resultado de cada uno de estos productos se suman para formar de esta manera la gráfica del evento seleccionado.

El procedimiento mencionado anteriormente se realiza de la misma manera para los eventos presentados en esta sección, las diferencias que se encuentran son las siguientes:

- Para la elevación de voltaje (*swell*) los límites de la magnitud corresponderán entre 0.1 - 0.9 pu y la duración que se podrá escoger será entre 0.5 - 1 min.
- Para la depresión de voltaje (*sag*) los límites de la magnitud corresponderán entre 1.1 - 1.8 pu y la duración que se podrá escoger será la misma que la del *swell* al ser ambas variaciones de corta duración.
- Para el bajo voltaje (*undervoltage*) los límites de la magnitud corresponderán entre 0.8 - 0.9 pu y la duración que se podrá escoger será mayor a 1 min.
- Para el sobrevoltaje (*overvoltage*) los límites de la magnitud corresponderán entre 1.1 - 1.2 pu y la duración que se podrá escoger será la misma que la del bajo voltaje al ser ambos variaciones de larga duración.

6.3. Método para la generación de interrupciones

Para el caso de las interrupciones se usa el mismo procedimiento mencionado en la Sección 6.2, salvo que en esta ocasión la magnitud en por unidad (pu) que puede elegir el usuario estará entre 0 y 0.1 pu, y la duración de éstas dependerá del tipo de interrupción que se desee simular: si es instantánea estaría entre

0.5 ciclos a 30 ciclos, si es momentánea estaría entre 30 ciclos a 3 segundos, si es temporal el tiempo estaría en el rango de 3 segundos a 1 minuto, y si es una interrupción sostenida la duración debe ser mayor a 1 minuto.

En la Figura 6.5 se muestra el diagrama de flujo del algoritmo para el evento de los cuatro tipos de interrupciones.

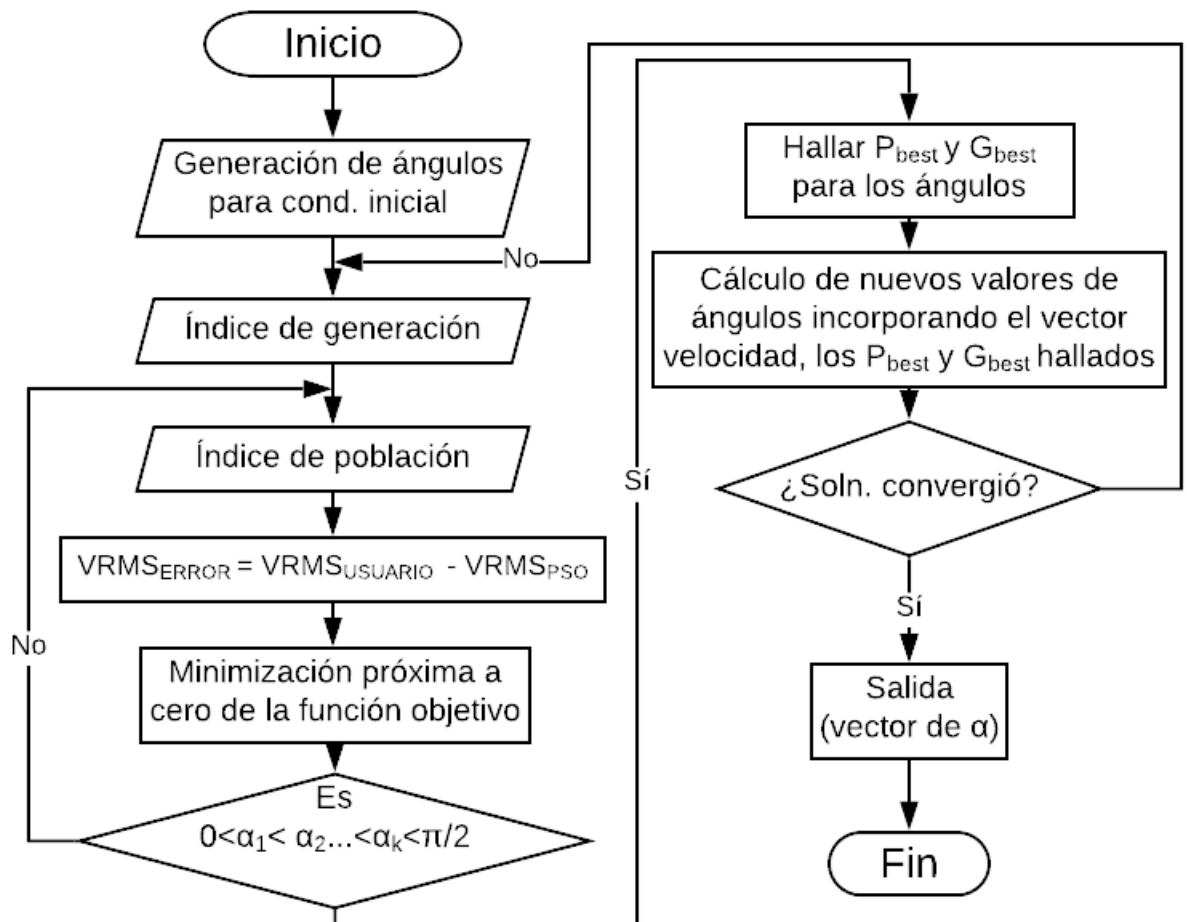


Figura 6.5: Diagrama de flujo del algoritmo de generación de las interrupciones. Fuente: *Elaboración propia.*

6.4. Método para la generación de variaciones de frecuencia

Para este método el usuario deberá registrar el voltaje nominal con el que se desea trabajar, la frecuencia fundamental (50 Hz o 60 Hz), el factor de variación que se desea para la frecuencia y la duración del evento que estará entre 0 a 10 segundos.

Para este caso, el algoritmo PSO tendrá como función objetivo la ecuación (6.1), donde hallará los ángulos de disparo α para la frecuencia fundamental ingresada.

Seguidamente, al momento de la obtención de los datos en X (tiempo) y Y (magnitud) de las gráficas con ayuda de la función del Anexo C, se obtendrá una gráfica sin el evento, la cual en la parte donde se pasan los ángulos a tiempo con la ecuación 6.6 se multiplicarán por la frecuencia fundamental ingresada por el usuario, y una gráfica del evento, la cual en vez de multiplicar por la frecuencia fundamental se multiplicará por la frecuencia a la que se desea llegar (ver ecuación 6.7). Esto se puede ver sintetizado en la Figura 6.6.

$$Vect_{tiempo} = \frac{Vect_{\text{Ángulos}}}{f * 360} \quad (6.6)$$

$$f_{variada} = f_{fund.} * \text{Factor de variación} \quad (6.7)$$

El diagrama de flujo del algoritmo para este evento se puede ver en la Figura 6.5.

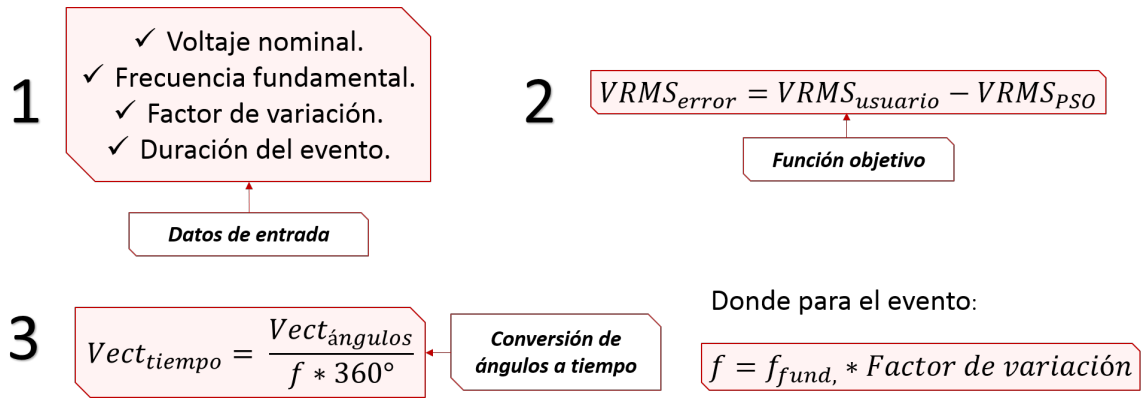


Figura 6.6: Método para la generación de variaciones de frecuencia. *Fuente: Elaboración propia.*

6.5. Método para la generación de armónicos

Para el evento de generación de armónicos se hizo uso de la ecuación ??, extraída de [34] que, utilizando los valores obtenidos por el algoritmo PSO en las iteraciones previas al resultado final y los datos deseados ingresados por el usuario para cada uno de los armónicos que se quieran incluir hasta máximo el armónico 50, y solo teniendo en cuenta los armónicos impares, determina el error acumulado en todos los armónicos. Este algoritmo obtiene en primera instancia, el valor de la magnitud entregada en el primer armónico por el algoritmo PSO en ese ciclo, posterior a esto compara el valor objetivo, que en este caso sería el porcentaje del armónico en la señal con la relación de la magnitud del armónico n sobre la magnitud del primer armónico calculado por el algoritmo PSO. Este paso se repite entre todos los armónicos establecidos por el usuario y acumula el error para luego entregárselo al algoritmo PSO y este a su vez encuentra los ángulos de disparo α con el mínimo error.

$$b_n = \frac{4Vdc}{\pi n} \left(\sum_{i=1}^{k-1/2} \sum_{j=1}^{Li} (-1)^{j-1} \cos n\alpha_{ij} \right)^2 \quad (6.8)$$

Donde:

b_n : Magnitud del armónico n .

V_{dc} : Valor de voltaje del escalón.

n : Número del armónico.

i : Indicador del escalón.

j : Indicador del número de ángulo de disparo en el escalón i .

α_{ij} : Ángulo de encendido o apagado en cada escalón i y ángulo j .

L : Vector que contiene la información de cuantos ángulos hay en cada escalón.

L_i : Número de ángulos de disparo para el escalón i en el primer cuarto de onda.

k : Indicador del número de escalones.

La ecuación presentada en 6.9 es la función objetivo que utiliza el algoritmo de la generación de contenido armónico.

$$bn_{error} = |bn_{Usuario} - \frac{bn_{PSO}}{b1_{PSO}} \times 100| \quad (6.9)$$

Donde:

bn : Magnitud del armónico n .

$bn_{Usuario}$: Magnitud del armónico n ingresada por el usuario.

bn_{PSO} : Magnitud del armónico n calculado por el algoritmo PSO.

$b1_{PSO}$: Magnitud del armónico 1 calculado por el algoritmo PSO.

El diagrama de flujo del algoritmo para este evento se puede ver en la Figura 6.7.

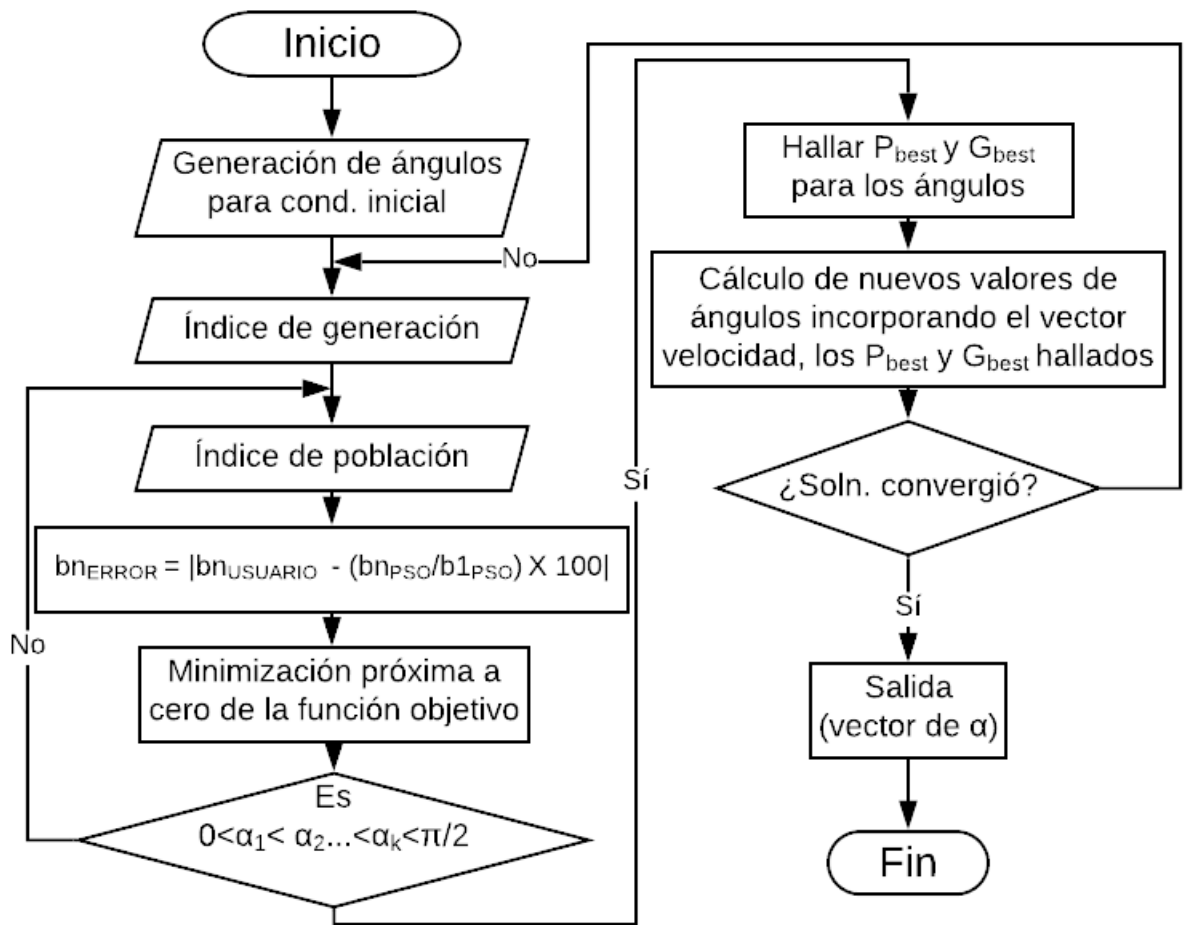


Figura 6.7: Diagrama de flujo para la generación de armónicos. Fuente: Elaboración propia.

La función objetivo para los armónicos se puede encontrar en más detalle en el Anexo D.

Interfaz gráfica (HMI)

La interfaz gráfica se realizó en GUIDE/MATLAB y se puede observar en la Figura 7.1. Ésta se encuentra programada de tal manera que el panel de “Parámetros del evento” irá variando de manera dinámica según la opción del evento seleccionado por el usuario.

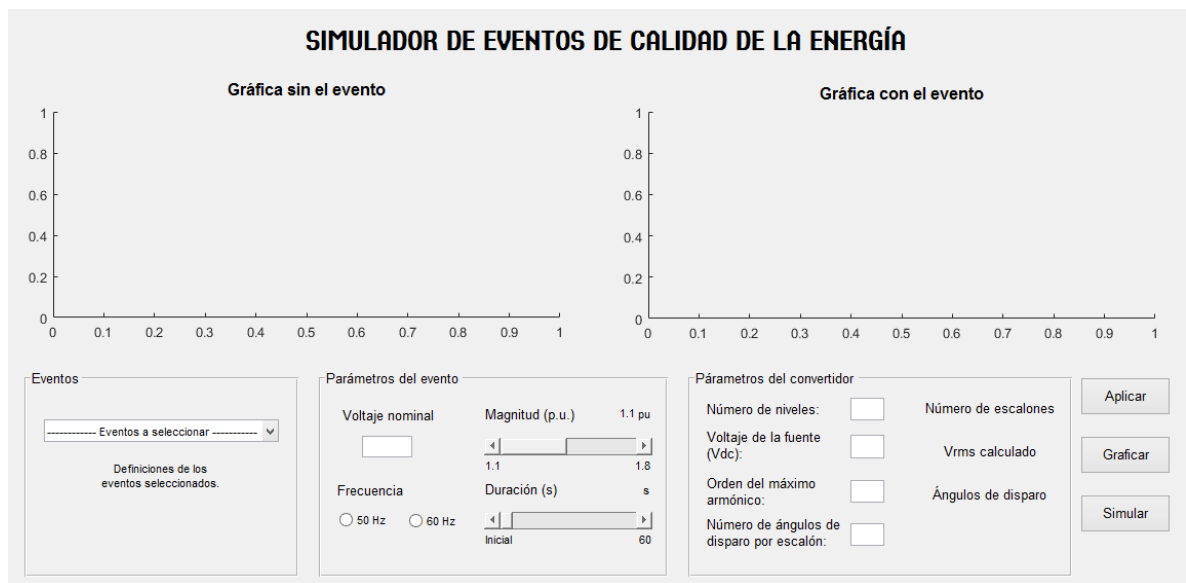


Figura 7.1: Interfaz gráfica del simulador de eventos de la calidad de la energía.
Fuente: Elaboración propia.

La programación de la interfaz creada se puede encontrar en más detalle en el Anexo D.

7.1. Descripción general

La Figura 7.2 presenta el diagrama de caso de uso a utilizar para el diseño de la interfaz gráfica, el cual se encuentra orientado bajo la metodología UML.

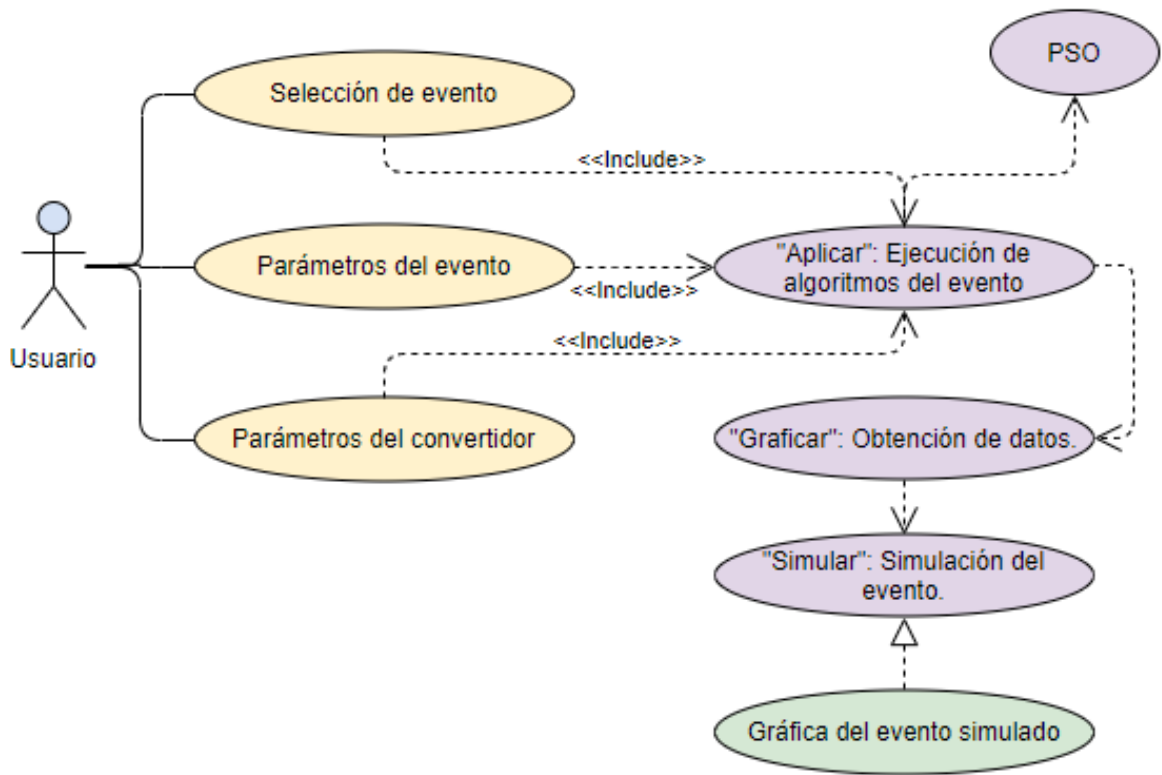


Figura 7.2: Diagrama de caso de uso de la interfaz gráfica. *Fuente: Elaboración propia.*

La interfaz cuenta con dos gráficas donde aparecerán el primer ciclo de onda sin el evento y con el evento. Posee una casilla donde el usuario puede seleccionar los eventos que quiere simular y se muestra una breve definición del evento seleccionado. Se encuentra otra casilla donde se ponen las características del evento, la cual cambia los parámetros según el evento seleccionado. Cuenta además con una casilla donde se ingresan los parámetros del convertidor deseado, en esta se mostrará el número de escalones del convertidor de acuerdo a los niveles escogidos, el V_{RMS} calculado y los ángulos de disparo seleccionados por el algoritmo PSO. Y por último, cuenta con tres botones: Aplicar para ingresar

todos los datos, Graficar para construir las gráficas de cada evento y obtener los datos de tiempo y magnitud, los cuales son necesarios para el siguiente botón que es Simular, el cual envía los datos obtenidos de Graficar a un programa de Simulink en donde se simula y se hace la respectiva verificación del evento simulado.

7.2. Depresión de voltaje (*sag*)

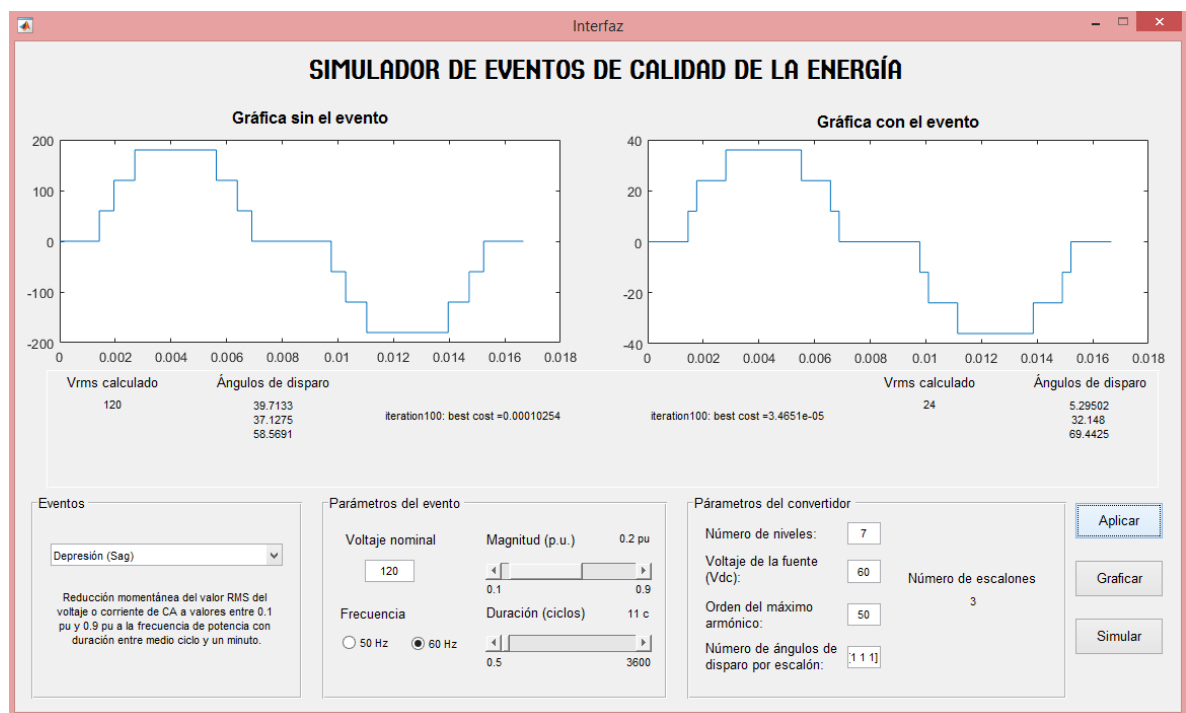


Figura 7.3: Interfaz gráfica del simulador de eventos para *sag*. Fuente: *Elaboración propia*.

En la Figura 7.3 se muestra un ejemplo de la forma en la que se deben llenar las casillas para este evento en específico. Se observa que los límites para magnitud (pu) y duración (ciclos) son entre 0.1 a 0.9 pu y 0.5 a 3600 ciclos (1 min) respectivamente como lo estipula el estándar IEEE 1159 de 1995.

En el ejemplo expuesto, se puede observar que el error arrojado para la gráfica sin el evento y la del con el evento da 0.00010254 y 3.2851e-05 respectivamente,

lo cual es muy cercano a cero. Por tanto el voltaje RMS calculado para la primera gráfica es de 120, y para la segunda gráfica sería 24, el cual es el resultado deseado debido a que se escogió una magnitud del 20% del voltaje nominal.

7.3. Elevación de voltaje (*swell*)

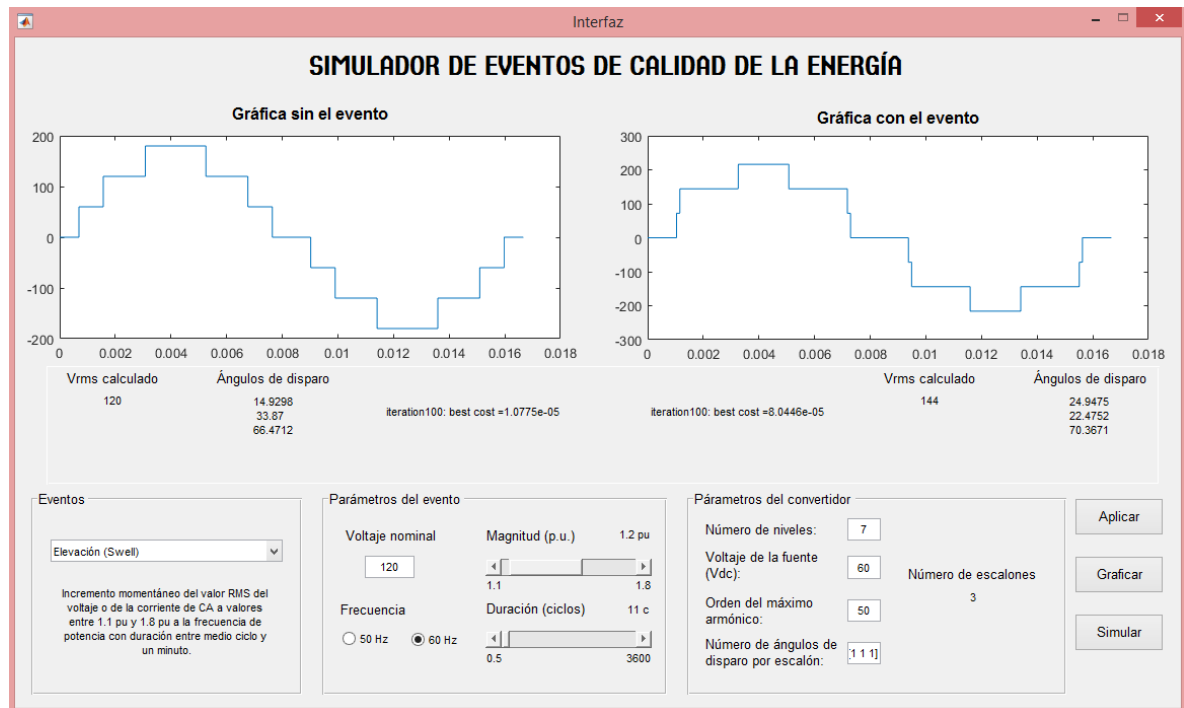


Figura 7.4: Interfaz gráfica del simulador de eventos para *swell*. Fuente: *Elaboración propia*.

En la Figura 7.4 se muestra un ejemplo de la forma en la que se deben llenar las casillas para este evento en específico. Se observa que los límites para magnitud (pu) y duración (ciclos) son entre 1.1 a 1.8 pu y 0.5 a 3600 ciclos (1 min) respectivamente como lo estipula el estándar IEEE 1159 de 1995.

En el ejemplo expuesto, se puede observar que el error arrojado para la gráfica sin el evento y la del con el evento da 1.0775e-05 y 8.0446e-05 respectivamente, lo cual es muy cercano a cero. Por tanto el voltaje RMS calculado para la primera

gráfica es de 120, y para la segunda gráfica sería 144, el cual es el resultado deseado debido a que se escogió una magnitud del 120% del voltaje nominal.

7.4. Bajo voltaje (*undervoltage*)

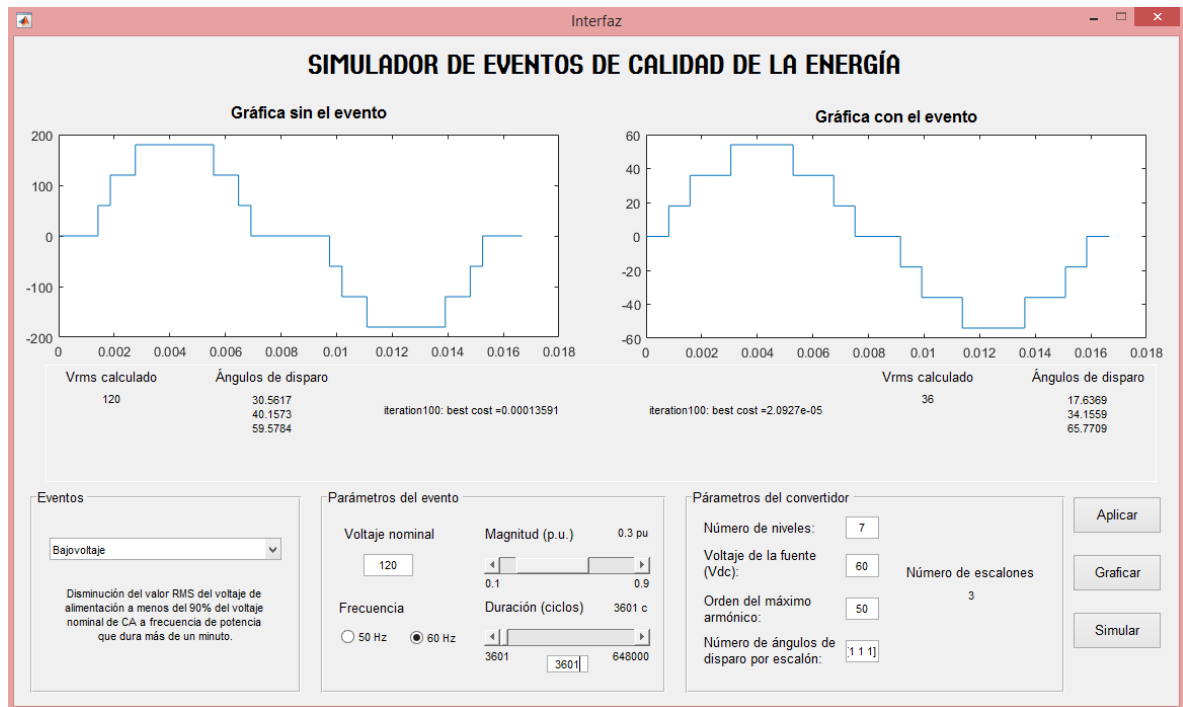


Figura 7.5: Interfaz gráfica del simulador de eventos para un bajo voltaje. *Fuente: Elaboración propia.*

En la Figura 7.5 se muestra un ejemplo de la forma en la que se deben llenar las casillas para este evento en específico. Se observa que los límites para magnitud y duración son entre 0.1 a 0.9 pu y valores mayores a 3600 ciclos (1 min) respectivamente como lo estipula el estándar IEEE 1159 de 1995.

En el ejemplo expuesto, se puede observar que el error arrojado para la gráfica sin el evento y la del con el evento da como resultado 0.00013591 y 2.0927e-05 respectivamente, lo cual es muy cercano a cero. Por tanto el voltaje RMS calculado para la primera gráfica es de 120, y para la segunda gráfica sería 36,

el cual es el resultado deseado debido a que se escogió una magnitud del 30% del voltaje nominal.

7.5. Sobrevoltaje (*overvoltage*)

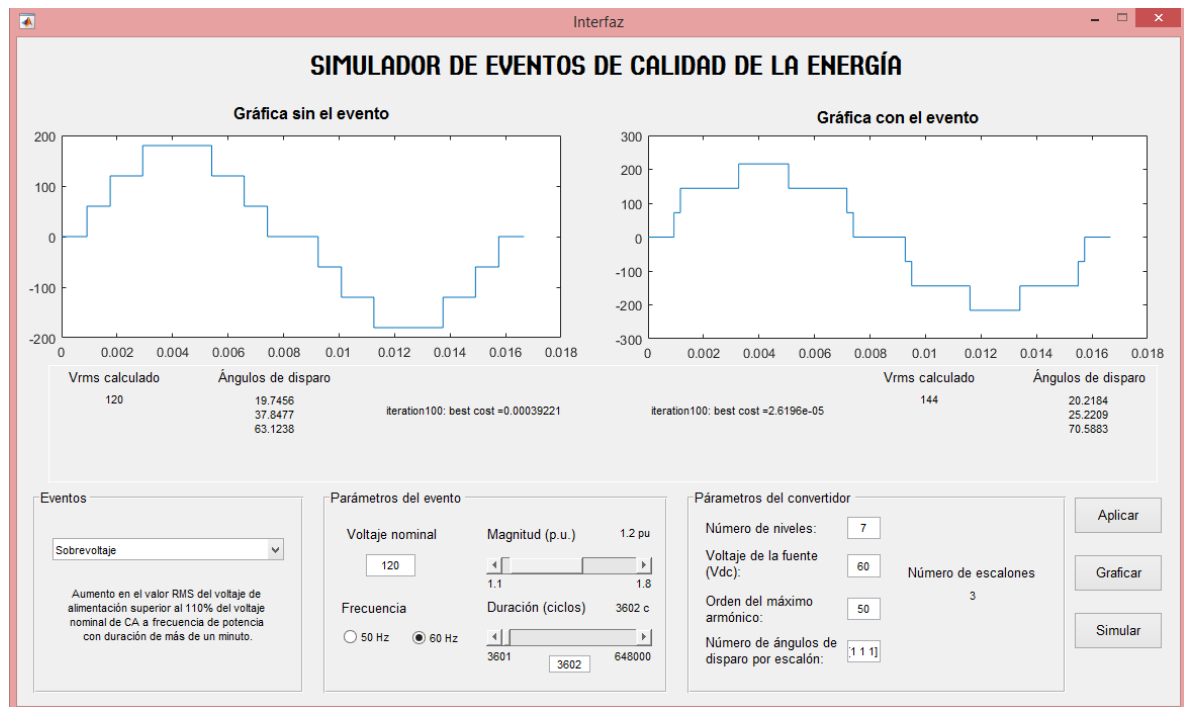


Figura 7.6: Interfaz gráfica del simulador de eventos para un sobrevoltaje. Fuente: *Elaboración propia*.

En la Figura 7.6 se muestra un ejemplo de la forma en la que se deben llenar las casillas para este evento en específico. Se observa que los límites para magnitud y duración son entre 1.1 a 1.8 pu y valores mayores a 3600 ciclos (1 min) respectivamente, como lo estipula el estándar IEEE 1159 de 1995.

En el ejemplo expuesto, se puede observar que el error arrojado para la gráfica sin el evento y la del con el evento da como resultado 0.00039221 y 2.6196e-05 respectivamente, lo cual es muy cercano a cero. Por tanto el voltaje RMS calculado para la primera gráfica es de 120, y para la segunda gráfica sería 144,

el cual corresponde al valor deseado debido a que se escogió una magnitud del 120% del voltaje nominal.

7.6. Interrupciones

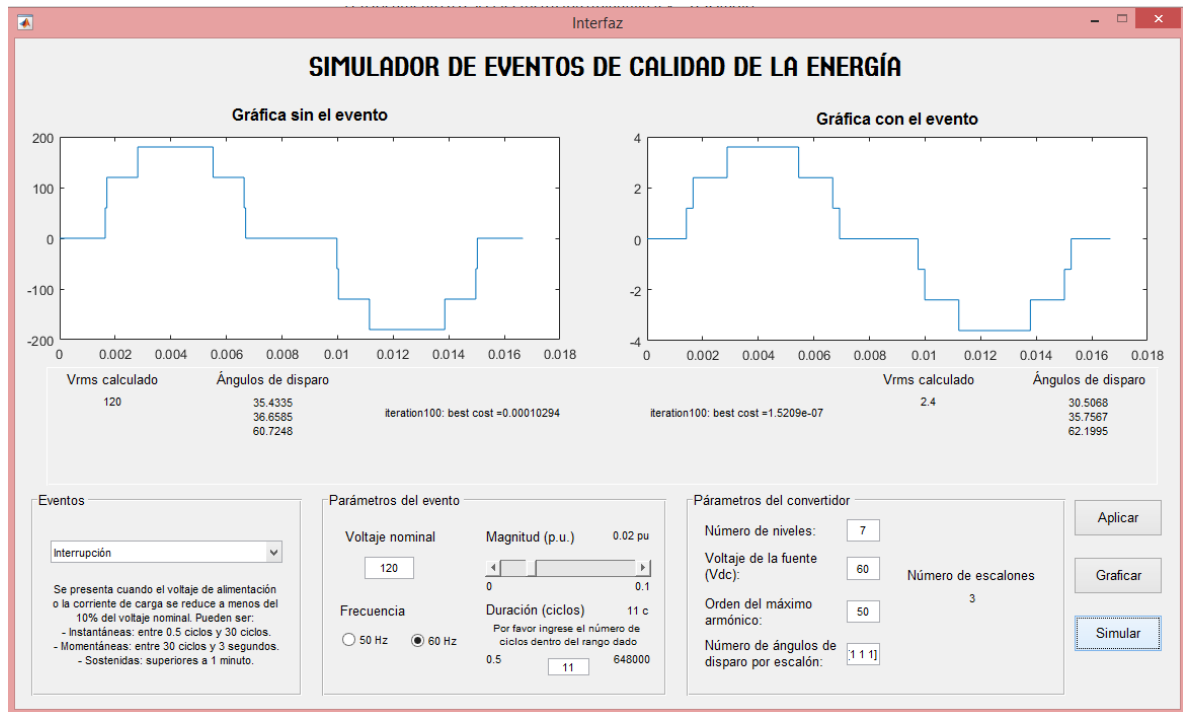


Figura 7.7: Interfaz gráfica del simulador de eventos para una interrupción instantánea. Fuente: *Elaboración propia*.

En la Figura 7.7 se muestra un ejemplo de la forma correcta en la que se deben llenar las casillas para este evento en específico. Se observa que los límites para magnitud y duración son entre 0 a 0.1 pu y valores de 0.5 a 1 min respectivamente como lo estipula el estándar IEEE 1159 de 1995.

En el ejemplo expuesto, se puede observar que el error arrojado para la gráfica sin el evento y la del con el evento da como resultado 0.00010294 y 1.5209e-07 respectivamente, lo cual es muy cercano a cero. Por tanto el voltaje RMS calculado para la primera gráfica es de 120, y para la segunda gráfica sería 2.4,

esto debido a que se escogió una interrupción instantánea (11 ciclos) con una magnitud del 2% del voltaje nominal.

7.7. Variación de frecuencia

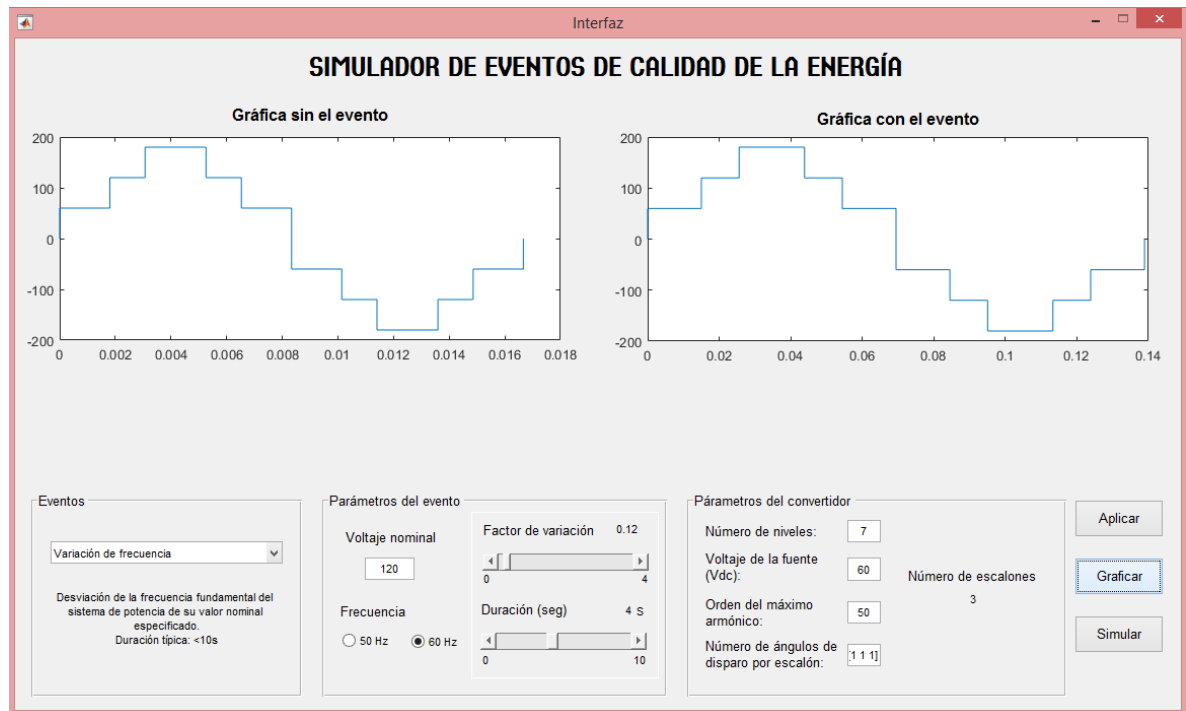


Figura 7.8: Interfaz gráfica del simulador de eventos para una variación de frecuencia. *Fuente: Elaboración propia.*

En la Figura 7.8 se muestra un ejemplo de la forma correcta en la que se deben llenar las casillas para este evento en específico. Se observa que solo se puede escoger de cero hasta cuatro veces la frecuencia fundamental, esto con la finalidad de no dar pie a valores exagerados de variaciones de frecuencia en la simulación, y la duración tiene un rango de cero a diez segundos como lo estipula el estándar IEEE 1159 de 1995.

En el ejemplo expuesto, se puede observar que al variar la frecuencia a una más pequeña, en este caso a 7.2 Hz, la onda se verá afectada por un incremento en la duración de los ciclos.

7.8. Armónicos

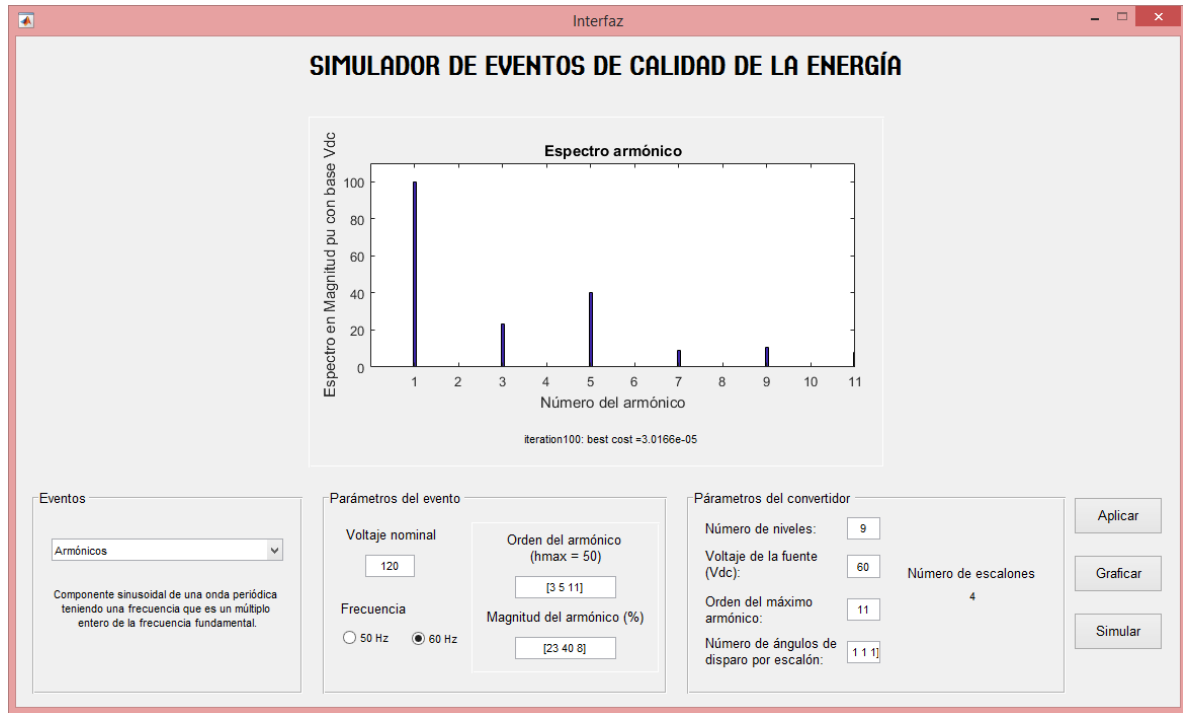


Figura 7.9: Interfaz gráfica del simulador de eventos para contenidos armónicos. Fuente: *Elaboración propia*.

En la Figura 7.9 se muestra un ejemplo de la forma correcta en la que se deben llenar las casillas para este evento en específico. Se observa que los parámetros de entrada del evento es el voltaje nominal, la frecuencia fundamental, el vector de los números de los armónicos que se quieren crear, y el vector de las magnitudes porcentuales de cada uno de los armónicos ingresados anteriormente, así como también se podrá llenar los parámetros del convertidor con valores por *default* o si, por el contrario, el usuario quiera unos parámetros específicos podrá hacerlo llenando cada uno de los *edit text*.

En el ejemplo expuesto, se puede observar que el error acumulado de las magnitudes para cada armónico fue de $3.0166e-05$, lo que se traduce a que obtuvo ángulos de disparos que generarán el contenido armónico deseado.

Validación de los eventos simulados

En el presente capítulo se mostrarán los resultados obtenidos para cada uno de los eventos de la calidad de la energía simulados y su respectiva validación.

8.1. Depresión de voltaje (sag)

En la Figura 8.1 se muestra la generación resultante de una depresión de voltaje con una magnitud de 24 V que corresponde al 20% del voltaje nominal (120 V), una frecuencia fundamental de 60 Hz y una duración de 11 ciclos (0.1833 segundos).

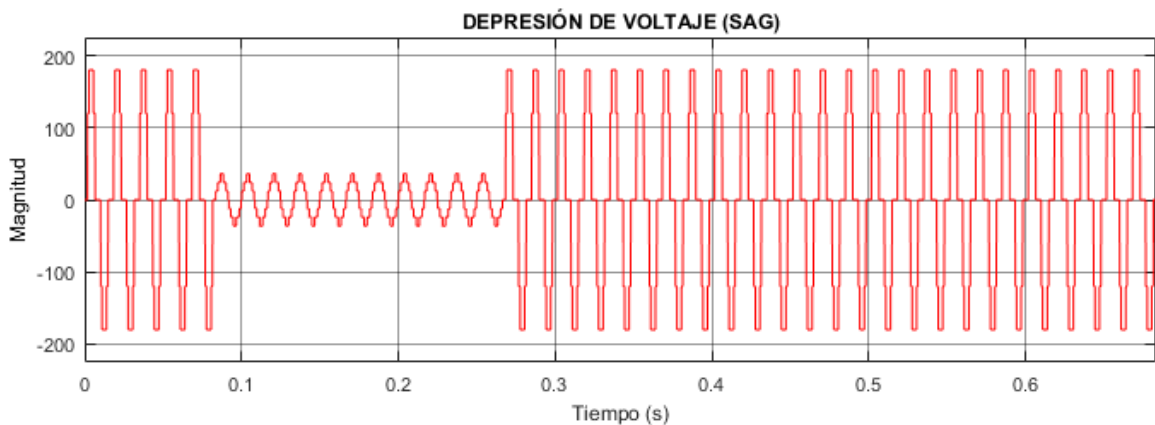


Figura 8.1: Gráfica resultante para la generación de una depresión de voltaje (sag). Fuente: *Elaboración propia*.

Para la validación de este evento se hizo uso del bloque RMS de la toolbox de Power Systems en el blockset de Simulink, así como también de un subsistema creado para verificar el valor RMS (ver Figura 8.2), el cual consiste en sumar las magnitudes de cada uno de los armónicos hasta el armónico máximo (ingresado

por el usuario, por *default* es 50), multiplicar la sumatoria por una ganancia de $1/2$ y sacarle la raíz cuadrada (ecuación 6.1).

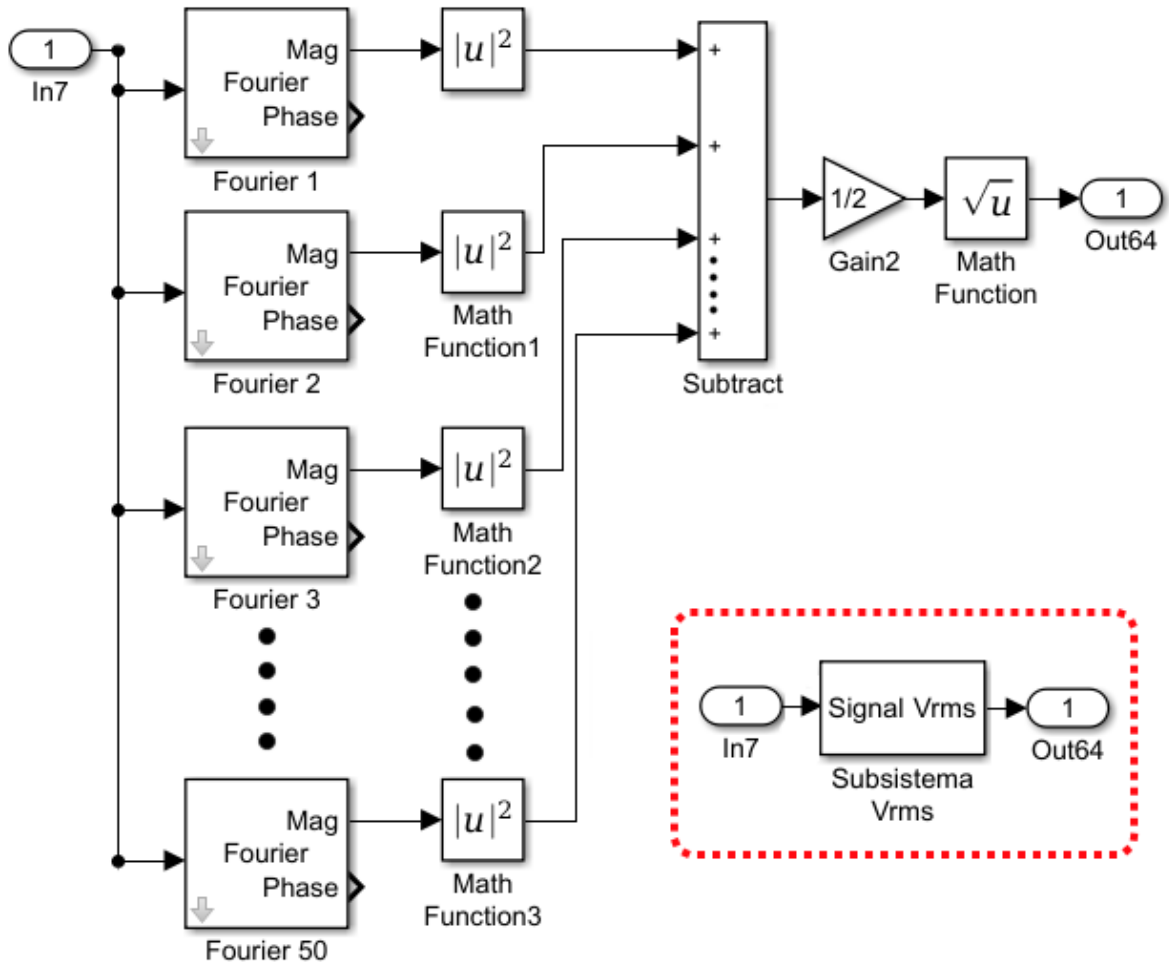


Figura 8.2: Subsistema creado para la validación de los eventos relacionados al VRMS. Fuente: *Elaboración propia*.

En la Figura 8.3 se puede observar que el VRMS de la depresión de voltaje simulada es 24.03 V, lo cual es un valor muy aproximado al deseado (24 V), dando un error relativo bastante bajo de 0.125%. Los límites de duración en la ocurrencia del evento fueron: 0.0833 y 0.2666 segundos, lo cual da un tiempo de duración del evento de 0.1833 segundos que traducido a ciclos correspondería aproximadamente a 11 ciclos, el cual fue el valor ingresado por el usuario.

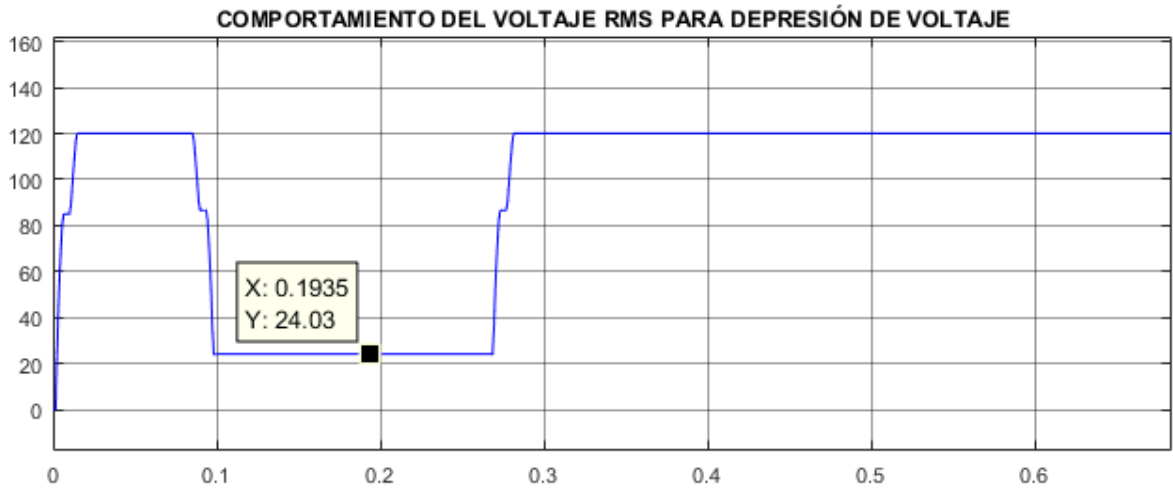


Figura 8.3: Validación del *sag* simulado con el bloque RMS de la librería Power System. *Fuente: Elaboración propia.*

8.2. Elevación de voltaje (*swell*)

En la Figura 8.4 se muestra la generación resultante de una elevación de voltaje con una magnitud de 144 V que corresponde al 120% del voltaje nominal (120 V), una frecuencia fundamental de 60 Hz y una duración de 11 ciclos (0.1833 segundos).

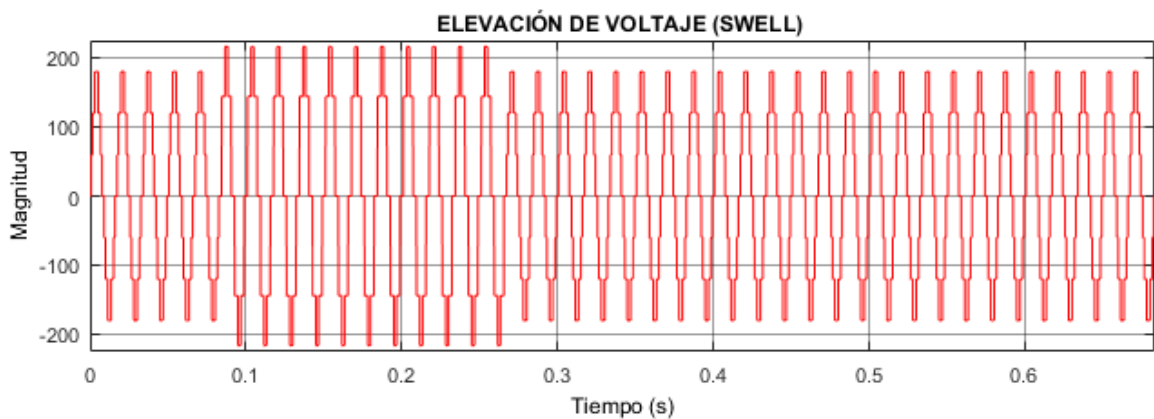


Figura 8.4: Gráfica resultante para la generación de una elevación de voltaje (*swell*). *Fuente: Elaboración propia.*

Para la validación de este evento se hizo uso del bloque RMS de la toolbox de

Power Systems en el blockset de Simulink, así como también de un subsistema creado para verificar el valor RMS (ver Figura 8.2), el cual consiste en sumar las magnitudes de cada uno de los armónicos hasta el armónico máximo (ingresado por el usuario, por *default* es 50), multiplicar la sumatoria por una ganancia de $1/2$ y sacarle la raíz cuadrada (ecuación 6.1).

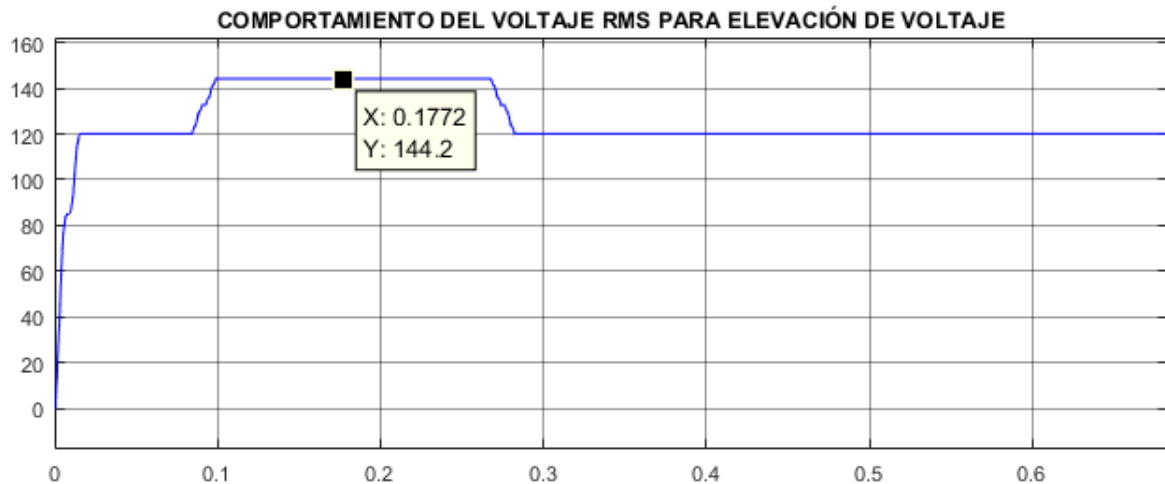


Figura 8.5: Validación del *swell* simulado con el bloque RMS de la librería Power System. *Fuente: Elaboración propia.*

En la Figura 8.5 se puede observar que el VRMS de la depresión de voltaje simulada es 144.2 V, lo cual es un valor muy aproximado al deseado (144 V), dando un error relativo bastante bajo de 0.138%. Los límites de duración en la ocurrencia del evento fueron: 0.0833 y 0.2666 segundos, lo cual da un tiempo de duración del evento de 0.1833 segundos que traducido a ciclos correspondería aproximadamente a 11 ciclos, el cual fue el valor ingresado por el usuario.

8.3. Bajo voltaje (*undervoltage*)

En la Figura 8.6 se muestra el bajo voltaje simulado con una magnitud de 36 V que corresponde al 30% del voltaje nominal (120 V), una frecuencia fundamental de 60 Hz y una duración de 3601 ciclos (aproximadamente 1 minuto).

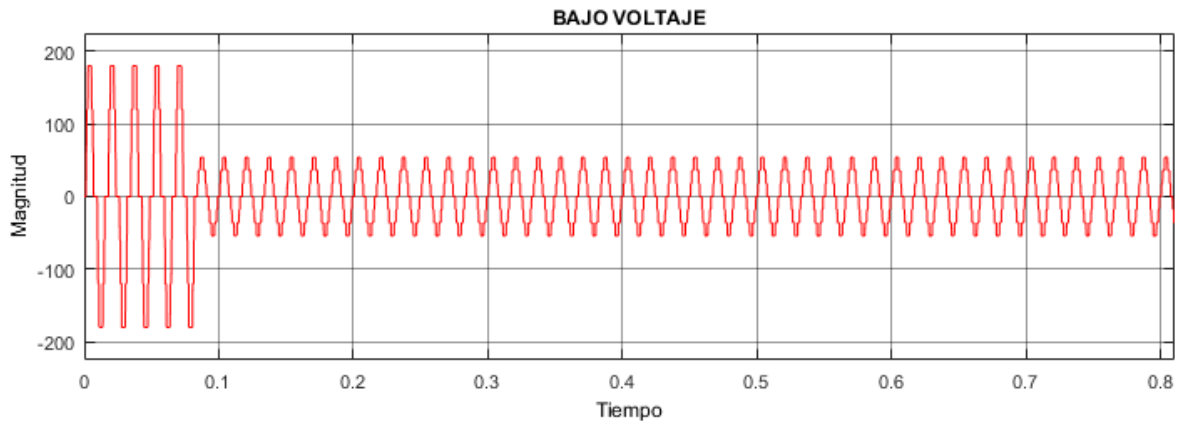


Figura 8.6: Gráfica resultante para la generación de un bajo voltaje (*undervoltage*). Fuente: *Elaboración propia*.

Para la validación de este evento se hizo uso del bloque RMS de la toolbox de Power Systems en el blockset de Simulink, así como también de un subsistema creado para verificar el valor RMS (ver Figura 8.2), el cual consiste en sumar las magnitudes de cada uno de los armónicos hasta el armónico máximo (ingresado por el usuario, por *default* es 50), multiplicar la sumatoria por una ganancia de $1/2$ y sacarle la raíz cuadrada (ecuación 6.1).



Figura 8.7: Validación del bajo voltaje simulado con el bloque RMS de la librería Power System. Fuente: *Elaboración propia*.

En la Figura 8.7 se puede observar que el VRMS de la depresión de voltaje

simulada es 36.05 V, lo cual es un valor muy aproximado al deseado (36 V), dando un error relativo bastante bajo de 0.138%. El tiempo de duración de este evento fue de aproximadamente 1 minuto que traducido a ciclos correspondería a 3601 ciclos, el cual fue el valor ingresado por el usuario.

8.4. Sobrevoltaje (*overvoltage*)

En la Figura 8.8 se muestra la generación resultante de un bajo voltaje con una magnitud de 144 V que corresponde al 120% del voltaje nominal (120 V), una frecuencia fundamental de 60 Hz y una duración de 3602 ciclos (aproximadamente 1 minuto).

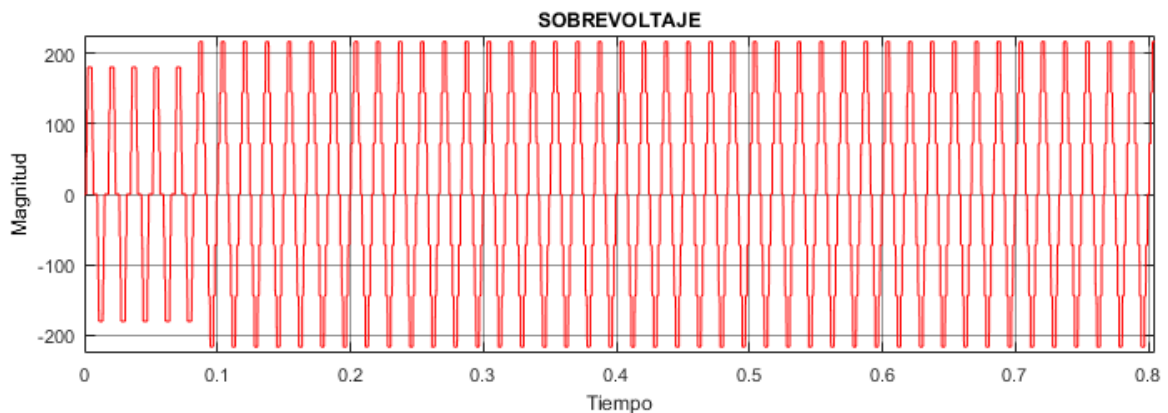


Figura 8.8: Gráfica resultante para la generación de un sobrevoltaje (*overvoltage*). Fuente: *Elaboración propia*.

Para la validación de este evento se hizo uso del bloque RMS de la toolbox de Power Systems en el blockset de Simulink, así como también de un subsistema creado para verificar el valor RMS (ver Figura 8.2), el cual consiste en sumar las magnitudes de cada uno de los armónicos hasta el armónico máximo (ingresado por el usuario, por *default* es 50), multiplicar la sumatoria por una ganancia de $1/2$ y sacarle la raíz cuadrada (ecuación 6.1).

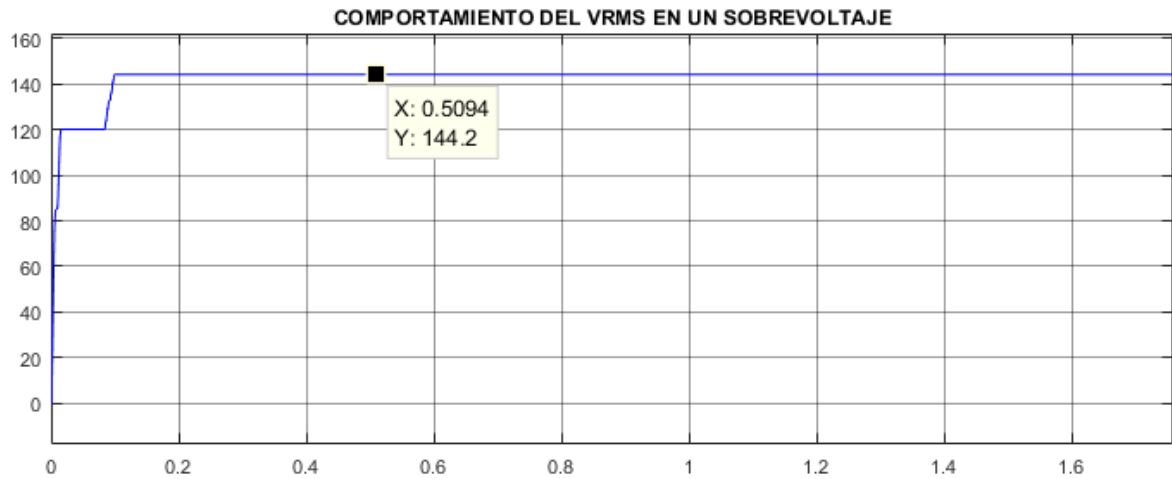


Figura 8.9: Validación del sobrevoltaje simulado con el bloque RMS de la librería Power System. *Fuente: Elaboración propia.*

En la Figura 8.9 se puede observar que el VRMS de la depresión de voltaje simulada es 144.2 V, lo cual es un valor muy aproximado al deseado (144 V), dando un error relativo bastante bajo de 0.138%. El tiempo de duración de este evento fue de aproximadamente 1 minuto que traducido a ciclos correspondería a 3602 ciclos, el cual fue el valor ingresado por el usuario.

8.5. Interrupciones

En la Figura 8.10 se muestra la generación resultante de un bajo voltaje con una magnitud de 2.4 V que corresponde al 2% del voltaje nominal (120 V), una frecuencia fundamental de 60 Hz y una duración de 11 ciclos (0.1833 segundos).

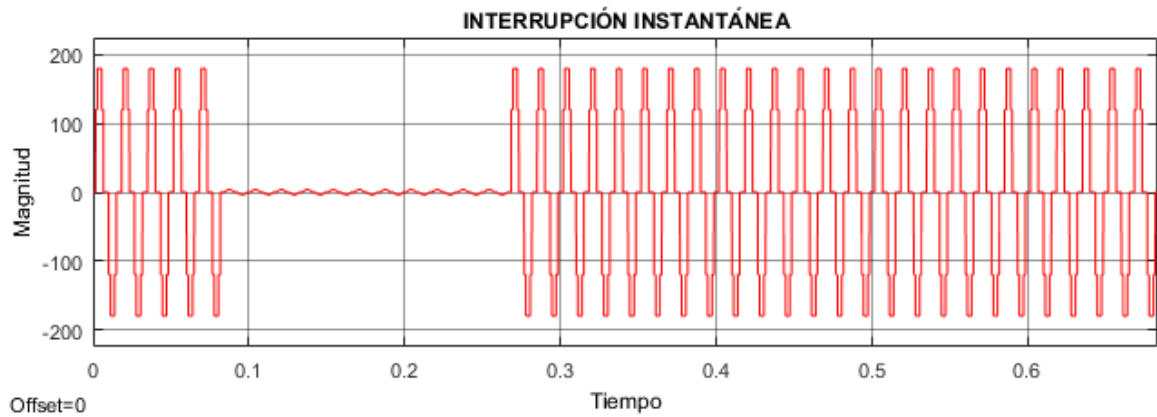


Figura 8.10: Gráfica resultante para la generación de una Interrupciones (tipo instantánea). *Fuente: Elaboración propia.*

Para la validación de este evento se hizo uso del bloque RMS de la toolbox de Power Systems en el blockset de Simulink, así como también de un subsistema creado para verificar el valor RMS (ver Figura 8.2), el cual consiste en sumar las magnitudes de cada uno de los armónicos hasta el armónico máximo (ingresado por el usuario, por *default* es 50), multiplicar la sumatoria por una ganancia de $1/2$ y sacarle la raíz cuadrada (ecuación 6.1).

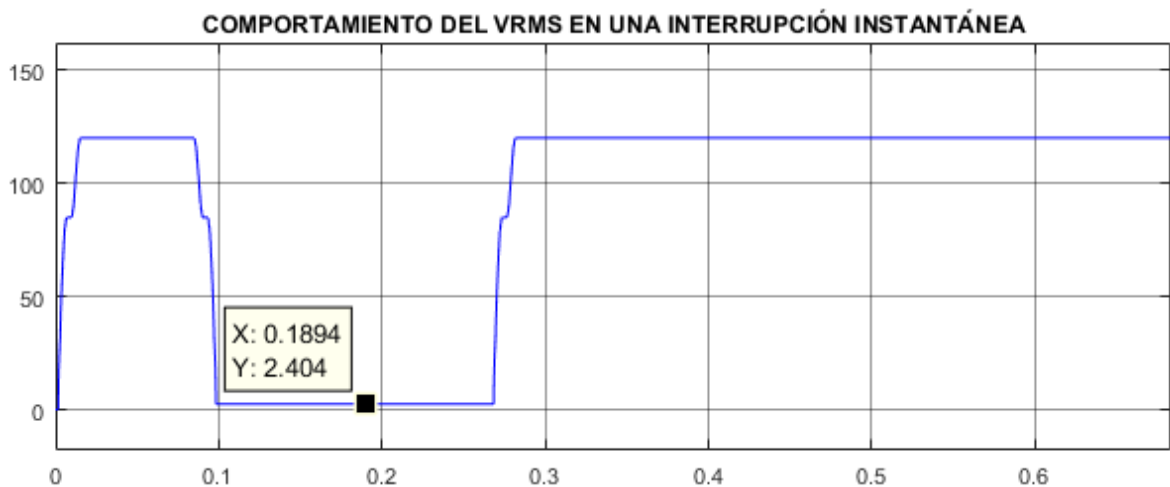


Figura 8.11: Validación de una interrupción de tipo instantánea simulada con el bloque RMS de la librería Power System. *Fuente: Elaboración propia.*

En la Figura 8.11 se puede observar que el VRMS de la depresión de voltaje

simulada es 2.404 V, lo cual es un valor muy aproximado al deseado (2.4 V), dando un error relativo bastante bajo de 0.166%. Los límites de duración en la ocurrencia del evento fueron: 0.0833 y 0.2666 segundos, lo cual da un tiempo de duración del evento de 0.1833 segundos que traducido a ciclos correspondería aproximadamente a 11 ciclos, el cual fue el valor ingresado por el usuario.

8.6. Variación de frecuencia

En la Figura 8.12 se muestra la generación resultante de una variación de frecuencia con un factor de variación de 0.12 veces la frecuencia fundamental (60 Hz), es decir con una frecuencia de 7.2 Hz, un voltaje nominal de 120 V y una duración de 4 segundos.

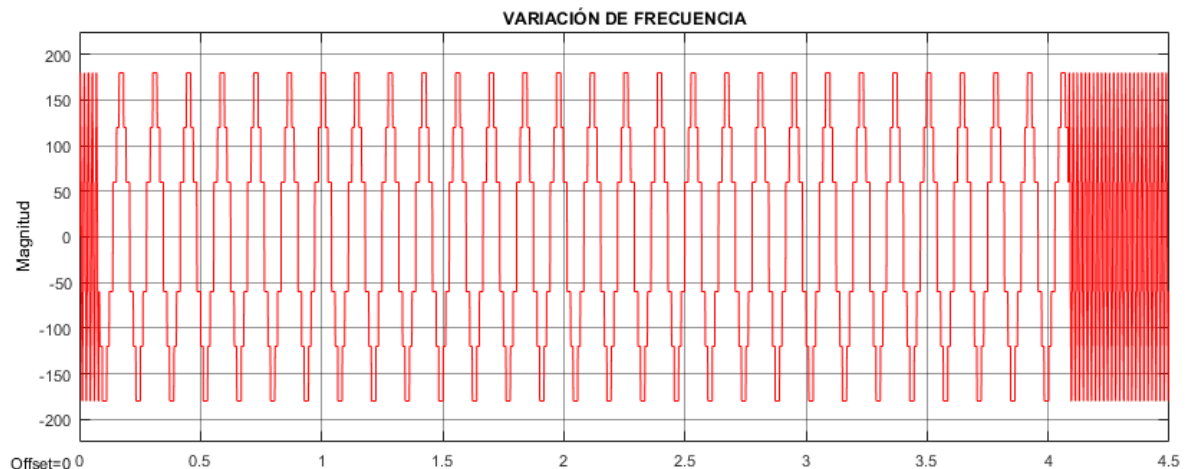


Figura 8.12: Gráfica resultante del evento para una variación de frecuencia de 0.12 veces la frecuencia fundamental (60 Hz) con duración de 4 segundos. *Fuente: Elaboración propia.*

La validación de este evento se puede observar en la Figura 8.13. Para esto con ayuda de la herramienta “*Cursor Measurements*” se tomaron dos puntos en dos picos contiguos de la onda del evento con el fin de hallar el periodo, teniendo el periodo se obtiene la frecuencia con la ecuación 8.1 dando como resultado lo resaltado en color rojo 7.2 Hz, el cual es el valor al que el usuario varió la frecuencia.

$$f = \frac{1}{\Delta T} \quad (8.1)$$

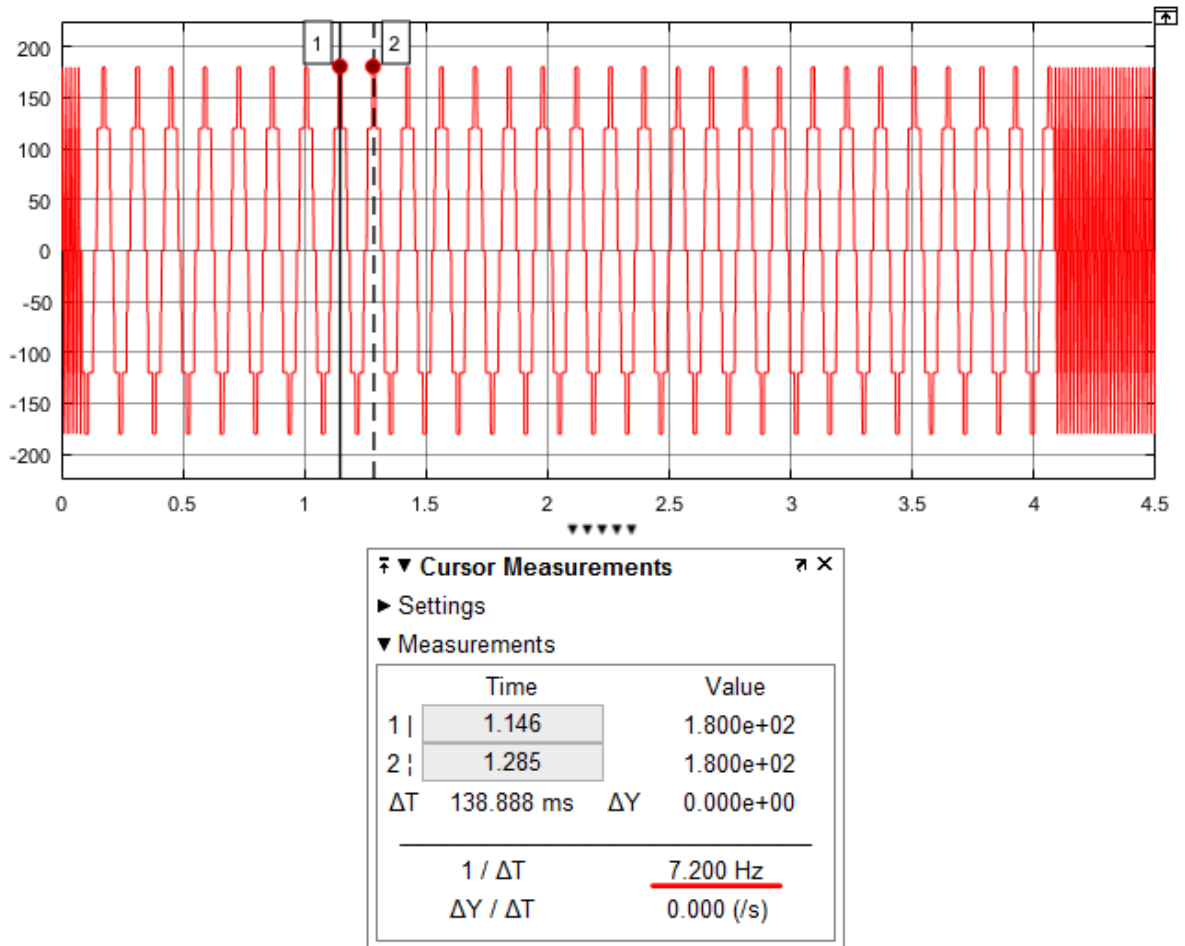


Figura 8.13: Validación de una variación de frecuencia simulada. *Fuente: Elaboración propia.*

8.7. Armónicos

En la Figura 8.14 se muestra la generación del armónico 3, 5 y 11 con magnitudes del 23%, 40% y 18% de la fundamental respectivamente, un voltaje nominal de 120 V y frecuencia fundamental de 60 Hz.

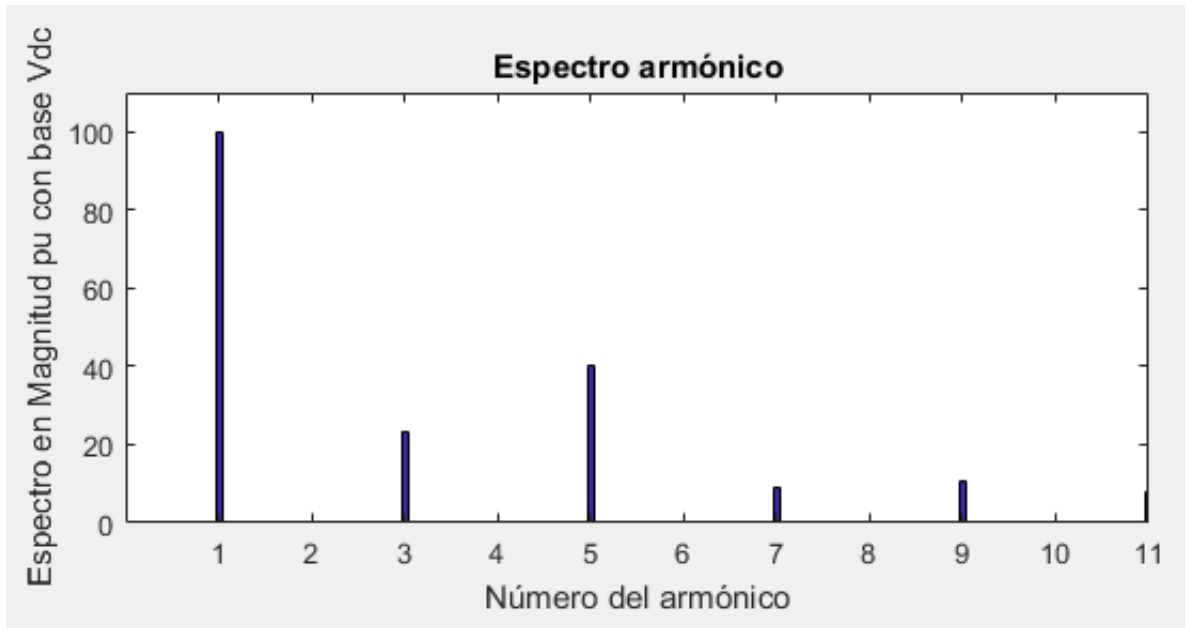


Figura 8.14: Gráfica resultante del contenido armónico para los datos ingresados por el usuario. *Fuente: Elaboración propia.*

Al no verificar la existencia de otros armónicos en el algoritmo estos aparecerán, puesto que el algoritmo lo que hace es asegurarse de que la magnitud de los armónicos deseados se encuentren en el valor ingresado por el usuario. Los armónicos por fuera de los seleccionados no entrarán en la función objetivo del algoritmo PSO, por tanto la magnitud de ellos no se hace relevante para éste.

La validación de este evento consistió en obtener los datos de la generación del contenido armónico simulado (vector tiempo y vector magnitud) y evaluarlos en un bloque de análisis de la Transformada Rápida de Fourier *FFT* del programa Simulink.

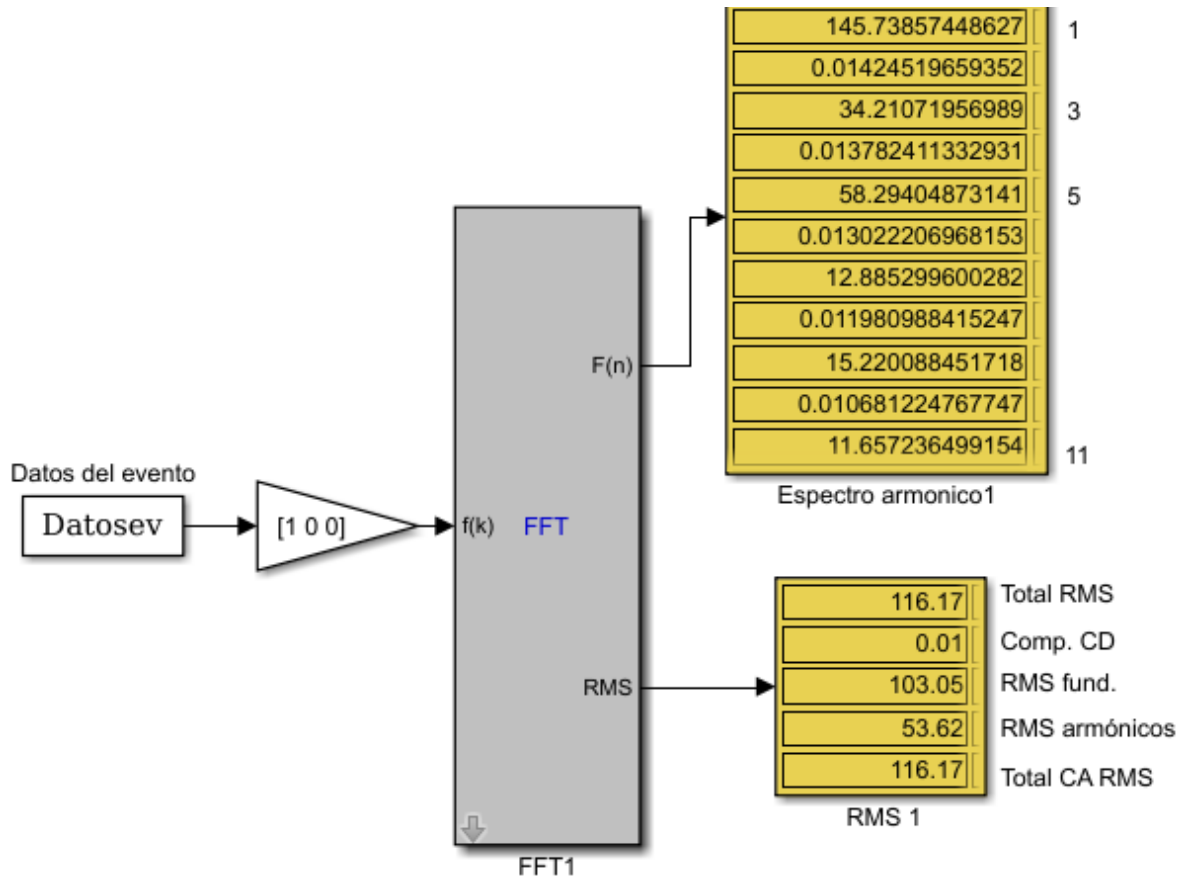


Figura 8.15: Validación del contenido armónico. *Fuente: Elaboración propia.*

En la Figura 8.15 se muestra el esquema en Simulink utilizado para la validación; la entrada son los datos del evento y la salida son los análisis dados por el bloque *FFT*, junto con los valores RMS. Se puede observar que la magnitud de la fundamental es de 145.7385, la del tercer armónico es 34.2107, la del quinto armónico es 58,2940 y la del onceavo armónico es de 11.6572. Tomando como el 100% la magnitud de la fundamental, el porcentaje para los anteriores armónicos con respecto al armónico uno se puede calcular con la expresión de la ecuación 8.2, dando como resultado 23.474% para el armónico 3, 39.999% para el armónico 5 y 7.998% para el armónico 11, por lo tanto los valores resultantes no se alejan demasiado de los ingresados.

$$Magnitud\% = \frac{Magnitud_{h1}}{Magnitud_{hn}} * 100 \quad (8.2)$$

En la Figura 8.16 se muestra el espectro armónico arrojado por el bloque *FFT*, en el cual se observa una gráfica muy similar a la obtenida en la Figura 8.14, con la salvedad que en ésta las magnitudes no se encuentran expresadas en porcentaje sino en base al parámetro “*Base peak*”.

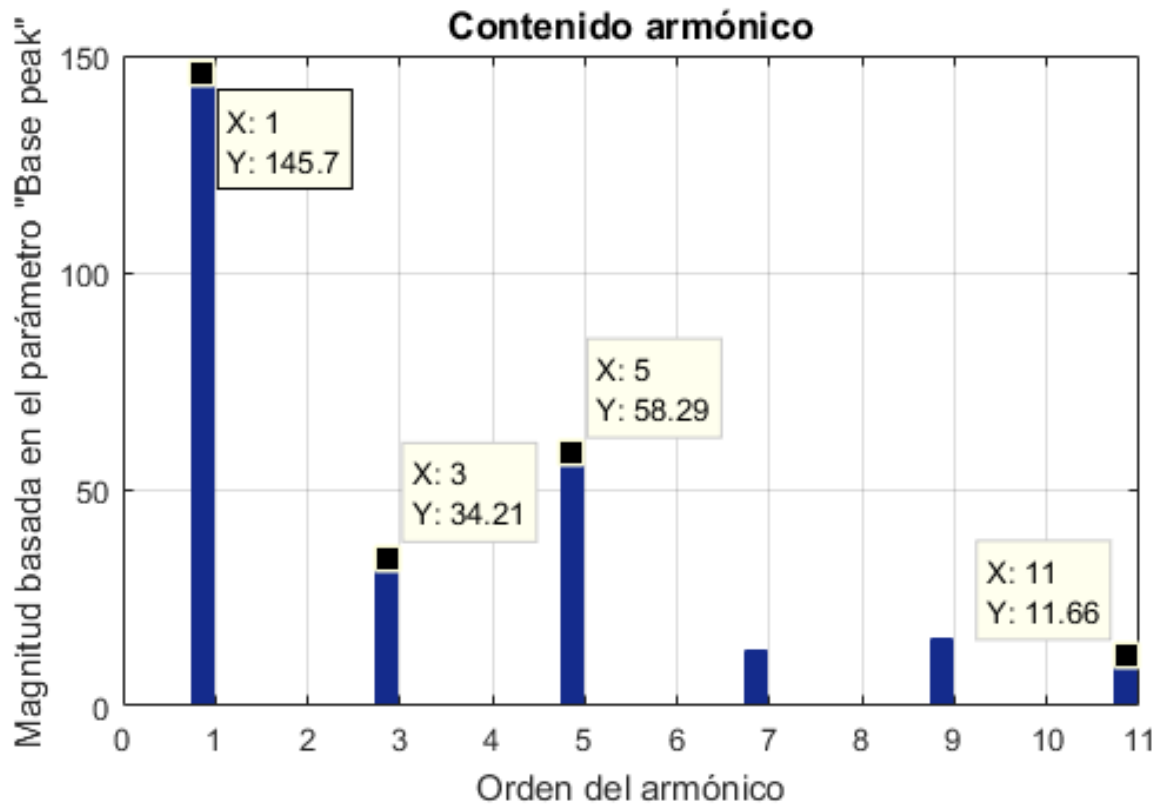


Figura 8.16: Espectro armónico obtenido de la validación del contenido armónico.
Fuente: Elaboración propia.

Conclusiones

- Con este simulador se propuso una herramienta para estudiar diferentes eventos de calidad de la energía que servirá de guía para que en implementaciones futuras se pueda observar el comportamiento de diferentes dispositivos ante tales eventos.
- Se valida el algoritmo PSO como una estrategia alternativa con resultados positivos en cuanto a la estimación de ángulos de disparos para convertidores con valores de voltaje RMS ya dados.
- Para el contenido armónico se logró simular los armónicos dados por el usuario, sin embargo no se primó para que solo aparecieran estos, por lo cual con los ángulos hallados se pueden encontrar armónicos diferentes a los deseados.
- Como trabajo a futuro se pueden agregar más de una función objetivo para cada uno de los eventos simulados, pero se tendría que tener en cuenta que el algoritmo PSO requerirá más tiempo en hallar los valores de ángulo de disparo, debido a que necesita más espacio de almacenamiento; y además, puede que en algunos casos no llegue a converger con un error mínimo.

Bibliografía

- [1] Bingham, Richard P.: *Measurement instruments for power quality monitoring*. En *Transmission and Distribution Exposition Conference: 2008 IEEE PES Powering Toward the Future, PIMS*, páginas 1–3, Chicago, USA, 2008. IEEE, ISBN 9781424419036.
- [2] IEEE: *IEEE Recommended Practice and Requirements for Harmonic Control in Electric Power Systems*. IEEE Std 519-2014 (Revision of IEEE Std 519-1992), páginas 1–29, 2014.
- [3] OPAL-RT TECHNOLOGIES: *Online Store: Electrical Real-Time Simulation Systems*, 2018. <https://www.opal-rt.com/online-store/?category=hil-offers>.
- [4] Kezunovic, Mladen y Yuan Liao: *A novel software implementation concept for power quality study*. IEEE Transactions on Power Delivery, 17(2):544–549, 2002.
- [5] IEEE: *IEEE Recommended Practice for Monitoring Electric Power Quality*. IEEE Std 1159-2009 (Revision of IEEE Std 1159-1995), páginas 1–81, 2009.
- [6] Carrillo-Rojas, Galo, Juan Andrade-Rodas, Antonio Barragán-Escandón y Ana Astudillo-Alemán: *Impacto de programas de eficiencia energética eléctrica, estudio de caso: Empresas alimentarias en Cuenca, Ecuador*. DYNA (Colombia), 81(184):41–48, 2014, ISSN 00127353.
- [7] Kezunovic, Mladen y Yuan Liao: *A Novel Method for Equipment Sensitivity Study During Power Quality Events*. En *IEEE Power Engineering Society Winter Meeting*, páginas 993–998, Singapore, Singapore, 2000. IEEE.
- [8] Monedero, Iñigo, Carlos León, Jorge Roperó, José Luis De La Vega, Juan C. Montaña y José Manuel Elena: *A system for the generation and detection of*

- electrical disturbances*. En *Fourth IASTED International Conference Power And Energy System*, páginas 180–185, Rhodes, Grecia, 2004.
- [9] Eloy-García, Joaquin, Juan Carlos Vasquez y Josep M. Guerrero: *Grid simulator for power quality assessment of micro-grids*. IET Power Electronics, 6(4):700–709, 2013, ISSN 17554535.
- [10] Nahoum, Pamela, Emile Yammine, Elie Karam, Maged B. Najjar y Moustapha El Hassan: *Real generation of power quality disturbances*. En *Third International Conference on Technological Advances in Electrical, Electronics and Computer Engineering (TAECE)*, páginas 224–229, Beirut, Líbano, 2015. IEEE.
- [11] Chen, Cheng I., Chieh Yin Cheng y Yeong Chin Chen: *Design of programmable power-quality signal generator for power disturbance testing of consumer electronics*. En *2015 IEEE 4th Global Conference on Consumer Electronics, GCCE*, páginas 436–437, Osaka, Japón, 2015. IEEE, ISBN 9781479987511.
- [12] Inci, Mustafa, Tugce Demirdelen, Adnan Tan, Tahsin Köroglu, M. Ugras Cuma, K. Cagatay Bayindir y Mehmet Tümay: *A novel low cost sag/swell generator*. En *2015 IEEE 6th International Symposium on Power Electronics for Distributed Generation Systems, (PEDG)*, páginas 1–4, Aachen, Alemania, 2015. IEEE, ISBN 9781479985869.
- [13] Shen, Zhuoxuan, Tong Duan y Venkata Dinavahi: *Design and Implementation of Real-Time Mpsoc-FPGA-Based Electromagnetic Transient Emulator of CIGRÉ DC Grid for HIL Application*. IEEE Power and Energy Technology Systems Journal, 5(3):104–116, 2018, ISSN 2332-7707.
- [14] Ashourianjozdani, Mohammadhossein, Luiz A.C. Lopes y Pragasen Pillay: *Power Electronic Converter Based PMSG Emulator: A Testbed for Renewable Energy Experiments*. IEEE Transactions on Industry Applications, 54(4):3626–3636, 2018, ISSN 00939994.
- [15] Parizad, Ali, Sobhan Mohamadian, Mohamad Esmaeil Iranian y Josep M. Guerrero: *Power System Real-Time Emulation: A Practical Virtual Instru-*

- mentation to Complete Electric Power System Modeling*. IEEE Transactions on Industrial Informatics, 15(2):889–900, 2019, ISSN 15513203.
- [16] Saito, Kenichiro y Hirofumi Akagi: *A Real-Time Real-Power Emulator of a Medium-Voltage High-Speed Induction Motor Loaded With a Centrifugal Compressor*. IEEE Transactions on Industry Applications, 55(5):4821–4833, 2019, ISSN 0093-9994.
- [17] Comisión de Regulación de Energía y Gas CREG: *Resolución CREG 070-98. Reglamento de distribución de energía eléctrica*, 1998.
- [18] IEEE: *IEEE Recommended Practice for Powering and Grounding Sensitive Electronic Equipment*. IEEE Std 1100-2005 (Revision of IEEE Std 1100-1999), página 10, 2005.
- [19] IEC: *Electromagnetic compatibility (EMC) - Part 2-4: Environment - Compatibility levels in industrial plants for low-frequency conducted disturbances*. IEC Std 61000-2-4:2002, páginas 1–75, 2002.
- [20] Holguin, Marcos y David Gomezcoello: *Análisis de la calidad de energía eléctrica en el "Nuevo Campus" de la Universidad Politécnica Salesiana*. Tesis, Universidad Politécnica Salesiana, 2010. <https://dspace.ups.edu.ec/bitstream/123456789/2110/13/UPS-GT000145.pdf>.
- [21] Saucedo, Daniel, José Taxis y Zoar Flores: *Factores que afectan la calidad de la energía y su solución*. Tesis, Instituto Politécnico Nacional, 2008. <http://tesis.ipn.mx/bitstream/handle/123456789/429/FINALsauicedomtzt.pdf?sequence=1>.
- [22] Cuevas Bravo, David: *Calidad de la energía en los sistemas eléctricos de potencia*. Tesis, Universidad Nacional Autónoma de México, 2011. <https://es.scribd.com/document/389163629/Calidad-de-La-Energia-en-Los-Sistemas-Elctricos-de-Potencia>.
- [23] Ruggero, Bruno y M Sánchez: *Incidencias de Cargas no Lineales en Transformadores de Distribución*. Revista Científica de la UCSA, 1(1):33–51, 2014.

- [24] Herrera Heredia, Juan Carlos: *Determinación de la potencia de cargas no lineales*. Tesis, Escuela Politécnica Nacional, 1997. <https://bibdigital.epn.edu.ec/bitstream/15000/5992/1/T290.pdf>.
- [25] Martínez García, Salvador: *Nociones básicas sobre las cargas eléctricas*. En *Alimentación de equipos informáticos y otras cargas críticas*, capítulo 1, páginas 1–3. McGraw-Hill, Madrid, España, primera edición, 1992, ISBN 84-7615-920-X.
- [26] Sánchez Cortés, Miguel: *Calidad de la energía eléctrica*. Instituto Tecnológico de Puebla, Puebla, México, primera edición, 2009.
- [27] Zbigniew, H. y A. Bién: *Power Quality Application Guide*. En *Voltage Disturbances: Flicker Measurement*, página 12. Copper Development Association, Cracovia, Polonia, 2005.
- [28] Kim, Yong Jung y Hyosung Kim: *Optimal inductance ratio of LCL filter for grid connected inverters considering with low order harmonics*. En *IECON Proceedings (Industrial Electronics Conference)*, páginas 2355–2360, Florencia, Italia, 2016. IEEE, ISBN 9781509034741.
- [29] Rodriguez, J L D, L D P Fernandez y ...: *THD improvement of a PWM cascade multilevel power inverters using genetic algorithms as optimization method*. WSEAS Transactions on Power Systems, 10:46–54, 2015.
- [30] Diaz Rodriguez, Jorge Luis, Luis David Pabón Fernández y Jorge Luis Contreras Peña: *Low-cost platform for the evaluation of single phase electromagnetic phenomena of power quality according to the IEEE 1159 standard*. DYNA, 82(194):119–129, dec 2015, ISSN 2346-2183. <http://www.revistas.unal.edu.co/index.php/dyna/article/view/46922>.
- [31] Duarte, César y Jabid Quiroga: *Algoritmo PSO para identificación de parámetros en un motor DC*. Revista Facultad de Ingeniería, (55):116–124, 2010, ISSN 01206230.
- [32] Ali, Syed Saad Azhar, Ramani Kannan y M. Suresh Kumar: *Exploration of Modulation Index in Multi-level Inverter using Particle Swarm Optimiza-*

tion Algorithm. *Procedia Computer Science*, 105(December 2016):144–152, 2017, ISSN 18770509. <http://dx.doi.org/10.1016/j.procs.2017.01.194><https://linkinghub.elsevier.com/retrieve/pii/S1877050917302120>.

- [33] Kenney, James y Russell Eberhart: *Particle Swarm Optimization*. En *Proceedings of ICNN'95 - International Conference on Neural Networks*, páginas 1942–1948, Perth, Australia, 1995. IEEE, ISBN 0780327683.
- [34] Diaz Rodriguez, Jorge Luis, Luis David Pabon Fernandez y Edison Andres Caicedo Peñaranda: *Multiobjective Genetic Algorithm to Minimize the THD in Cascaded Multilevel Converters with V/F Control*. En *Applied Computer Sciences in Engineering. Communications in Computer and Information Science*., páginas 456–468. Cartagena, Colombia, 2017. http://link.springer.com/10.1007/978-3-319-66963-2_{_}41.

Función para el cálculo del voltaje RMS para la modulación

```
1  function VRMS = fun_VRMS(alpha ,V)
2
3  load valuestruct.mat
4
5  A = 0;
6  B = 0;
7  m = (k-1)/2;
8
9  for n = 1:2:hmax
10     for i = 1:m
11         for j = 1:L(i)
12             A = cosd(n*alpha(i))*(-1)^(j-1) + A;
13         end
14     end
15     i=0;
16     Amplitud = (A*((4*V)/(pi*n))); %Amplitud
17     B = (1/2)*(A*((4*V)/(pi*n)))^2 + B;
18     A = 0;
19     end
20
21 VRMS = B^(1/2);
22 end
```

Función objetivo para los eventos de la sección 6.2

```
1      function error = fun_eVRMS(alpha ,V)
2
3      load valuestruct.mat
4
5      A = 0;
6      B = 0;
7      m = (k-1)/2;
8
9      for n = 1:2:hmax
10         for i = 1:m
11             for j = 1:L(i)
12                 A = cosd(n*alpha(i))*(-1)^(j-1) + A;
13             end
14         end
15         i=0;
16         Amplitud = (A*((4*V)/(pi*n)));
17         B = (1/2)*(A*((4*V)/(pi*n)))^2 + B;
18         A = 0;
19         end
20
21     eVRMS = B^(1/2);
22     error = abs(VRMS - eVRMS);
23     end
```

Función para la generación de las gráficas de los eventos

```
1      function Datos = Const_grafica(alpha)
2
3      load valuestruct.mat
4
5      ciclo = [5 10000];
6      alpha = sort(alpha);
7      acum = 0; a = 1; ac = 1; j = 1; am = 1;
8      tam_L = length(L);
9
10     for i = 1:tam_L
11     acum = acum+L(i);
12     end
13
14     Vnegdesc = zeros(1,acum*2);
15     Vposdesc = zeros(1,acum*2);
16     Vnegasc = zeros(1,acum*2);
17     dob = zeros(1,acum*2);
18
19     %-----Vector estados/voltajes-----%
20     for n = 1:tam_L
21     for i = 1:L(n)
22     lvl(a) = rem(i,2) + (n-1);
23     a = a+1;
24     end
25     n=0;
26     end
27
```

```

28     lvl = [0 lvl];
29
30     dup = kron(lvl , ones(2,1));
31     rep_lvl = reshape(dup,1 , size(dup,1)*size(dup,2));
32
33     elim = rep_lvl(2:(length(rep_lvl)-2));
34
35     Vect_esc = [rep_lvl fliplr(elim) -elim -fliplr(rep_lvl)];
36     %-----%
37
38     %-----Vector angulos/tiempos-----%
39     for n = 1:tam_L
40     for i = 1:L(n)
41         d = alpha(am); %der cuarto de onda
42         posdesc(i) = (180-alpha(am)); %2do cuarto de onda
43         negdesc(i) = (180+alpha(am)); %3er cuarto de onda
44         negasc(i) = (360-alpha(am)); %4to cuarto de onda
45
46         dob(j) = d;
47         Vposdesc(j) = posdesc(i);
48         Vnegdesc(j) = negdesc(i);
49         Vnegasc(j) = negasc(i);
50         j = j+1;
51         dob(j) = d;
52         Vposdesc(j) = posdesc(i);
53         Vnegdesc(j) = negdesc(i);
54         Vnegasc(j) = negasc(i);
55         j = j+1;
56         am = am +1;
57     end
58     n = 0;
59     end
60
61     Vect_ang = [0 dob fliplr(Vposdesc) Vnegdesc fliplr(Vnegasc) 360];
62     %-----%
63
64     angcc = zeros(1,(length(Vect_ang)*ciclo(1)));
65     esccc = zeros(1,(length(Vect_esc)*ciclo(1)));
66     %-----PARA CINCO CICLOS-----%

```

```

67     for i = 1:ciclo(1)
68     for j = 1:length(Vect_ang)
69     angcc(ac) = Vect_ang(j)+360*(i-1);
70     esccc(ac) = Vect_esc(j);
71     ac = ac +1;
72     end
73     end
74     %-----%
75
76     angbc = zeros(1,(length(Vect_ang)*ciclo(1)));
77     escbc = zeros(1,(length(Vect_esc)*ciclo(1)));
78
79     %-----PARA BASTANTES CICLOS-----%
80     for i = 1:ciclo(2)
81     for j = 1:length(Vect_ang)
82     angbc(ac) = Vect_ang(j)+360*(i-1);
83     escbc(ac) = Vect_esc(j);
84     ac = ac +1;
85     end
86     end
87     %-----%
88
89     %.....Para un ciclo.....%
90     Datos.tc = Vect_ang/(f*360);
91     Datos.esc = Vect_esc;
92     %....Para 5 ciclos.....%
93     Datos.tcc = angcc/(f*360);
94     Datos.esccc = esccc;
95     %...Para muchos ciclos...%
96     Datos.tbc = angbc/(f*360);
97     Datos.escbc = escbc;
98     end

```

Función objetivo para el evento de contenido armónico

```
1  function eMAG = fun_eMAG_h(alpha)
2
3  load valuestruct.mat
4
5  eAmplitud = zeros(1,length(Amplitud));
6
7  y = 1;
8  A = 0;
9  acum = 0;
10 m = (k-1)/2;
11
12 for n = 1:2:hmax
13     if n == h(y)
14         for i = 1:m
15             for j = 1:L(i)
16                 A = cosd(h(y)*alpha(i))*(-1)^(j
17                     -1) + A;
18             end
19         end
20         i=0;
21         if n == 1
22             eAmplitud(y) = (A*((4*Vdc)/(pi*n)));
23         else
24             eAmplitud(y) = (A*((4*Vdc)/(pi*n)));
25             errorp = abs(Amplitud(y)-(eAmplitud(y)/
                eAmplitud(1))*100);
                acum = acum + errorp;
```

```
26             end
27             y = y + 1;
28             A = 0;
29         end
30     eMAG = acum;
31 end
```

Programación de la interfaz gráfica

```
1  function varargout = Interfaz(varargin)
2  %INTERFAZ MATLAB code file for Interfaz.fig
3  %    INTERFAZ, by itself, creates a new INTERFAZ or raises the
4  %    existing
5  %    singleton*.
6  %    H = INTERFAZ returns the handle to a new INTERFAZ or the
7  %    handle to
8  %    the existing singleton*.
9  %    INTERFAZ('Property','Value',...) creates a new INTERFAZ
10 %    using the
11 %    given property value pairs. Unrecognized properties are
12 %    passed via
13 %    varargin to Interfaz_OpeningFcn. This calling syntax
14 %    produces a
15 %    warning when there is an existing singleton*.
16 %
17 %    INTERFAZ('CALLBACK') and INTERFAZ('CALLBACK', hObject,...)
18 %    call the
19 %    local function named CALLBACK in INTERFAZ.M with the given
20 %    input
21 %    arguments.
22 %
23 %    *See GUI Options on GUIDE's Tools menu. Choose "GUI
24 %    allows only one
25 %    instance to run (singleton)".
26 %
27 % See also: GUIDE, GUIDATA, GUIHANDLES
28
29 % Edit the above text to modify the response to help Interfaz
```



```

24
25 % Last Modified by GUIDE v2.5 16-Jun-2020 15:00:01
26
27 % Begin initialization code - DO NOT EDIT
28 gui_Singleton = 1;
29 gui_State = struct('gui_Name',           mfilename, ...
30 'gui_Singleton',  gui_Singleton, ...
31 'gui_OpeningFcn', @Interfaz_OpeningFcn, ...
32 'gui_OutputFcn',  @Interfaz_OutputFcn, ...
33 'gui_LayoutFcn',  [], ...
34 'gui_Callback',   []);
35 if nargin && ischar(varargin{1})
36     gui_State.gui_Callback = str2func(varargin{1});
37 end
38
39 if narginout
40     [varargout{1:narginout}] = gui_mainfcn(gui_State, varargin{:});
41 else
42     gui_mainfcn(gui_State, varargin{:});
43 end
44 % End initialization code - DO NOT EDIT
45
46
47 % --- Executes just before Interfaz is made visible.
48 function Interfaz_OpeningFcn(hObject, eventdata, handles,
49     varargin)
50 % This function has no output args, see OutputFcn.
51 % hObject    handle to figure
52 % eventdata  reserved - to be defined in a future version of
53 %             MATLAB
54 % handles    structure with handles and user data (see GUIDATA)
55 % varargin   unrecognized PropertyName/PropertyValue pairs from
56 %             the
57 %             command line (see VARARGIN)
58
59 % Choose default command line output for Interfaz
handles.output = hObject;
60
61 % Update handles structure

```

```

60     guidata(hObject, handles);
61
62     % UIWAIT makes Interfaz wait for user response (see UIRESUME)
63     % uiwait(handles.figure1);
64
65
66     % --- Outputs from this function are returned to the command line
67     .
68     function varargout = Interfaz_OutputFcn(hObject, eventdata,
        handles)
69     % varargout cell array for returning output args (see VARARGOUT)
70     ;
71     % hObject handle to figure
72     % eventdata reserved - to be defined in a future version of
        MATLAB
73     % handles structure with handles and user data (see GUIDATA)
74
75     % Get default command line output from handles structure
76     varargout{1} = handles.output;
77
78     function edit3_Callback(hObject, eventdata, handles)
79     % hObject handle to edit3 (see GCBO)
80     % eventdata reserved - to be defined in a future version of
        MATLAB
81     % handles structure with handles and user data (see GUIDATA)
82
83     % --- Executes during object creation, after setting all
        properties.
84     function edit3_CreateFcn(hObject, eventdata, handles)
85     % hObject handle to edit3 (see GCBO)
86     % eventdata reserved - to be defined in a future version of
        MATLAB
87     % handles empty - handles not created until after all
        CreateFcns called
88
89     % Hint: edit controls usually have a white background on Windows.
90     % See ISPC and COMPUTER.

```

```

91     if ispc && isequal(get(hObject, 'BackgroundColor'), get(0, '
           defaultUicontrolBackgroundColor'))
92     set(hObject, 'BackgroundColor', 'white');
93     end
94
95
96     % --- Executes on button press in pushParEv1.
97     function pushParEv1_Callback(hObject, eventdata, handles)
98
99     %-----ESCOGER VALOR PU, F, DURACION SEGUN EVENTO
           -----%
100    contents = get(handles.popupChoice, 'String');
101    popChoice = contents{get(handles.popupChoice, 'Value')};
102    switch popChoice
103    case {'Depresion_(Sag)'}
104        param.pu=round(get(handles.magnitud, 'Value'),1);
105        sel = get(get(handles.uibuttongroupf, 'SelectedObject'), 'String');
106        if sel == '50_Hz'
107            f = 50;
108            min = 0.5;
109            max = 60*f;
110            set(handles.duracion, 'SliderStep', [1,1]/(max-min));
111            duracion=round(get(handles.duracion, 'Value'));
112            else
113                f = 60;
114                min = 0.5;
115                max = 60*f;
116                set(handles.duracion, 'SliderStep', [1,1]/(max-min));
117                duracion=round(get(handles.duracion, 'Value'));
118            end
119    case {'Elevacion_(Swell)'}
120        param.pu=round(get(handles.magnitud2, 'Value'),1);
121        sel = get(get(handles.uibuttongroupf, 'SelectedObject'), 'String');
122        if sel == '50_Hz'
123            f = 50;
124            min = 0.5;
125            max = 60*f;
126            set(handles.duracion, 'SliderStep', [1,1]/(max-min));
127            duracion=round(get(handles.duracion, 'Value'));

```

```

128     else
129         f = 60;
130         min = 0.5;
131         max = 60*f;
132         set(handles.duracion, 'SliderStep',[1,1]/(max-min));
133         duracion=round(get(handles.duracion, 'Value'));
134         end
135         case {'Bajovoltaje'}
136             param.pu=round(get(handles.magnitud, 'Value'),1);
137             sel = get(get(handles.uibuttongroupf, 'SelectedObject'),'String');
138             if sel == '50_Hz'
139                 f = 50;
140                 min = (60*f)+1;
141                 max = 10800*f;
142                 set(handles.duracion2, 'SliderStep',[1,1]/(max-min));
143                 duracion=round(get(handles.duracion2, 'Value'));
144             else
145                 f = 60;
146                 min = (60*f)+1;
147                 max = 10800*f;
148                 set(handles.duracion2, 'SliderStep',[1,1]/(max-min));
149                 duracion=round(get(handles.duracion2, 'Value'));
150             end
151             case {'Sobrevoltaje'}
152                 param.pu=round(get(handles.magnitud2, 'Value'),1);
153                 sel = get(get(handles.uibuttongroupf, 'SelectedObject'),'String');
154                 if sel == '50_Hz'
155                     f = 50;
156                     min = (60*f)+1;
157                     max = 10800*f;
158                     set(handles.duracion2, 'SliderStep',[1,1]/(max-min));
159                     duracion=round(get(handles.duracion2, 'Value'));
160                 else
161                     f = 60;
162                     min = (60*f)+1;
163                     max = 10800*f;
164                     set(handles.duracion2, 'SliderStep',[1,1]/(max-min));
165                     duracion=round(get(handles.duracion2, 'Value'));
166                 end

```

```

167     case {'Interrupcion'}
168     param.pu=round(get(handles.magnitudint, 'Value'),2);
169     sel = get(get(handles.uibuttongroupf, 'SelectedObject'), 'String');
170     if sel == '50_Hz'
171     f = 50;
172     duracion = str2double(get(handles.numslider, 'String'));
173     else
174     f = 60;
175     duracion = str2double(get(handles.numslider, 'String'));
176     end
177     case {'Variacion_de_frecuencia'}
178     param.pu=round(get(handles.variacionf, 'Value'),2);
179     sel = get(get(handles.uibuttongroupf, 'SelectedObject'), 'String');
180     if sel == '50_Hz'
181     f = 50;
182     min = 0;
183     max = 10; %segundos
184     set(handles.duracionvar, 'SliderStep', [1,1]/(max-min));
185     duracion=round(get(handles.duracionvar, 'Value'));
186     else
187     f = 60;
188     min = 0;
189     max = 10; %segundos
190     set(handles.duracionvar, 'SliderStep', [1,1]/(max-min));
191     duracion=round(get(handles.duracionvar, 'Value'));
192     end
193     case {'Armonicos'}
194     sel = get(get(handles.uibuttongroupf, 'SelectedObject'), 'String');
195     if sel == '50_Hz'
196     f = 50;
197     else
198     f = 60;
199     end
200     end
201     %

```

```

202
203     contents = get(handles.popupChoice, 'String');

```

```

204     popChoice = contents(get(handles.popupChoice, 'Value'));
205     switch popChoice
206     case {'Depresion_(Sag)', 'Elevacion_(Swell)', 'Bajovoltaje', '
        Sobrevoltaje', 'Interrupcion'}
207     Vb = str2double(char(get(handles.Vb, 'String')));
208
209     param.VRMS = Vb; %Voltaje RMS nominal dado por el usuario
210     param.k = str2double(char(get(handles.k, 'String'))); %Niveles del
        conv.
211     param.Vdc = str2double(char(get(handles.Vdc, 'String'))); %Vdc
212     param.hmax = str2double(char(get(handles.hmax, 'String'))); %
        Numero max. de armonicos
213     param.L = str2num(char(get(handles.L, 'String'))); %Vector de
        angulos por escalon
214     param.f = f;
215     param.duracion = duracion;
216     param.popChoice = popChoice;
217
218     save('valuestruct.mat', '-struct', 'param');
219
220     f = waitbar(0, 'Please_wait...');
221     pause(.5)
222
223     %BOTON APLICAR, PSO PRINCIPAL PARA VRMS NORMAL
224
225     % Definicion del problema
226     acum = 0;
227     problem.costfunction = @(alpha, Vdc) fun_eVRMS(alpha, param.Vdc);
228     m=str2num(char(get(handles.k, 'String')));
229     tic
230     m=(m-1)/2;
231
232     set(handles.nesc, 'String', m);
233
234     for i = 1:length(param.L)
235     acum = acum+param.L(i);
236     end
237     problem.nvar = acum;
238

```

```

239     problem.varmin = 0;
240     problem.varmax = 90;
241
242     % Parametros para el algoritmo PSO
243     kappa=1;
244     phi1=2.05;
245     phi2=2.05;
246     phi=phi1+phi2;
247     chi=2*kappa/abs(2-phi-sqrt(phi^2-4*phi));
248     params.maxit = 100;
249     params.npop = 100;
250     params.w = chi;
251     params.wdamp=1;
252     params.c1 = chi*phi1;
253     params.c2 = chi*phi2;
254     params.showit=true;
255
256     % Llamar PSO
257     out= PSO(problem, params);
258     textlabel=out.textlabel;
259     set(handles.run, 'String', textlabel);
260     b=out.b;
261     VRMS_calc=fun_VRMS(b.position, param.Vdc);
262     alpha=b.position;
263
264     save('alpha.mat', 'alpha')
265
266     bestcosts=out.bestcosts;
267
268     set(handles.Vrms_calc, 'String', VRMS_calc);
269     set(handles.ang, 'String', alpha);
270
271     waitbar(.33, f, 'Searching_the_best_cost');
272     pause(1)
273
274     %BOTON APLICAR, PSO PRINCIPAL PARA VRMS DE LOS 5 PRIMEROS EVENTOS
275     param.VRMS = param.pu*Vb; %Voltaje RMS dado para el evento
276     param.Vdc1 = param.Vdc*param.pu;
277     save('valuestruct.mat', 'VRMS', 'Vdc1', '-append', '-struct', 'param')

```

```

278
279     problem.costfunction = @(alpha,Vdc1) fun_eVRMS(alpha,param.Vdc1);
280
281     % Llamar PSO
282     out= PSO(problem,params);
283     textlabel=out.textlabel;
284     set(handles.runev,'String',textlabel);
285     b=out.b;
286     VRMS_calc=fun_VRMS(b.position,param.Vdc1);
287     alphaev=b.position;
288
289     save('alphaev.mat','alphaev')
290
291     bestcosts=out.bestcosts;
292
293     %set(handles.run,'String',y);
294     set(handles.Vrms_calcev,'String',VRMS_calc);
295     set(handles.angev,'String',alphaev);
296
297     waitbar(.67,f,'Searching_the_best_cost');
298     pause(1)
299
300     waitbar(1,f,'Finishing');
301     pause(1)
302
303     close(f)
304
305     case {'Variacion_de_frecuencia'}
306         %BOTON APLICAR, PSO PRINCIPAL PARA VRMS NORMAL
307         Vb = str2double(char(get(handles.Vb,'String')));
308
309         param.VRMS = Vb; %Voltaje RMS nominal dado por el usuario
310         param.k = str2double(char(get(handles.k,'String'))); %Niveles del
            conv.
311         param.Vdc = str2double(char(get(handles.Vdc,'String'))); %Wdc
312         param.hmax = str2double(char(get(handles.hmax,'String'))); %
            Numero max. de armonicos
313         param.L = str2num(char(get(handles.L,'String'))); %Vector de
            angulos por escalon

```



```

314     param.f = f;
315     param.duracion = duracion;
316     param.popChoice = popChoice;
317
318     save('valuestruct.mat', '-struct', 'param');
319
320     f = waitbar(0, 'Please_wait... ');
321     pause(.5)
322
323     % Definicion del problema
324     acum = 0;
325     problem.costfunction = @(alpha, Vdc) fun_eVRMS(alpha, param.Vdc);
326     m=str2num(char(get(handles.k, 'String')));
327     tic
328     m=(m-1)/2;
329
330     set(handles.nesc, 'String', m);
331
332     for i = 1:length(param.L)
333     acum = acum+param.L(i);
334     end
335     problem.nvar = acum;
336
337     problem.varmin = 0;
338     problem.varmax = 90;
339
340     % Parametros para el algoritmo PSO
341     kappa=1;
342     phi1=2.05;
343     phi2=2.05;
344     phi=phi1+phi2;
345     chi=2*kappa/abs(2-phi-sqrt(phi^2-4*phi));
346     params.maxit = 100;
347     params.npop = 100;
348     params.w = chi;
349     params.wdamp=1;
350     params.c1 = chi*phi1;
351     params.c2 = chi*phi2;
352     params.showit=true;

```

```

353
354     % Llamar PSO
355     out= PSO(problem ,params);
356     textlabel=out.textlabel;
357     set(handles.run, 'String',textlabel);
358     b=out.b;
359     VRMS_calc=fun_VRMS(b.position ,param.Vdc);
360     alpha=b.position;
361
362     save('alpha.mat','alpha')
363
364     bestcosts=out.bestcosts;
365
366     set(handles.Vrms_calc,'String',VRMS_calc);
367     set(handles.ang,'String',alpha);
368
369     waitbar(.33,f,'Searching_the_best_cost');
370     pause(1)
371
372     waitbar(1,f,'Finishing');
373     pause(1)
374
375     close(f)
376
377     case {'Armonicos'}
378     Vb = str2double(char(get(handles.Vb,'String')));
379
380     param.VRMS = Vb; %Voltaje RMS nominal dado por el usuario
381     param.k = str2double(char(get(handles.k,'String'))); %Niveles del
           conv.
382     param.Vdc = str2double(char(get(handles.Vdc,'String'))); %Wdc
383     param.hmax = str2double(char(get(handles.hmax,'String'))); %
           Numero max. de armonicos
384     param.L = str2num(char(get(handles.L,'String'))); %Vector de
           angulos por escalon
385     param.h = str2num(char(get(handles.ordenh,'String'))); %Vector de
           orden de armonicos
386     param.Amplitud = str2num(char(get(handles.magnitudh,'String')));
           %Vector de magnitud de armonicos

```

```

387     param.f = f;
388     param.popChoice = popChoice;
389
390     save('valuestruct.mat','-struct','param');
391
392     f = waitbar(0,'Please_wait...');
393     pause(.5)
394
395     %BOTON APLICAR, PSO PRINCIPAL PARA VRMS NORMAL
396
397     % Definicion del problema
398     acum = 0;
399     problem.costfunction = @(alpha) fun_eMAG_h(alpha);
400     m=str2num(char(get(handles.k,'String')));
401     tic
402     m=(m-1)/2;
403
404     set(handles.nesc,'String',m);
405
406     for i = 1:length(param.L)
407     acum = acum+param.L(i);
408     end
409     problem.nvar = acum;
410
411     problem.varmin = 0;
412     problem.varmax = 90;
413
414     % Parametros para el algoritmo PSO
415     kappa=1;
416     phi1=2.05;
417     phi2=2.05;
418     phi=phi1+phi2;
419     chi=2*kappa/abs(2-phi-sqrt(phi^2-4*phi));
420     params.maxit = 100;
421     params.npop = 100;
422     params.w = chi;
423     params.wdamp=1;
424     params.c1 = chi*phi1;
425     params.c2 = chi*phi2;

```

```

426     params.showit=true;
427
428     % Lllamar PSO
429     out= PSO(problem ,params);
430     textlabel=out.textlabel;
431     set(handles.runh, 'String',textlabel);
432     b=out.b;
433     [MAG_calc]=fun_MAG_h(b.position);
434     alpha=b.position;
435
436     save('alpha.mat','alpha')
437
438     bestcosts=out.bestcosts;
439
440     %         set(handles.Mag_calc,'String',VRMS_calc);
441     %         set(handles.ang,'String',alpha);
442
443     waitbar(.33,f,'Searching_the_best_cost');
444     pause(1)
445
446     waitbar(1,f,'Finishing');
447     pause(1)
448
449     close(f)
450     end
451
452     % --- Executes on button press in radiobutton60.
453     function radiobutton60_Callback(hObject, eventdata, handles)
454     % hObject    handle to radiobutton60 (see GCBO)
455     % eventdata  reserved - to be defined in a future version of
456     %           MATLAB
457     % handles    structure with handles and user data (see GUIDATA)
458
459     % Hint: get(hObject,'Value') returns toggle state of
460     %           radiobutton60
461
462     % --- Executes on button press in radiobutton50.
463     function radiobutton50_Callback(hObject, eventdata, handles)

```

```

463      % hObject      handle to radiobutton50 (see GCBO)
464      % eventdata   reserved - to be defined in a future version of
          MATLAB
465      % handles     structure with handles and user data (see GUIDATA)
466
467      % Hint: get(hObject,'Value') returns toggle state of
          radiobutton50
468
469      % --- Executes during object creation, after setting all
          properties.
470      function popupChoice_CreateFcn(hObject, eventdata, handles)
471      if ispc && isequal(get(hObject, 'BackgroundColor'), get(0, '
          defaultUicontrolBackgroundColor'))
472      set(hObject, 'BackgroundColor', 'white');
473      end
474
475      % --- Executes on selection change in popupChoice.
476      function popupChoice_Callback(hObject, eventdata, handles)
477      contents = cellstr(get(hObject, 'String'));
478      popChoice = contents(get(hObject, 'Value'));
479      if (strcmp(popChoice, '-----_Eventos_a_seleccionar_
          -----'))
480      set(handles.none, 'visible', 'on');
481      elseif (strcmp(popChoice, 'Depresion_(Sag)'))
482      %-----Definiciones-----%
483      set(handles.sag, 'visible', 'on');
484      set(handles.none, 'visible', 'off');
485      set(handles.swell, 'visible', 'off');
486      set(handles.bajovoltaje, 'visible', 'off');
487      set(handles.sobrevoltaje, 'visible', 'off');
488      set(handles.flicker, 'visible', 'off');
489      set(handles.varf, 'visible', 'off');
490      set(handles.interrupcion, 'visible', 'off');
491      set(handles.desv, 'visible', 'off');
492      set(handles.muesca, 'visible', 'off');
493      set(handles.offcd, 'visible', 'off');
494      set(handles.armonicos, 'visible', 'off');
495      %-----Panel de setting-----%
496      %Setting pu

```

```

497     min = 0.1; max = 0.9;
498     set(handles.inicialpu , 'String' ,min);
499     set(handles.finalpu , 'String' ,max);
500     %-----%
501     set(handles.duracion , 'visible' , 'on');
502     set(handles.magnitud , 'visible' , 'on');
503     set(handles.viewevs , 'visible' , 'on');
504     set(handles.graficas , 'visible' , 'on');
505     set(handles.duracion2 , 'visible' , 'off');
506     set(handles.numslider , 'visible' , 'off');
507     set(handles.magnitud2 , 'visible' , 'off');
508     set(handles.magnitudint , 'visible' , 'off');
509     set(handles.msn , 'visible' , 'off');
510     set(handles.paramvarf , 'visible' , 'off');
511     set(handles.paramarm , 'visible' , 'off');
512     set(handles.grafarm , 'visible' , 'off');
513     set(handles.paramflicker , 'visible' , 'off');
514     elseif (strcmp(popChoice , 'Elevacion_(Swell)'))
515     %-----Definiciones-----%
516     set(handles.swell , 'visible' , 'on');
517     set(handles.none , 'visible' , 'off');
518     set(handles.sag , 'visible' , 'off');
519     set(handles.bajovoltaje , 'visible' , 'off');
520     set(handles.sobrevoltaje , 'visible' , 'off');
521     set(handles.flicker , 'visible' , 'off');
522     set(handles.varf , 'visible' , 'off');
523     set(handles.interrupcion , 'visible' , 'off');
524     set(handles.desv , 'visible' , 'off');
525     set(handles.muesca , 'visible' , 'off');
526     set(handles.offcd , 'visible' , 'off');
527     set(handles.armonicos , 'visible' , 'off');
528     %-----Panel de setting-----%
529     %Setting pu
530     min = 1.1; max = 1.8;
531     set(handles.inicialpu , 'String' ,min);
532     set(handles.finalpu , 'String' ,max);
533     %-----%
534     set(handles.duracion , 'visible' , 'on');
535     set(handles.magnitud2 , 'visible' , 'on');

```

```

536     set(handles.viewevs , 'visible' , 'on');
537     set(handles.graficas , 'visible' , 'on');
538     set(handles.duracion2 , 'visible' , 'off');
539     set(handles.numslider , 'visible' , 'off');
540     set(handles.magnitud , 'visible' , 'off');
541     set(handles.magnitudint , 'visible' , 'off');
542     set(handles.msn , 'visible' , 'off');
543     set(handles.paramvarf , 'visible' , 'off');
544     set(handles.paramarm , 'visible' , 'off');
545     set(handles.grafarm , 'visible' , 'off');
546     set(handles.paramflicker , 'visible' , 'off');
547     elseif (strcmp(popChoice , 'Bajovoltaje'))
548     %-----Definiciones-----%
549     set(handles.bajovoltaje , 'visible' , 'on');
550     set(handles.none , 'visible' , 'off');
551     set(handles.sag , 'visible' , 'off');
552     set(handles.swell , 'visible' , 'off');
553     set(handles.sobrevoltaje , 'visible' , 'off');
554     set(handles.flicker , 'visible' , 'off');
555     set(handles.varf , 'visible' , 'off');
556     set(handles.interrupcion , 'visible' , 'off');
557     set(handles.desv , 'visible' , 'off');
558     set(handles.muesca , 'visible' , 'off');
559     set(handles.offcd , 'visible' , 'off');
560     set(handles.armonicos , 'visible' , 'off');
561     %-----Panel de setting-----%
562     %Setting pu
563     min = 0.1; max = 0.9;
564     set(handles.inicialpu , 'String' , min);
565     set(handles.finalpu , 'String' , max);
566     %-----%
567     set(handles.duracion2 , 'visible' , 'on');
568     set(handles.numslider , 'visible' , 'on');
569     set(handles.magnitud , 'visible' , 'on');
570     set(handles.viewevs , 'visible' , 'on');
571     set(handles.graficas , 'visible' , 'on');
572     set(handles.duracion , 'visible' , 'off');
573     set(handles.magnitud2 , 'visible' , 'off');
574     set(handles.magnitudint , 'visible' , 'off');

```

```

575     set(handles.msn, 'visible', 'off');
576     set(handles.paramvarf, 'visible', 'off');
577     set(handles.grafarm, 'visible', 'off');
578     set(handles.paramflicker, 'visible', 'off');
579     elseif (strcmp(popChoice, 'Sobrevoltaje'))
580     %-----Definiciones-----%
581     set(handles.sobrevoltaje, 'visible', 'on');
582     set(handles.none, 'visible', 'off');
583     set(handles.sag, 'visible', 'off');
584     set(handles.swell, 'visible', 'off');
585     set(handles.bajovoltaje, 'visible', 'off');
586     set(handles.flicker, 'visible', 'off');
587     set(handles.varf, 'visible', 'off');
588     set(handles.interrupcion, 'visible', 'off');
589     set(handles.desv, 'visible', 'off');
590     set(handles.muesca, 'visible', 'off');
591     set(handles.offcd, 'visible', 'off');
592     set(handles.armonicos, 'visible', 'off');
593     %-----Panel de setting-----%
594     %Setting pu
595     min = 1.1; max = 1.8;
596     set(handles.inicialpu, 'String', min);
597     set(handles.finalpu, 'String', max);
598     %-----%
599     set(handles.duracion2, 'visible', 'on');
600     set(handles.numslider, 'visible', 'on');
601     set(handles.magnitud2, 'visible', 'on');
602     set(handles.viewevs, 'visible', 'on');
603     set(handles.graficas, 'visible', 'on');
604     set(handles.duracion, 'visible', 'off');
605     set(handles.magnitud, 'visible', 'off');
606     set(handles.paramflicker, 'visible', 'off');
607     set(handles.magnitudint, 'visible', 'off');
608     set(handles.msn, 'visible', 'off');
609     set(handles.paramvarf, 'visible', 'off');
610     set(handles.paramarm, 'visible', 'off');
611     set(handles.grafarm, 'visible', 'off');
612     elseif (strcmp(popChoice, 'Interrupcion'))
613     %-----Definiciones-----%

```



```

614     set(handles.interrupcion , 'visible' , 'on');
615     set(handles.none , 'visible' , 'off');
616     set(handles.sag , 'visible' , 'off');
617     set(handles.swell , 'visible' , 'off');
618     set(handles.bajovoltaje , 'visible' , 'off');
619     set(handles.sobrevoltaje , 'visible' , 'off');
620     set(handles.flicker , 'visible' , 'off');
621     set(handles.varf , 'visible' , 'off');
622     set(handles.desv , 'visible' , 'off');
623     set(handles.muesca , 'visible' , 'off');
624     set(handles.offcd , 'visible' , 'off');
625     set(handles.armonicos , 'visible' , 'off');
626     %-----Panel de setting-----%
627     %Setting pu
628     min = 0; max = 0.1;
629     set(handles.inicialpu , 'String' ,min);
630     set(handles.finalpu , 'String' ,max);
631     %-----%
632     set(handles.magnitudint , 'visible' , 'on');
633     set(handles.msn , 'visible' , 'on');
634     set(handles.numslider , 'visible' , 'on');
635     set(handles.viewevs , 'visible' , 'on');
636     set(handles.graficas , 'visible' , 'on');
637     set(handles.duracion , 'visible' , 'off');
638     set(handles.paramflicker , 'visible' , 'off');
639     set(handles.magnitud2 , 'visible' , 'off');
640     set(handles.duracion2 , 'visible' , 'off');
641     set(handles.magnitud , 'visible' , 'off');
642     set(handles.paramvarf , 'visible' , 'off');
643     set(handles.paramarm , 'visible' , 'off');
644     set(handles.grafarm , 'visible' , 'off');
645     elseif (strcmp(popChoice , 'Variacion_de_frecuencia'))
646     %-----Definiciones-----%
647     set(handles.varf , 'visible' , 'on');
648     set(handles.none , 'visible' , 'off');
649     set(handles.sag , 'visible' , 'off');
650     set(handles.swell , 'visible' , 'off');
651     set(handles.bajovoltaje , 'visible' , 'off');
652     set(handles.sobrevoltaje , 'visible' , 'off');

```

```

653     set(handles.flicker , 'visible' , 'off');
654     set(handles.interruptcion , 'visible' , 'off');
655     set(handles.desv , 'visible' , 'off');
656     set(handles.muesca , 'visible' , 'off');
657     set(handles.offcd , 'visible' , 'off');
658     set(handles.armonicos , 'visible' , 'off');
659     %-----Panel de setting-----%
660     set(handles.paramvarf , 'visible' , 'on');
661     set(handles.graficas , 'visible' , 'on');
662     set(handles.paramflicker , 'visible' , 'off');
663     set(handles.paramarm , 'visible' , 'off');
664     set(handles.duracion2 , 'visible' , 'off');
665     set(handles.numslider , 'visible' , 'off');
666     set(handles.magnitud2 , 'visible' , 'on');
667     set(handles.duracion , 'visible' , 'off');
668     set(handles.magnitud , 'visible' , 'off');
669     set(handles.magnitudint , 'visible' , 'off');
670     set(handles.msn , 'visible' , 'off');
671     set(handles.viewevs , 'visible' , 'off');
672     set(handles.grafarm , 'visible' , 'off');
673     elseif (strcmp(popChoice , 'Armonicos'))
674     %-----Definiciones-----%
675     set(handles.armonicos , 'visible' , 'on');
676     set(handles.none , 'visible' , 'off');
677     set(handles.sag , 'visible' , 'off');
678     set(handles.swell , 'visible' , 'off');
679     set(handles.bajovoltaje , 'visible' , 'off');
680     set(handles.sobrevoltaje , 'visible' , 'off');
681     set(handles.flicker , 'visible' , 'off');
682     set(handles.varf , 'visible' , 'off');
683     set(handles.interruptcion , 'visible' , 'off');
684     set(handles.desv , 'visible' , 'off');
685     set(handles.muesca , 'visible' , 'off');
686     set(handles.offcd , 'visible' , 'off');
687     %-----Panel de setting-----%
688     set(handles.paramarm , 'visible' , 'on');
689     set(handles.grafarm , 'visible' , 'on');
690     set(handles.paramflicker , 'visible' , 'off');
691     set(handles.duracion2 , 'visible' , 'off');

```

```

692     set(handles.numslider, 'visible', 'off');
693     set(handles.magnitud2, 'visible', 'on');
694     set(handles.duracion, 'visible', 'off');
695     set(handles.magnitud, 'visible', 'off');
696     set(handles.magnitudint, 'visible', 'off');
697     set(handles.msn, 'visible', 'off');
698     set(handles.paramvarf, 'visible', 'off');
699     set(handles.viewevs, 'visible', 'off');
700     set(handles.graficas, 'visible', 'off');
701     end
702
703
704     function k_Callback(hObject, eventdata, handles)
705
706
707     % --- Executes during object creation, after setting all
708         properties.
709     function k_CreateFcn(hObject, eventdata, handles)
710     % hObject    handle to k (see GCBO)
711     % eventdata  reserved - to be defined in a future version of
712         MATLAB
713     % handles    empty - handles not created until after all
714         CreateFcns called
715
716     % Hint: edit controls usually have a white background on Windows.
717     %         See ISPC and COMPUTER.
718     if ispc && isequal(get(hObject, 'BackgroundColor'), get(0, '
719         defaultUicontrolBackgroundColor'))
720     set(hObject, 'BackgroundColor', 'white');
721     end
722
723
724     function Vdc_Callback(hObject, eventdata, handles)
725
726
727     % --- Executes during object creation, after setting all
728         properties.
729     function Vdc_CreateFcn(hObject, eventdata, handles)
730     % hObject    handle to Vdc (see GCBO)

```

```

726      % eventdata reserved - to be defined in a future version of
          MATLAB
727      % handles empty - handles not created until after all
          CreateFcns called
728
729      % Hint: edit controls usually have a white background on Windows.
730      % See ISPC and COMPUTER.
731      if ispc && isequal(get(hObject, 'BackgroundColor'), get(0, '
          defaultUicontrolBackgroundColor'))
732      set(hObject, 'BackgroundColor', 'white');
733      end
734
735      function hmax_Callback(hObject, eventdata, handles)
736
737      % --- Executes during object creation, after setting all
          properties.
738      function hmax_CreateFcn(hObject, eventdata, handles)
739      % hObject handle to hmax (see GCBO)
740      % eventdata reserved - to be defined in a future version of
          MATLAB
741      % handles empty - handles not created until after all
          CreateFcns called
742
743      % Hint: edit controls usually have a white background on Windows.
744      % See ISPC and COMPUTER.
745      if ispc && isequal(get(hObject, 'BackgroundColor'), get(0, '
          defaultUicontrolBackgroundColor'))
746      set(hObject, 'BackgroundColor', 'white');
747      end
748
749      function L_Callback(hObject, eventdata, handles)
750
751      % --- Executes during object creation, after setting all
          properties.
752      function L_CreateFcn(hObject, eventdata, handles)
753      % hObject handle to L (see GCBO)
754      % eventdata reserved - to be defined in a future version of
          MATLAB
755      % handles empty - handles not created until after all

```

```

756
757 % Hint: edit controls usually have a white background on Windows.
758 % See ISPC and COMPUTER.
759 if ispc && isequal(get(hObject, 'BackgroundColor'), get(0, '
       defaultUicontrolBackgroundColor'))
760 set(hObject, 'BackgroundColor', 'white');
761 end
762
763 % --- Executes on button press in pushParConv.
764 function pushParConv_Callback(hObject, eventdata, handles)
765 % hObject handle to pushParConv (see GCBO)
766 % eventdata reserved - to be defined in a future version of
       MATLAB
767 % handles structure with handles and user data (see GUIDATA)
768
769 % --- STATIC TEXT MAGNITUD PU (SAG and UNDER)
770 function magnitud_Callback(hObject, eventdata, handles)
771 contents = get(handles.popupChoice, 'String');
772 popupChoice = contents{get(handles.popupChoice, 'Value')};
773 switch popupChoice
774 case {'Depresion_(Sag)', 'Bajovoltaje'}
775 min =0.1; max = 0.9;
776 set(handles.magnitud, 'Max',max, 'Min',min);
777 end
778
779 pu=round(get(handles.magnitud, 'Value'),1);
780 set(handles.vermagnitud, 'String',pu);
781
782 % --- Executes during object creation, after setting all
       properties.
783 function magnitud_CreateFcn(hObject, eventdata, handles)
784 % hObject handle to magnitud (see GCBO)
785 % eventdata reserved - to be defined in a future version of
       MATLAB
786 % handles empty - handles not created until after all
       CreateFcns called
787
788 % Hint: slider controls usually have a light gray background.

```

```

789     if isequal(get(hObject, 'BackgroundColor'), get(0, '
           defaultUicontrolBackgroundColor'))
790     set(hObject, 'BackgroundColor', [.9 .9 .9]);
791     end
792
793     % --- STATIC TEXT MAGNITUD PU (SWELL and OVER)
794     function magnitud2_Callback(hObject, eventdata, handles)
795     contents = get(handles.popupChoice, 'String');
796     popChoice = contents{get(handles.popupChoice, 'Value')};
797     switch popChoice
798     case {'Elevacion_(Swell)', 'Sobrevoltaje'}
799     min = 1.1; max = 1.8;
800     set(handles.magnitud2, 'Max', max, 'Min', min);
801     end
802
803     pu=round(get(handles.magnitud2, 'Value'), 1);
804     set(handles.vermagnitud, 'String', pu);
805
806     % --- Executes during object creation, after setting all
           properties.
807     function magnitud2_CreateFcn(hObject, eventdata, handles)
808     % hObject    handle to magnitud2 (see GCBO)
809     % eventdata reserved - to be defined in a future version of
           MATLAB
810     % handles    empty - handles not created until after all
           CreateFcns called
811
812     % Hint: slider controls usually have a light gray background.
813     if isequal(get(hObject, 'BackgroundColor'), get(0, '
           defaultUicontrolBackgroundColor'))
814     set(hObject, 'BackgroundColor', [.9 .9 .9]);
815     end
816
817
818     % --- SLIDER DE SAG AND SWELL (TIEMPO)
819     function duracion_Callback(hObject, eventdata, handles)
820     contents = get(handles.popupChoice, 'String');
821     popChoice = contents{get(handles.popupChoice, 'Value')};
822     switch popChoice

```

```

823     case { 'Depresion_(Sag)', 'Elevacion_(Swell)' }
824     sel = get(get(handles.uibuttongroupf, 'SelectedObject'), 'String');
825     if sel == '50_Hz'
826         f = 50;
827         min = 0.5;
828         max = 60*f;
829         set(handles.duracion, 'SliderStep', [1,1]/(max-min));
830         duracion=round(get(handles.duracion, 'Value'));
831         else
832             f = 60;
833             min = 0.5;
834             max = 60*f;
835             set(handles.duracion, 'SliderStep', [1,1]/(max-min));
836             duracion=round(get(handles.duracion, 'Value'));
837         end
838     end
839     set(handles.duracion, 'Min', min);
840     set(handles.duracion, 'Max', max);
841     set(handles.verduracion, 'String', duracion);
842
843
844     %--- Executes during object creation, after setting all
           properties.
845     function duracion_CreateFcn(hObject, eventdata, handles)
846     % hObject    handle to duracion (see GCBO)
847     % eventdata reserved - to be defined in a future version of
           MATLAB
848     % handles    empty - handles not created until after all
           CreateFcns called
849
850     % Hint: slider controls usually have a light gray background.
851     if isequal(get((hObject, 'BackgroundColor'), get(0, '
           defaultUicontrolBackgroundColor'))
852         set((hObject, 'BackgroundColor', [.9 .9 .9]);
853     end
854
855     %--- Executes on button press in pushGraficar.
856     function pushGraficar_Callback(hObject, eventdata, handles)
857

```

```

858     load valuestruct.mat
859     load('alpha.mat','alpha')
860     load('alphaev.mat','alphaev')
861
862     contents = get(handles.popupChoice,'String');
863     popChoice = contents{get(handles.popupChoice,'Value')};
864     switch popChoice
865     case {'Depresion_(Sag)','Elevacion_(Swell)','Bajovoltaje','
           Sobrevoltaje','Interrupcion'}
866     Vdc = str2double(char(get(handles.Vdc,'String'))); %Wdc
867
868     axes(handles.axes1);
869     Datos = Const_grafica(alpha);
870     Datos.vc = Datos.esc*Vdc;
871     Datos.vcc = Datos.esccc*Vdc;
872     Datos.vbc = Datos.escbc*Vdc;
873     plot(Datos.tc,Datos.vc);
874     Datosn.time = Datos.tcc';
875     Datosn.signals.values = Datos.vcc';
876     assignin('base','Datosn',Datosn)
877     Datosnb.time = Datos.tbc';
878     Datosnb.signals.values = Datos.vbc';
879     assignin('base','Datosnb',Datosnb)
880
881     %--Evento
882     axes(handles.axes2);
883     Datos = Const_grafica(alphaev);
884     Datos.vc = Datos.esc*Vdc1;
885     Datos.vcc = Datos.esccc*Vdc1;
886     Datos.vbc = Datos.escbc*Vdc1;
887     plot(Datos.tc,Datos.vc);
888     Datosev.time = Datos.tbc';
889     Datosev.signals.values = Datos.vbc';
890     assignin('base','Datosev',Datosev)
891
892     case {'Variacion_de_frecuencia'}
893     Vdc = str2double(char(get(handles.Vdc,'String'))); %Wdc
894
895     axes(handles.axes1);

```



```

896     Datos = Const_grafica(alpha);
897     Datos.vc = Datos.esc*Vdc;
898     Datos.vcc = Datos.esccc*Vdc;
899     Datos.vbc = Datos.escbc*Vdc;
900     plot(Datos.tc , Datos.vc);
901     Datosn.time = Datos.tcc';
902     Datosn.signals.values = Datos.vcc';
903     assignin('base','Datosn',Datosn)
904     Datosnb.time = Datos.tbc';
905     Datosnb.signals.values = Datos.vbc';
906     assignin('base','Datosnb',Datosnb)
907
908     %---Evento
909     param.f = pu*f; %Frecuencia nueva dada para el evento
910     save('valuestruct.mat','f','-append','-struct','param')
911     axes(handles.axes2);
912     Datos = Const_grafica(alpha);
913     Datos.vc = Datos.esc*Vdc;
914     Datos.vcc = Datos.esccc*Vdc;
915     Datos.vbc = Datos.escbc*Vdc;
916     plot(Datos.tc , Datos.vc);
917     Datosev.time = Datos.tbc';
918     Datosev.signals.values = Datos.vbc';
919     assignin('base','Datosev',Datosev)
920
921     case {'Armonicos'}
922     alpha = sort(alpha); %Ordenar los angulos de forma ascendente
923     m = (k-1)/2;
924     bn = espectrous(alpha,m,L,h,hmax);
925
926     axes(handles.grafh);
927     bar(bn,0.07);
928     title('Espectro_armonico');
929     xlabel('Numero_del_armonico');
930     ylabel('Espectro_en_Magnitud_pu_con_base_Vdc');
931     grid off
932     axis([0 hmax 0 (max(bn)+10) ]);
933
934     Vdc = str2double(char(get(handles.Vdc,'String'))); %Vdc

```

```

935
936      %---Evento
937      Datos = Const_grafica(alpha);
938      %      Datos.vc = Datos.esc*Vdc;
939      %      Datosev.time = Datos.tc ';
940      %      Datosev.signals.values = Datos.vc ';
941      %      assignin('base','Datosev',Datosev)
942
943      Datos.vbc = Datos.escbc*Vdc;
944      Datosev.time = Datos.tbc ';
945      Datosev.signals.values = Datos.vbc ';
946      assignin('base','Datosev',Datosev)
947
948      end
949
950      function Vb_Callback(hObject, eventdata, handles)
951
952      % --- Executes during object creation, after setting all
953      properties.
954      function Vb_CreateFcn(hObject, eventdata, handles)
955      % hObject    handle to Vb (see GCBO)
956      % eventdata reserved - to be defined in a future version of
957      MATLAB
958      % handles    empty - handles not created until after all
959      CreateFcns called
960
961      % Hint: edit controls usually have a white background on Windows.
962      %      See ISPC and COMPUTER.
963      if ispc && isequal(get(hObject, 'BackgroundColor'), get(0, '
964      defaultUicontrolBackgroundColor'))
965      set(hObject, 'BackgroundColor', 'white');
966      end
967
968      % --- Executes on button press in fiftyhz.
969      function fiftyhz_Callback(hObject, eventdata, handles)
970      % hObject    handle to fiftyhz (see GCBO)
971      % eventdata reserved - to be defined in a future version of
972      MATLAB
973      % handles    structure with handles and user data (see GUIDATA)

```

```

969
970      % --- Executes on button press in sixtyhz.
971      function sixtyhz_Callback(hObject, eventdata, handles)
972      % hObject    handle to sixtyhz (see GCBO)
973      % eventdata  reserved - to be defined in a future version of
          MATLAB
974      % handles    structure with handles and user data (see GUIDATA)
975
976      % --- Executes when selected object is changed in uibuttongroupf.
977      function uibuttongroupf_SelectionChangedFcn(hObject, eventdata,
          handles)
978      contents = get(handles.popupChoice, 'String');
979      popChoice = contents{get(handles.popupChoice, 'Value')};
980      switch popChoice
981      case {'Depresion_(Sag)', 'Elevacion_(Swell)'}
982          sel = get(get(handles.uibuttongroupf, 'SelectedObject'), 'String');
983          if sel == '50_Hz'
984              f = 50;
985              min = 0.5;
986              max = 60*f;
987          else
988              f = 60;
989              min = 0.5;
990              max = 60*f;
991          end
992          set(handles.inicial, 'String', min);
993          set(handles.final, 'String', max);
994          case {'Bajovoltaje', 'Sobrevoltaje'}
995              sel = get(get(handles.uibuttongroupf, 'SelectedObject'), 'String');
996              if sel == '50_Hz'
997                  f = 50;
998                  min = (60*f) + 1;
999                  max = 10800*f;
1000             else
1001                 f = 60;
1002                 min = (60*f) + 1;
1003                 max = 10800*f;
1004             end
1005             set(handles.inicial, 'String', min);

```

```

1006     set(handles.final , 'String' ,max);
1007     case { 'Interrupcion' }
1008     sel = get(get(handles.uibuttongroupf , 'SelectedObject' ) , 'String' );
1009     if sel == '50_Hz'
1010     f = 50;
1011     min = 0.5
1012     max = 10800*f;
1013     else
1014     f = 60;
1015     min = 0.5;
1016     max = 10800*f;
1017     end
1018     set(handles.inicial , 'String' ,min);
1019     set(handles.final , 'String' ,max);
1020     end
1021     % --- Executes on button press in radiobutton6.
1022     function radiobutton6_Callback(hObject, eventdata, handles)
1023     % hObject    handle to radiobutton6 (see GCBO)
1024     % eventdata  reserved - to be defined in a future version of
1025     %           MATLAB
1026     % handles    structure with handles and user data (see GUIDATA)
1027     % --- Executes on button press in Simular.
1028     function Simular_Callback(hObject, eventdata, handles)
1029     % hObject    handle to Simular (see GCBO)
1030     % eventdata  reserved - to be defined in a future version of
1031     %           MATLAB
1032     % handles    structure with handles and user data (see GUIDATA)
1033     load valuestruct.mat
1034     contents = get(handles.popupChoice , 'String' );
1035     popupChoice = contents{get(handles.popupChoice , 'Value' )};
1036
1037     sel = get(get(handles.uibuttongroupf , 'SelectedObject' ) , 'String' );
1038     if sel == '50_Hz'
1039     f1 = 50;
1040     else
1041     f1 = 60;
1042     end

```

```

1043
1044     switch popChoice
1045     case { 'Depresion_(Sag)', 'Elevacion_(Swell)', 'Bajovoltaje', '
          Sobrevoltaje', 'Interrupcion' }
1046         t2 = (5/f) + duracion/f;
1047         ts = t2 + (5/f) + (20/f);
1048
1049         assignin('base', 'f', f);
1050         assignin('base', 't2', t2);
1051         assignin('base', 'ts', ts);
1052
1053     case { 'Variacion_de_frecuencia' }
1054         t2 = (5/f1) + duracion;
1055         ts = t2 + (5/f1) + (20/f1);
1056
1057         assignin('base', 'f', f);
1058         assignin('base', 'f1', f1);
1059         assignin('base', 't2', t2);
1060         assignin('base', 'ts', ts);
1061     end
1062     % find_system('Name', 'Simulacion');
1063     % open_system('Simulacion');
1064     % set_param('Simulacion/t1', 'Before', 5/f);
1065     % % set_param('Simulacion/t3', 'Value', f);
1066     % % set_param('Simulacion/t2', 'Time', tev);
1067     % % set_param('Simulacion/Datos normales', 'Value', Datosn);
1068     % % set_param('Simulacion/Datos del evento', 'Value', Datosev);
1069     % % set_param('Simulacion/Datos normal b', 'Value', Datosnb);
1070     % set_param('Simulacion', 'StopTime', ts);
1071     % set_param(gcs, 'SimulationCommand', 'inicialpu');
1072
1073     %-----EDIT TEXT PARA OVER AND UNDER VOLTAJE (TIEMPO)
1074     function numslider_Callback(hObject, eventdata, handles)
1075     contents = get(handles.popupChoice, 'String');
1076     popChoice = contents{get(handles.popupChoice, 'Value')};
1077     switch popChoice
1078     case { 'Bajovoltaje', 'Sobrevoltaje' }
1079         val = str2double(get(hObject, 'String'));
1080         set(handles.duracion2, 'Value', val);

```

```

1081     set(handles.verduracion, 'String', val);
1082     case {'Interrupcion'}
1083         val = str2double(get(hObject, 'String'));
1084         set(handles.verduracion, 'String', val);
1085     end
1086     %guidata(hObject, handles)
1087
1088     % --- Executes during object creation, after setting all
1089     properties.
1089     function numslider_CreateFcn(hObject, eventdata, handles)
1090     % hObject handle to numslider (see GCBO)
1091     % eventdata reserved - to be defined in a future version of
1092     MATLAB
1093     % handles empty - handles not created until after all
1094     CreateFcns called
1095
1096     % Hint: edit controls usually have a white background on Windows.
1097     % See ISPC and COMPUTER.
1098     if ispc && isequal(get(hObject, 'BackgroundColor'), get(0, '
1099         defaultUicontrolBackgroundColor'))
1100
1101     set(hObject, 'BackgroundColor', 'white');
1102     end
1103
1104     % --- SLIDER DE OVER AND UNDERVOLTAGE (TIEMPO)
1105     function duracion2_Callback(hObject, eventdata, handles)
1106     val = round(get(hObject, 'Value'));
1107     set(handles.numslider, 'String', num2str(val));
1108     %guidata(hObject, handles)
1109     contents = get(handles.popupChoice, 'String');
1110     popChoice = contents{get(handles.popupChoice, 'Value')};
1111     switch popChoice
1112     case {'Bajovoltaje', 'Sobrevoltaje'}
1113         sel = get(get(handles.uibuttongroupf, 'SelectedObject'), 'String');
1114         if sel == '50_Hz'
1115             f = 50;
1116             min = (60*f)+1;
1117             max = 10800*f;
1118             set(handles.duracion2, 'SliderStep', [1,1]/(max-min));

```

```

1116     duracion=round(get(handles.duracion2,'Value'));
1117     else
1118     f = 60;
1119     min = (60*f)+1;
1120     max = 10800*f;
1121     set(handles.duracion2,'SliderStep',[1,1]/(max-min));
1122     duracion=round(get(handles.duracion2,'Value'));
1123     end
1124     end
1125     set(handles.duracion2,'Max',max,'Min',min);
1126     set(handles.verduracion,'String',duracion);
1127
1128     % --- Executes during object creation, after setting all
           properties.
1129     function duracion2_CreateFcn(hObject, eventdata, handles)
1130     % hObject    handle to duracion2 (see GCBO)
1131     % eventdata reserved - to be defined in a future version of
           MATLAB
1132     % handles    empty - handles not created until after all
           CreateFcns called
1133
1134     % Hint: slider controls usually have a light gray background.
1135     if isequal(get(hObject,'BackgroundColor'), get(0,'
           defaultUicontrolBackgroundColor'))
1136     set(hObject,'BackgroundColor',[.9 .9 .9]);
1137     end
1138
1139
1140     % --- Executes on slider movement.
1141     function magnitudint_Callback(hObject, eventdata, handles)
1142     contents = get(handles.popupChoice,'String');
1143     popChoice = contents{get(handles.popupChoice,'Value')};
1144     switch popChoice
1145     case {'Interrupcion'}
1146     min =0; max = 0.1;
1147     set(handles.magnitudint,'SliderStep',[0.01,0.01]/(max-min));
1148     end
1149
1150     pu=round(get(handles.magnitudint,'Value'),2);

```

```

1151     set(handles.vermagnitud, 'String', pu);
1152
1153     % --- Executes during object creation, after setting all
           properties.
1154     function magnitudint_CreateFcn(hObject, eventdata, handles)
1155     % hObject    handle to magnitudint (see GCBO)
1156     % eventdata  reserved - to be defined in a future version of
           MATLAB
1157     % handles    empty - handles not created until after all
           CreateFcns called
1158
1159     % Hint: slider controls usually have a light gray background.
1160     if isequal(get( hObject, 'BackgroundColor' ), get( 0, '
           defaultUicontrolBackgroundColor' ))
1161     set( hObject, 'BackgroundColor', [.9 .9 .9] );
1162     end
1163
1164     function ordenh_Callback(hObject, eventdata, handles)
1165
1166
1167     % --- Executes during object creation, after setting all
           properties.
1168     function ordenh_CreateFcn(hObject, eventdata, handles)
1169
1170     if ispc && isequal(get( hObject, 'BackgroundColor' ), get( 0, '
           defaultUicontrolBackgroundColor' ))
1171     set( hObject, 'BackgroundColor', 'white' );
1172     end
1173
1174
1175     function magnitudh_Callback(hObject, eventdata, handles)
1176     % hObject    handle to magnitudh (see GCBO)
1177     % eventdata  reserved - to be defined in a future version of
           MATLAB
1178     % handles    structure with handles and user data (see GUIDATA)
1179
1180     % Hints: get(hObject, 'String') returns contents of magnitudh as
           text
1181     %           str2double(get(hObject, 'String')) returns contents of

```



```

1182         magnitudh as a double
1183
1184     % --- Executes during object creation, after setting all
1185         properties.
1186     function magnitudh_CreateFcn(hObject, eventdata, handles)
1187     % hObject    handle to magnitudh (see GCBO)
1188     % eventdata  reserved - to be defined in a future version of
1189         MATLAB
1190     % handles    empty - handles not created until after all
1191         CreateFcns called
1192
1193     % Hint: edit controls usually have a white background on Windows.
1194     %         See ISPC and COMPUTER.
1195     if ispc && isequal(get(hObject, 'BackgroundColor'), get(0, '
1196         defaultUicontrolBackgroundColor'))
1197     set(hObject, 'BackgroundColor', 'white');
1198     end
1199
1200
1201     % --- SLIDER DURACION DE LA VARIACION DE FRECUENCIA
1202     function duracionvar_Callback(hObject, eventdata, handles)
1203     min = 0;
1204     max = 10; %segundos
1205     set(handles.duracionvar, 'SliderStep', [1,1]/(max-min));
1206     duracion=round(get(handles.duracionvar, 'Value'));
1207     set(handles.duracionvar, 'Max', max, 'Min', min);
1208     set(handles.verdurvar, 'String', duracion);
1209
1210     % --- Executes during object creation, after setting all
1211         properties.
1212     function duracionvar_CreateFcn(hObject, eventdata, handles)
1213     % hObject    handle to duracionvar (see GCBO)
1214     % eventdata  reserved - to be defined in a future version of
1215         MATLAB
1216     % handles    empty - handles not created until after all
1217         CreateFcns called
1218
1219     % Hint: slider controls usually have a light gray background.

```

```

1213     if isequal(get(hObject, 'BackgroundColor'), get(0, '
           defaultUicontrolBackgroundColor'))
1214     set(hObject, 'BackgroundColor', [.9 .9 .9]);
1215     end
1216
1217
1218     % --- SLIDER MAGNITUD VARIACION DE FRECUENCIA
1219     function variacionf_Callback(hObject, eventdata, handles)
1220     min =0; max = 4;
1221     set(handles.variacionf, 'SliderStep', [0.01,0.01]/(max-min));
1222     set(handles.variacionf, 'Max',max, 'Min',min);
1223     pc=round(get(handles.variacionf, 'Value'),2);
1224     set(handles.vervar, 'String', pc);
1225
1226     % --- Executes during object creation, after setting all
           properties.
1227     function variacionf_CreateFcn(hObject, eventdata, handles)
1228     % hObject    handle to variacionf (see GCBO)
1229     % eventdata  reserved - to be defined in a future version of
           MATLAB
1230     % handles    empty - handles not created until after all
           CreateFcns called
1231
1232     % Hint: slider controls usually have a light gray background.
1233     if isequal(get(hObject, 'BackgroundColor'), get(0, '
           defaultUicontrolBackgroundColor'))
1234     set(hObject, 'BackgroundColor', [.9 .9 .9]);
1235     end
1236
1237
1238
1239     function edit27_Callback(hObject, eventdata, handles)
1240     % hObject    handle to edit27 (see GCBO)
1241     % eventdata  reserved - to be defined in a future version of
           MATLAB
1242     % handles    structure with handles and user data (see GUIDATA)
1243
1244     % Hints: get(hObject, 'String') returns contents of edit27 as text
1245     %         str2double(get(hObject, 'String')) returns contents of

```

```

1246         edit27 as a double
1247
1248     % --- Executes during object creation, after setting all
1249         properties.
1250     function edit27_CreateFcn(hObject, eventdata, handles)
1251     % hObject    handle to edit27 (see GCBO)
1252     % eventdata  reserved - to be defined in a future version of
1253         MATLAB
1254     % handles    empty - handles not created until after all
1255         CreateFcns called
1256
1257     % Hint: edit controls usually have a white background on Windows.
1258     %         See ISPC and COMPUTER.
1259     if ispc && isequal(get(hObject, 'BackgroundColor'), get(0, '
1260         defaultUicontrolBackgroundColor'))
1261     set(hObject, 'BackgroundColor', 'white');
1262     end
1263
1264     function edit28_Callback(hObject, eventdata, handles)
1265     % hObject    handle to edit28 (see GCBO)
1266     % eventdata  reserved - to be defined in a future version of
1267         MATLAB
1268     % handles    structure with handles and user data (see GUIDATA)
1269
1270     % Hints: get(hObject, 'String') returns contents of edit28 as text
1271     %         str2double(get(hObject, 'String')) returns contents of
1272         edit28 as a double
1273
1274     % --- Executes during object creation, after setting all
1275         properties.
1276     function edit28_CreateFcn(hObject, eventdata, handles)
1277     % hObject    handle to edit28 (see GCBO)
1278     % eventdata  reserved - to be defined in a future version of
1279         MATLAB
1280     % handles    empty - handles not created until after all

```

CreateFcns called

```
1276
1277 % Hint: edit controls usually have a white background on Windows.
1278 % See ISPC and COMPUTER.
1279 if ispc && isequal(get(hObject, 'BackgroundColor'), get(0, '
    defaultUicontrolBackgroundColor'))
1280 set(hObject, 'BackgroundColor', 'white');
1281 end
```